

**PEMBUATAN DAN KARAKTERISASI KOMPOSIT
LiBOB/MgCl₂ DENGAN METODE *SOLID STATE REACTION***



Skripsi

Diajukan untuk Memenuhi Salah Satu Syarat Memperoleh Gelar Sarjana Sains
Jurusan Fisika pada Fakultas Sains dan Teknologi
UIN Alauddin Makassar

Oleh:

ARWIN DARWIS

NIM: 60400114016

**FAKULTAS SAINS DAN TEKNOLOGI
UIN ALAUDDIN MAKASSAR**

2018

PERNYATAAN KEASLIAN SKRIPSI

Saya yang bertanda tangan dibawah ini:

Nama : Arwin Darwis
NIM : 60400114016
Tempat/Tanggal Lahir : Malaysia, 24 Juli 1995
Jurusan/Prodi : Fisika
Fakultas : Sains dan Teknologi
Alamat : Jl. Dr. Wahidin Sudirohusodo, Perum Nindya, Blok B.4
Judul : Pembuatan dan Karakterisasi Komposit LiBOB/MgCl₂
dengan Metode *Solid State Reaction*

Menyatakan dengan penuh kesadaran dan keseriusan bahwa skripsi ini adalah hasil karya saya sendiri. Jika dikemudian hari terbukti bahwa ini merupakan hasil duplikat, tiruan, plagiat atau dibuat oleh orang lain, sebagian besar atau seluruhnya, maka skripsi dan gelar yang diperoleh karenanya batal demi hukum.

Makassar, 19 November 2018

Penyusun,

Arwin Darwis
NIM: 60400114016

PENGESAHAN SKRIPSI

Skripsi yang berjudul, “Pembuatan dan Karakterisasi Komposit **LiBOB/MgCl₂** dengan Metode *Solid State Reaction*”, yang disusun oleh **Arwin Darwis**, NIM: 60400114016, mahasiswa Jurusan Fisika pada Fakultas Sains dan Teknologi UIN Alauddin Makassar, telah diuji dan dipertahankan dalam sidang *munaqasyah* yang diselenggarakan pada hari Senin, tanggal **19 November 2018 M**, bertepatan dengan 11 Rabi’ul Awwal 1440 H, dinyatakan telah dapat diterima sebagai salah satu syarat untuk memperoleh gelar Sarjana dalam Ilmu Sains dan Teknologi, Jurusan Fisika (dengan beberapa perbaikan).

Gowa, 19 November 2018 M
11 Rabi’ul Awwal 1440 H

DEWAN PENGUJI

Ketua	: Dr. Wasilah, S.T., M.T.	(.....)
Sekretaris	: Ihsan, S.Pd., M.Si.	(.....)
Munaqisy I	: Muh. Said L., S.Si., M.Pd.	(.....)
Munaqisy II	: Dr. H. Muh. Sadik Sabry, M.Ag.	(.....)
Pembimbing I	: Iswadi, S.Pd., M.Si.	(.....)
Pembimbing II	: Sahara, S.Si., M.Sc., Ph.D.	(.....)

Diketahui oleh:
Dekan Fakultas Sains dan Teknologi
UIN Alauddin Makassar,



Prof. Dr. H. Arifuddin, M.Ag.
NIP. 19691205 199303 1 001

KATA PENGANTAR



Maha suci dan maha besar Allah swt yang telah memberikan izin-Nya untuk mengetahui sebagian kecil dari ilmu yang dimiliki-Nya. Segala puji dan syukur penulis panjatkan kehadirat Allah swt atas perkenaan-Nya sehingga penulis dapat menyelesaikan skripsi sederhana yang berjudul ”**Pembuatan dan Karakterisasi Komposit LiBOB/MgCl₂ dengan Metode *Solid State Reaction***”. Semoga dengan adanya skripsi ini dapat diambil manfaat sebagai bahan referensi bagi para pembaca dan pembelajar. Demikian pula shalawat dan salam atas junjungan nabi besar Muhammad saw, nabi yang telah membawa Islam sebagai jalan keselamatan bagi umat manusia, juga nabi yang telah membuka gerbang ilmu pengetahuan hingga manusia terlepas dari ketidaktahuan.

Karya ini lahir sebagai aktualisasi ide pada bidang peminatan ilmu pengetahuan dan eksistensi kemanusiaan penulis yang sadar dan mengerti akan keberadaan dirinya serta apa yang akan dihadapi dalam persaingan dimasa depan. Keberadaan tulisan ini merupakan salah satu proses menuju pendewasaan diri, sekaligus refleksi proses perkuliahan yang selama ini penulis lakoni di Fakultas Sains dan Teknologi Universitas Islam Negeri Alauddin Makassar. Dalam proses penyusunan skripsi ini, penulis terkadang mengalami rasa jenuh, lelah, dan terkadang merasa tak mampu menyelesaikannya. Namun, suatu harapan yang letakkan dipundak ketika mulai melangkahkan kaki ke kota perantauan ilmu, juga kepercayaan dan dukungan kedua orang tua menjadi api semangat untuk tidak berhenti dan tidak menyerah untuk tetap menyelesaikan apa yang telah dimulai.

Pegangan inilah yang menyebabkan tetap adanya semangat dalam diri saya pribadi sehingga skripsi ini dapat diselesaikan. Detik-detik yang indah tersimpul telah menjadi rentang waktu yang panjang dan akhirnya dapat terlewati dengan kebahagiaan. Sulit rasanya meninggalkan dunia kampus yang penuh dengan dinamika, tetapi seperti pelangi pada umumnya kejadian itu tidak berdiri sendiri tapi merupakan kumpulan bias dari benda lain.

Selesainya skripsi ini tidak lepas dari bantuan, bimbingan dan dukungan yang senantiasa memberikan bantuan materil, moril, nasehat, kasih sayang, serta do'a yang tak henti-hentinya beliau panjatkan, olehnya itu penulis menyampaikan ucapan terima kasih sedalam-dalamnya kepada kedua orang tua penulis, Ibunda tercinta **Intan**, ayahanda tercinta **Muh. Darwis**, serta saudara tersayang Irda Darwis, S.Pd., Irma Darwis, Herman Darwis dan Ira Darwis, yang selalu menjadi penyemangat dan sumber motivasi penulis dalam menyelesaikan skripsi ini. penulis juga menyampaikan ucapan terimah kasih dan penghargaan setinggi-tingginya kepada:

1. Prof. Dr. Musafir Pababbari, M.Si selaku Rektor UIN Alauddin Makassar, wakil Rektor Bidang Akademik dan Pengembangan Lembaga Prof. Dr. H. Mardan, M.Ag., wakil Rektor Bidang Administrasi Umum dan Perencanaan Keuangan Prof. Dr. H. Lomba Sultan, M.A., wakil Rektor Bidang Kemahasiswaan Prof. Hj. St. Aisyah, M.A., Ph.D, dan wakil Rektor Bidang Kerja Sama Prof. Dr. Hamdan Juhannis, M.A., beserta seluruh civitas akademika UIN Alauddin Makassar .

2. Dekan Fakultas Sains dan Teknologi UIN Alauddin Makassar Prof. Dr. Arifuddin Ahmad, M.Ag., wakil Dekan Bidang Akademik Dr. Wasilah, S.T., M.T., wakil Dekan Bidang Administrasi dan Keuangan Dr. M. Thahir Maloko, M.Hi., dan Dr. Ir. Andi Suarda, M.Si., selaku wakil Dekan Bidang Kemahasiswaan.
3. Ibunda Sahara, S.Si., M.Sc., Ph.D., selaku Ketua Jurusan Fisika sekaligus sebagai Pembimbing II dan Bapak Ihsan, S.Pd., M.Si., selaku Sekertaris Jurusan Fisika, yang telah memberikan arahan, nesehat, masukan kepada penulis.
4. Bapak Iswadi, S.Pd., M.Si. selaku Pembimbing I yang telah banyak memberikan bimbingan, petunjuk, arahan, dan motivasi selama masa bimbingan Skripsi. Tidak hanya memberikan motivasi, namun juga menjadi inspirator untuk terus bergerak dan berkarya.
5. Bapak Muh. Said L, S.Si., M.Pd. selaku penguji I dan Bapak Dr. H. Muh. Sadik Sabry, M.Ag. selaku penguji II yang telah mengarahkan serta membimbing penulis sehingga skripsi ini terselesaikan dengan baik.
6. Bapak dan ibu dosen Jurusan Fisika Fakultas Sains dan Teknologi yang telah memberikan ilmunya kepada penulis dalam proses perkuliahan di kelas, serta para Staf yang telah memberikan layanan administrasi dalam proses penyelesaian studi ini.
7. Ibu Dra Etty Marti Wigayati, selaku pembimbing eksternal yang memberikan banyak informasi terbaru terkait penelitian yang saya geluti.

8. Ucapan terima kasih teman-teman seperjuangan Iners14 yang telah membuat penulis termotivasi untuk menyelesaikan skripsi ini.
9. Keluarga besar penulis yang selalu mendoakan dan menyemangati penulis, serta teman-teman semua yang tidak bisa saya sebutkan satu persatu.
10. Serta ucapan terimakasih kepada teman-teman saudara(i) KKN angkatan 57 Kabupaten Pinrang, Kecamatan Cempa khususnya Posko Cempa yang telah mengajarkan penulis arti persaudaraan.
11. Kepada semua pihak yang tidak sempat penulis tuliskan satu persatu dan telah memberikan kontribusi secara langsung maupun tidak langsung dalam penyelesaian studi, penulis mengucapkan banyak terima kasih atas bantuanya.

Akhirnya hanya kepada Allah jualah penulis serahkan segalanya. Semoga semua pihak yang telah banyak membantu dalam penyusunan skripsi ini mendapat kan pahala dari Allah swt. Semoga skripsi ini dapat bermanfaat bagi kita semua, dan dijadikan pedoman bagi kepenulisan selanjutnya. *Aamiin*. Jika ada hal yang kurang baik maka penulis mengucapkan permohonan maaf yang sedalam-dalamnya.

Makassar, 18 November 2018

Penulis,

Arwin Darwis

DAFTAR ISI

JUDUL.....	i
PERNYATAAN KEASLIAN SKRIPSI.....	i
PENGESAHAN	iii
KATA PENGANTAR	iv
DAFTAR ISI.....	viii
DAFTAR GAMBAR	x
DAFTAR TABEL.....	xi
DAFTAR GRAFIK.....	xii
DAFTAR LAMPIRAN.....	xiii
ABSTRAK.....	xiv
ABSTRACT.....	xv
BAB I. PENDAHULUAN.....	1
A. Latar Belakang.....	1
B. Rumusan Masalah.....	7
C. Tujuan Penelitian.....	8
D. Ruang Lingkup Penelitian.....	8
E. Manfaat Penelitian.....	9
BAB II. TINJAUAN TEORITIS	11
A. Energi Alam	11
B. Baterai Ion Lithium	14
C. Bahan Pembentuk LiBOB.....	21
D. Metode Sintesis LiBOB	22

E. Analisa Struktur Unsur.....	24
BAB III. METODOLOGI PENELITIAN.....	34
A. Waktu dan tempat.....	34
B. Alat dan Bahan	34
C. Prosedur Penelitian.....	36
D. Diagram Alir Penelitian	40
BAB IV. HASIL DAN PEMBAHASAN	41
A. Analisa <i>X-Ray Diffraction</i> (XRD).....	41
B. Analisa <i>Scanning Electron Microscope</i> (SEM)	47
C. Analisa <i>Fourier Transform Infrared</i> (FTIR).....	51
BAB V. PENUTUP.....	54
A. Kesimpulan.....	54
B. Saran.....	54
DAFTAR PUSTAKA	56
LAMPIRAN-LAMPIRAN.....	L1
RIWAYAT HIDUP PENULIS	

DAFTAR GAMBAR

No	Keterangan gambar	Halaman
II.1	a) Komponen Penyusun Baterai Ion Lithium b) Prinsip Kerja/ Perpindahan Elektron pada Sel baterai Ion Lithium	16
II.2	Struktur Kimia <i>lithium bis(oxalate)borate</i> LiBOB	19
II.3	Prinsip Kerja XRD dengan parallel beam untuk teknik XRD serbuk	25
II.4	Bentuk sistem kristal isometrik	28
II.5	Bentuk sistem kristal tetragonal	28
II.6	Bentuk sistem kristal hexagonal	29
II.7	Bentuk sistem kristal orthorhombic	30
II.8	Bentuk sistem kristal monoklin	31
II.9	Bentuk sistem kristal triklin	31
II.10	Prinsip kerja SEM	32
II.11	Prinsip Kerja FTIR	33
III.1	Penimbangan bahan guna untuk preparasi sampel	37
III.2	Susunan Komponen <i>Coin Cell</i>	39
IV.1	Struktur morfologi LiBOB/MgCl ₂ dengan perbesaran 10000 kali	48
IV.2	Hasil Analisa SEM-EDX sampel LiBOB dengan 2,5% MgCl ₂	50

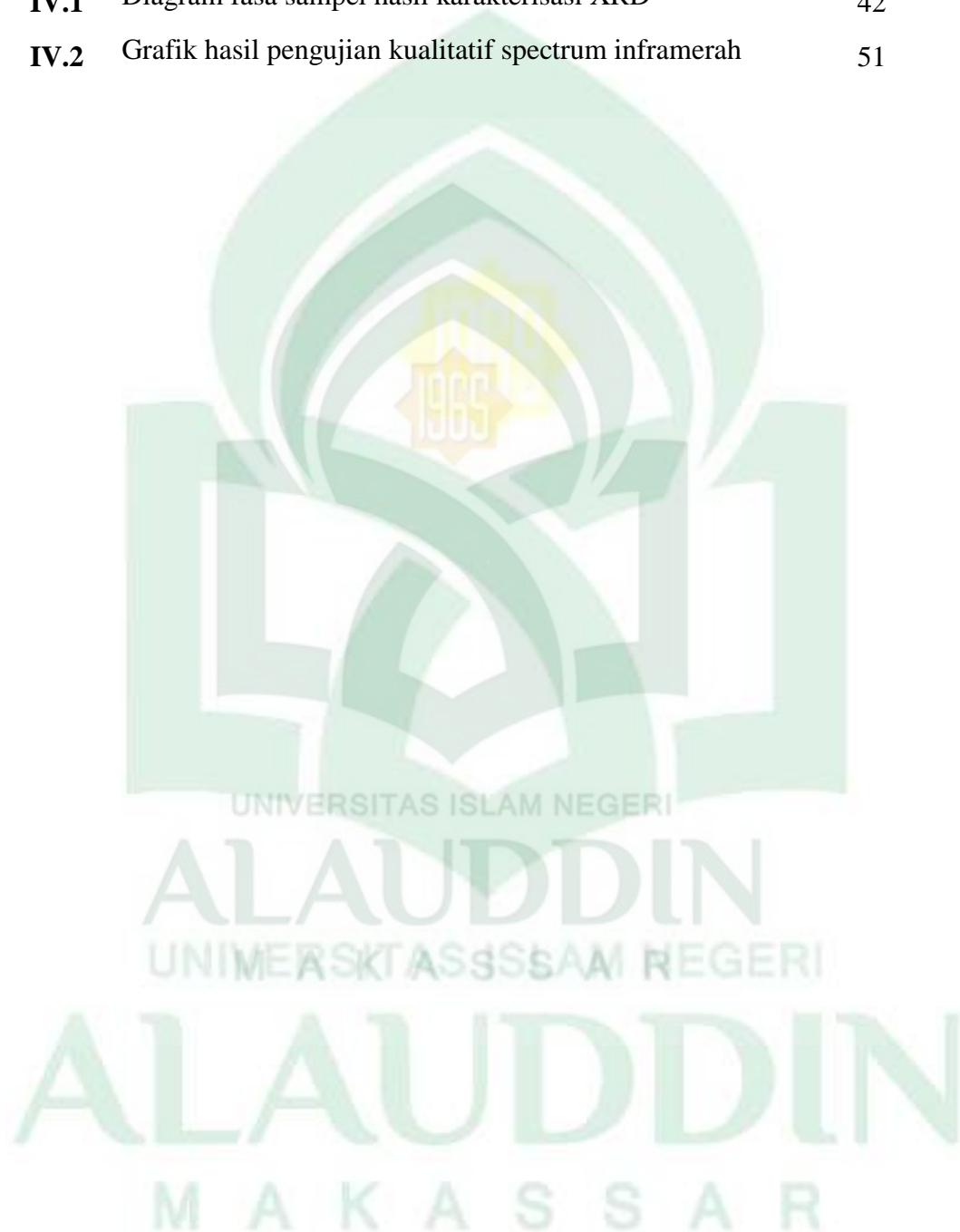
DAFTAR TABEL

No	Keterangan Tabel	Halaman
IV.1	Data <i>X-RayDiffraction</i> (XRD) untuk sampel komposit LiBOB dengan 0% MgCl ₂	42
IV.2	Data <i>X-RayDiffraction</i> (XRD) untuk sampel komposit LiBOB dengan 2,5% MgCl ₂	42
IV.3	Data <i>X-RayDiffraction</i> (XRD) untuk sampel komposit LiBOB dengan 5% MgCl ₂	43
IV.4	Data <i>X-RayDiffraction</i> (XRD) untuk sampel komposit PVdF-LiBOB dengan bahan aditif MgCl ₂ 7,5%	43
IV.5	Fasa yang terbentuk dan ukuran kristalnya pada sampel A	45
IV.6	Fasa yang terbentuk dan ukuran kristalnya pada sampel B (MgCl ₂ 2,5%)	46
IV.7	Fasa yang terbentuk dan ukuran kristalnya pada sampel C (MgCl ₂ 5%)	46
IV.8	Fasa yang terbentuk dan ukuran kristalnya pada sampel D (MgCl ₂ 7,5%)	46
IV.9	Puncak spektrum gugus fungsi senyawa LiBOB/ MgCl ₂	52



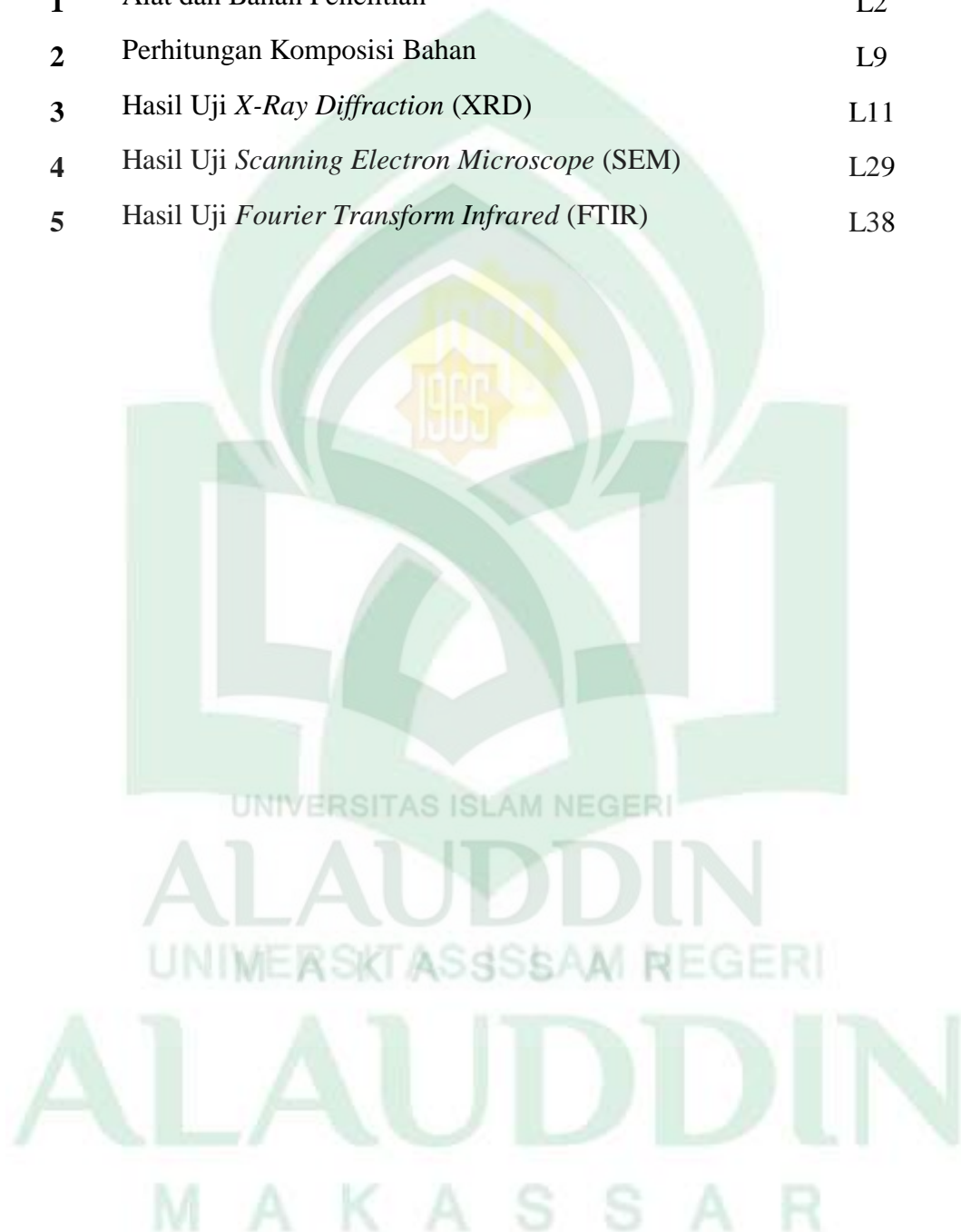
DAFTAR GRAFIK

No	Keterangan gambar	Halaman
IV.1	Diagram fasa sampel hasil karakterisasi XRD	42
IV.2	Grafik hasil pengujian kualitatif spectrum inframerah	51



DAFTAR LAMPIRAN

No	Keterangan Lampiran	Halaman
1	Alat dan Bahan Penelitian	L2
2	Perhitungan Komposisi Bahan	L9
3	Hasil Uji <i>X-Ray Diffraction</i> (XRD)	L11
4	Hasil Uji <i>Scanning Electron Microscope</i> (SEM)	L29
5	Hasil Uji <i>Fourier Transform Infrared</i> (FTIR)	L38



ABSTRAK

Nama : Arwin Darwis
NIM : 60400114016
Judul : **Pembuatan dan Karakterisasi Komposit LiBOB/MgCl₂ dengan Metode *Solid State Reaction***

Telah dilakukan pembuatan dan karakterisasi komposit *lithium bis(oxalate)borate* dengan penambahan *magnesium chloride* (LiBOB/MgCl₂). Elektrolit sebagai media transfer ion baterai, memiliki peranan penting dalam proses *charge-discharge* baterai ion lithium. Bahan dasar yang digunakan dalam penelitian ini adalah *lithium hydroxide* (LiOH), *borid acid* (H₃BO₃), *oxalic acid dehydrate* (H₂C₂O₄•2H₂O) dan *magnesium chloride hexahydrate* (MgCl₂•6H₂O). Metode yang digunakan dalam penelitian ini yaitu *solid state reaction* atau dikenal dengan istilah metode padat-padat. Berdasarkan hasil karakterisasi XRD, menunjukkan puncak-puncak LiBOB mengalami pergeseran setelah ditambahkan dengan 2,5%; 5% dan 7,5% MgCl₂•6H₂O, selain itu juga memunculkan puncak baru *magnesium*. Sementara persebaran bahan di tiap sampel tampak merata dengan pengujian SEM-EDX, walau demikian ada beberapa unsur yang mengalami penggumpalan. Dan uji FTIR menunjukkan perubahan frekuensi pada tiap kenaikan massa MgCl₂•6H₂O, namun tidak menyebabkan perubahan peak pada tiap sampel. Pada hasil uji EIS, memperoleh nilai konduktivitas listrik yang rendah, disebabkan aglomerasi pada bahan setelah penambahan unsur magnesium yang bersifat ionik. Sehingga juga menyebabkan difusi ion semakin rendah.

Kata kunci: *LiBOB/MgCl₂, difusi ion, karakterisasi, solid state reaction*

ABSTRACT

Name : Arwin Darwis
NIM : 60400114016
Title of : **Manufacture and Characterization of LiBOB/MgCl₂**
Thesis **Composites with the Solid State Reaction Method**

Composite fabrication and characterization of lithium bis (oxalate) borate have been made with the addition of magnesium chloride (LiBOB/MgCl₂). Electrolytes as battery ion transfer media have an important role in the lithium ion battery charge-discharge process. The basic materials used in this study were lithium hydroxide (LiOH), borid acid (H₃BO₃), oxalic acid dehydrate (H₂C₂O₄ • 2H₂O) and magnesium chloride hexahydrate (MgCl₂•6H₂O). The method used in this study is solid state reaction, known as the solid state method. Based on the results of XRD characterization, it shows that the peaks of LiBOB have shifted after adding 2.5%; 5% and 7.5% MgCl₂•6H₂O, besides that also gives rise to new magnesium peaks. While the distribution of materials in each sample seemed evenly distributed with SEM-EDX testing, even so there were several elements that experienced clumping. And FTIR test showed changes in frequency for each increase in mass MgCl₂•6H₂O, but did not cause peak changes in each sample. In the EIS test results, obtaining a low electrical conductivity value is due to agglomeration of the material after the addition of ionic magnesium elements. So it also causes lower ion diffusion.

Keywords: *LiBOB/MgCl₂, ionic difusion, characterization, solid state reaction*

BAB I

PENDAHULUAN

A. Latar Belakang

Segala sesuatu yang ada di muka bumi diciptakan dengan keteraturan dan tugas masing-masing. Sebagaimana firman Allah dalam QS Shad/38: 27.

وَمَا خَلَقْنَا السَّمَاءَ وَالْأَرْضَ وَمَا بَيْنَهُمَا بَطْلًا ۚ ذَٰلِكَ ظَنُّ الَّذِينَ كَفَرُوا ۖ فَوَيْلٌ لِلَّذِينَ
كَفَرُوا مِنَ النَّارِ ﴿٣٨﴾

Terjemahnya :

“Dan Kami tidak menciptakan langit dan bumi dan apa yang ada diantara keduanya dengan sia-sia. Itu anggapan orang-orang kafir, maka celakalah orang-orang yang kafir itu karena mereka akan masuk neraka.” (Kementerian Agama RI, 2013)

Dalam Tafsir Al-Mishbah (2002), bahwa ayat diatas merupakan tuntunan Allah kepada semua pihak yang ditekankan-Nya dalam konteks uraian pesan tersebut. Kata (بَطْلًا) *bathilan* dapat berarti *sia-sia tanpa tujuan* atau *dengan permainan*. Sementara dalam Tafsir AN NUUR (2000), menyatakan bahwa Kami (Allah) menjadikan langit dan bumi serta apa yang ada diantara keduanya penuh dengan berbagai faedah dan manfaat, baik yang diketahui ataupun yang tidak diketahui. Allah menciptakan langit dan bumi juga segala yang ada diantara keduanya dengan tata aturan yang demikian rapi, indah serta harmonis. Dengan demikian, kehidupan itu bukan sebuah permainan, bukan juga tanpa tujuan, pasti yang Mahakuasa itu membedakan antara yang berbuat baik dan buruk, lalu memberi ganjaran balasan sesuai amal perbuatan masing-masing.

Orang-orang yang beriman kepada Allah swt. akan senantiasa memperhatikan setiap kejadian alam. Diantaranya adalah silih bergantinya bulan dan matahari dengan energinya dalam menyinari bumi. Allah berfirman dalam QS Yunus/10: 5.

هُوَ الَّذِي جَعَلَ الشَّمْسَ ضِيَاءً وَالْقَمَرَ نُورًا وَقَدَرَهُ مَنَازِلَ لِتَعْلَمُوا عَدَدَ السِّنِينَ وَالْحِسَابَ مَا خَلَقَ اللَّهُ ذَلِكَ إِلَّا بِالْحَقِّ يُفَصِّلُ الْآيَاتِ لِقَوْمٍ يَعْلَمُونَ



Terjemahnya :

“Dialah yang menjadikan matahari bersinar dan bulan bercahaya, dan Dialah yang menetapkan tempat-tempat orbitnya, agar kamu mengetahui bilangan tahun, dan perhitungan (waktu). Allah tidak menciptakan demikian itu melainkan dengan benar. Dia menjelaskan tanda-tanda (kebesaran-Nya) kepada orang-orang yang mengetahui.” (Kementerian Agama RI, 2013)

Dalam tafsir Al-Misbah (2002) menyatakan bahwa ayat diatas menguraikan tentang kuasa Allah swt serta ilmu dan hikmah-Nya dalam mencipta, menguasai dan mengatur alam raya. Ayat ini juga mengingatkan bahwa jika matahari dan bulan saja diatur-Nya, tentu lebih-lebih lagi dengan manusia. Bukankah seluruh alam raya diciptakan-Nya untuk dimanfaatkan oleh umat manusia? Salah satunya dengan memanfaatkan sumber daya yang ada di Alam untuk dijadikan energi alternatif. Firman-Nya: (لِقَوْمٍ يَعْلَمُونَ) *liqaumin ya'lamun/bagi orang yang mengetahui* menjanjikan tersingkapnya ayat/tanda-tanda kebesaran Allah swt setiap saat dan secara berkesinambungan sepanjang masa bagi mereka yang ingin mengetahui yaitu dengan jalan terus menerus untuk mengetahuinya. Ini juga berarti bahwa rahasia-rahasia alam masih terus-menerus dapat terungkap bagi para peneliti. Penutup ayat ini mengisyaratkan bahwa perubahan-perubahan

yang terjadi di alam raya ini seharusnya menyadarkan manusia bahwa ia tidak akan tetap dalam keadaannya, tetapi pasti berubah. Aneka perubahan terjadi, antara lain yang terlihat sehari-hari, seperti kematian, dan karena itu hendaklah setiap orang berhati-hati dan mempersiapkan diri dengan perubahan-perubahan itu.

Perubahan lainnya yang terjadi, dan sangat sering kita rasakan manfaatnya saat ini adalah ditemukannya energi yang lebih menjanjikan dari bahan Lithium. Cadangan lithium Dunia dapat ditemukan pada batuan keras (*hard rock mineral*) sebanyak 13% dan 87% pada air asin (*brine water*) (Sulistiyono *et al.*, 2018). Di bumi ini, persebaran Lithium hampir merata ditiap kawasan. Misalnya di wilayah Amerika Utara terdapat banyak mineral pegmatite, sedangkan untuk wilayah Amerika Selatan diketahui terdapat persebaran spodumen yang besar. Untuk wilayah Australia diketahui terdapat persebaran litium terbesar yang sudah mulai ditambang. Di Wilayah Eropa sendiri kawasan yang memiliki kandungan litium terbesar yang berada di Fregenda-Almendra Portugal yang berbatasan dengan Spanyol. Sementara di Benua Asia diketahui wilayah Jiajika, bagian selatan dari dataran tinggi Tibet, memiliki deposit litium terbesar yang jumlahnya mencapai 0,48 Mt yang berupa mineral pegmatite (Mohr, Mudd dan Giurco, 2012). Di Indonesia khususnya, sebagai kawasan *ring of fire* bisa ditemukan air asin yang mengandung beberapa mineral. Misalnya lautan yang berada di Jawa Tengah maupun Jawa Timur mengandung minyak, gas dan garam mineral (Sulistiyono *et al.*, 2018). Dapat kita temukan pulsa data peneliti yang telah melakukan ekstraksi

lithium dari air asin di kawasan Bledug Kuwu dengan *recovery* yang cukup baik yaitu sebesar 92,5% (Sumarno, Ratnawati dan Nugroho, 2012).

Walau beberapa peneliti di Indonesia mencoba melakukan ekstraksi bahan alam untuk mendapatkan lithium komersil, namun sejauh ini masih dilakukan penelitian berbasis laboratorium dengan menggunakan bahan kimia (teknis maupun *pure analysis*). Untuk bahan komersil yang digunakan dalam laboratorium biasanya menggunakan bahan impor produk Jerman ataupun Jepang. Ketentuan pemasokan bahan material impor sebagai bahan baku penelitian diatur dalam Peraturan Menteri Perindustrian Republik Indonesia Nomor : 16/M-IND/PER/2/2011. Sebagaimana yang dijelaskan dalam BAB I pasal 1 ayat 1: Produk dalam negeri adalah barang/jasa termasuk rancang bangun dan perkerayaan yang diproduksi atau dikerjakan oleh perusahaan yang berinvestasi dan memproduksi di Indonesia, yang dalam proses produksi atau pengerjaannya dimungkinkan penggunaan bahan baku/komponen impor (Indonesia, 2011).

Produk yang sementara dikembangkan di Lembaga Ilmu Pengetahuan Indonesia (LIPI) pada bidang energi, yaitu pengembangan energi alternatif berbasis material Lithium (Li). Berdasarkan ekstraksi lithium (Li) dari bahan alam di Indonesia ditemukan masih mengandung unsur lain berupa: Aluminium (Al), Boron (B), Kalsium (Ca), Besi (Fe), Kalium (K), Magnesium (Mg) dan Natrium (Na) (Sulistiyono *et al.*, 2018). Lithium menjadi salah satu bahan baku pembuatan komponen penyimpan energi yaitu pada Baterai yang dikenal dengan istilah *Lithium Ion Batteries* (LIBs).

Baterai menjadi sumber energi yang murah dan praktis. Baterai terus mengalami pengembangan material baru sesuai dengan aturan efektifitas bahan. Baterai merupakan sel elektrokimia yang menghasilkan tegangan konstan sebagai hasil reaksi kimia. Pada umumnya, ada 2 jenis baterai yang dapat ditemukan dalam kehidupan sehari-hari, yaitu baterai primer yang hanya bisa dipakai sekali saja dan baterai sekunder yang bisa diisi ulang (Linden dan Reddy, 2004). Alasan utama baterai dimanfaatkan sebagai energi alternatif karena bentuknya sederhana, ringan, tahan lama dan energinya dapat diisi ulang. (Park *et al.*, 2010).

Baterai Lithium menjadi baterai yang sangat sesuai dengan perkembangan teknologi saat ini. Daya tampung (kapasitas) dan performa (kinerja) baterai lithium semakin mengalami perkembangan dari tahun ke tahun. Baterai Lithium tersusun atas 4 komponen dasar, yaitu: Anoda, Katoda, Separator dan Elektrolit. Anoda merupakan elektroda negatif baik berupa logam maupun penghantar listrik lainnya yang mampu terpolarisasi jika arus listrik mengalir ke dalamnya. Katoda merupakan elektroda positif yang terpolarisasi jika arus mengalir keluar darinya. Sedangkan separator berfungsi sebagai pemisah antara elektroda negatif dan elektroda positif yang dapat mencegah terjadinya arus pendek (Arifin dan Zainuri, 2014). Sementara Elektrolit merupakan zat terlarut yang berfungsi sebagai media transfer ion dari anoda dan katoda serta berperan penting pada transmisi elektron pada saat pengisian dan pemakaian baterai.

Elektrolit harus mampu menghasilkan dan menghantarkan elektron untuk dapat menjalankan sel elektrokimia. *Lithium bis(oxalate) borate* (LiBOB) menjadi agregat yang menjanjikan sebagai garam elektrolit saat ini. LiBOB yang

berbentuk *Gel Polymer Electrolyte* (GPE) memiliki beberapa keunggulan, yaitu mudah dalam mendesainnya dan memiliki kepadatan daya yang lebih tinggi (Azeez, 2009). *Lithium bis(oxalate) borate* (LiBOB) pertamakali dijelaskan oleh Liskha, dkk pada tahun 1990. Dari tahun tersebut hingga kini, terdapat banyak makalah, artikel bahkan Jurnal ilmiah yang mempublikasikan hasil penelitian LiBOB yang semakin menunjukkan performa terbaiknya dalam mentransmisikan elektron dengan konduktivitas yang semakin baik.

Berdasarkan percobaan termogravimetri yang dilakukan oleh Liskha (1999) menunjukkan bahwa LiBOB sepenuhnya stabil pada suhu sampai kira-kira 300°C. Sementara penelitian Xu (2001), dengan mengkombinasikan *Differensial Analysis Thermal* dengan *Thermogravimetry Analysis* (DTA-TGA) memperoleh tingkat kestabilan LiBOB sampai pada suhu 302 °C, melalui pemindaian dari 10 °C min⁻¹. Pada penelitian lainnya, melalui campuran H₂C₂O₄•2H₂O (Asam Oksalat), H₃BO₃ (Asam Borat) dan LiOH (Lithium Hidrogen Oksalat) setelah dilakukan analisa *Differential Thermal Analysis* (DTA) diperoleh hasil terbentuknya LiBOB temperature 233,24 °C. Sehingga untuk mendapatkan LiBOB maka dapat dilakukan sintering pada tempertur 230 °C s/d 250 °C (Lestariningsih, Marty Wigayati dan Prihandoko, 2013).

LiBOB selama ini diteliti dengan menggunakan bahan baku murni import. Selanjutnya akan dilakukan substitusi bahan lokal (Dalam Negeri) untuk mengurangi import. Karena Indonesia kaya akan bahan mineral, satu diantaranya yaitu *Lithium* (Li). Pada salah satu program penelitian di LIPI adalah “*Ekstraksi Lithium dari bahan alam Indonesia sebagai bahan baku baterai ion Lithium*”,

masih didapatkan kandungan Na dan $MgCl_2$ dengan komposisi yang lebih mendominasi (lebih banyak). Untuk kelanjutan hasil penelitian tersebut maka pada penelitian ini dilakukan pembuatan LiBOB dengan bahan awal yang mengandung bahan atau unsur *Magnesium Chloride* ($MgCl_2$) kemudian diamati karakteristiknya.

Sejauh ini, penelitian untuk peningkatan performa baterai ion lithium, sering dilakukan dengan campuran bahan dari bahan-bahan kimiawi, baik yang teknis maupun *pure analysis*. Berdasarkan data penelitian sebelumnya, maka dilakukan penelitian untuk mengetahui struktur kristal, fasa dan morfologi serta struktur gugus fungsi senyawa *lithium bis(oxalate) borate* (LiBOB) dengan penambahan impuritas yaitu *Magnesium Chloride Heksahidrat* ($MgCl_2 \cdot 6H_2O$).

B. Rumusan Masalah

Rumusan masalah pada penelitian ini yaitu :

1. Bagaimana karakteristik fasa dan struktur kristal *lithium bis(oxalate) borate* (LiBOB) dengan penambahan impuritas *magnesium chloride heksahydrate* ($MgCl_2 \cdot 6H_2O$)?
2. Bagaimana karakteristik morfologi permukaan *lithium bis(oxalate) borate* (LiBOB) dengan penambahan impuritas *magnesium chloride heksahydrate* ($MgCl_2 \cdot 6H_2O$)?
3. Bagaimana pembentukan struktur gugus fungsi *lithium bis(oxalate) borate* (LiBOB) dengan penambahan impuritas *magnesium chloride heksahydrate* ($MgCl_2 \cdot 6H_2O$)?

C. Tujuan Penelitian

Tujuan dilaksanakannya penelitian ini adalah :

1. Untuk mengetahui karakteristik fasa dan struktur kristal LiBOB dengan penambahan impuritas *magnesium chloride heksahydrate* ($\text{MgCl}_2 \cdot 6\text{H}_2\text{O}$)
2. Untuk mengetahui karakteristik morfologi permukaan LiBOB dengan penambahan impuritas *magnesium chloride heksahydrate* ($\text{MgCl}_2 \cdot 6\text{H}_2\text{O}$)
3. Untuk mengetahui bentuk struktur gugus fungsi *lithium bis(oxalate) borate* (LiBOB) dengan penambahan impuritas *magnesium chloride heksahydrate* ($\text{MgCl}_2 \cdot 6\text{H}_2\text{O}$).

D. Ruang Lingkup Penelitian

Pada penelitian ini, akan dilakukan penelitian meliputi :

1. Metode penelitian yang dilakukan menggunakan metode *solid state reaction*. Dengan campuran bahan LiOH, H_3BO_3 dan $\text{H}_2\text{C}_2\text{O}_4 \cdot 2\text{H}_2\text{O}$ dengan rasio mol 1:1:2.
2. Variasi massa penambahan *magnesium chloride heksahydrate* ($\text{MgCl}_2 \cdot 6\text{H}_2\text{O}$) ke dalam *lithium hydroxide* (LiOH), masing-masing 0%, 2,5%, 5% dan 7,5%.
3. Analisa struktur material berupa fasa yang terbentuk menggunakan *X-Ray Diffractometer* (XRD). Produk SmartLab merek Rigaku.
4. Anallisa morfologi material melalui pengujian *Scanning Electron Microscope* (SEM), produk Hitachi model SU3500.
5. Pengujian spectrum Infrared menggunakan *Fourier Transform Infrared* (FTIR).

E. Manfaat Penelitian

Melalui penelitian ini, diharapkan mampu memberikan manfaat kepada beberapa kalangan social yang diuraikan sebagai berikut:

1. Manfaat untuk Mahasiswa

Dengan penelitian ini diharapkan dapat memberikan pemahaman mendalam kepada mahasiswa tentang pembuatan dan pemanfaatan baterai ion lithium khususnya pada bagian elektrolit baterai. Khususnya untuk pemanfaatan LiBOB sebagai elektrolit garam yang sangat menjanjikan. Selain itu, juga diharapkan menjadi tambahan referensi untuk mahasiswa dalam pemberian impuritas pada bahan LiBOB.

2. Manfaat untuk Masyarakat

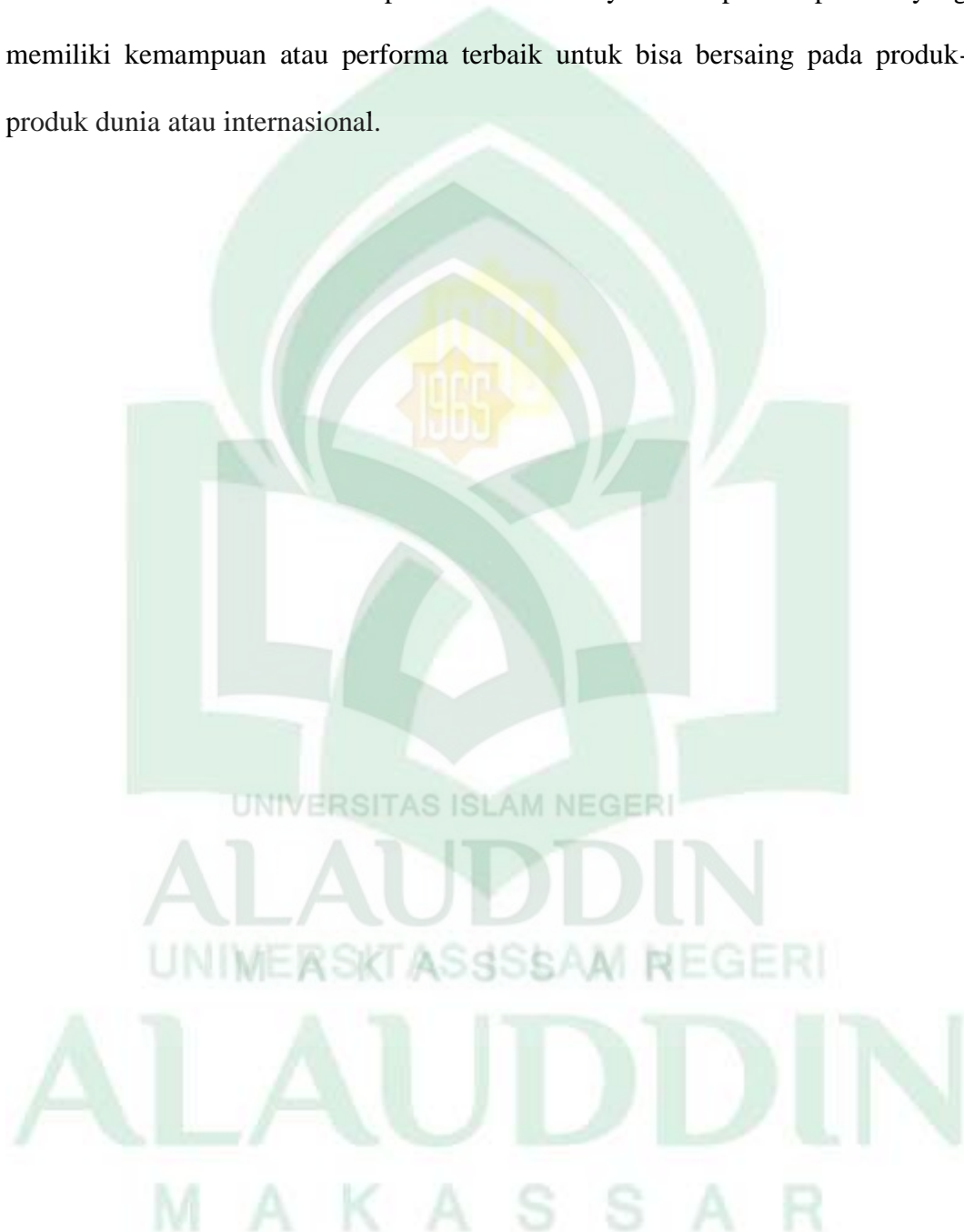
Diharapkan dengan penelitian ini mampu memunculkan pengembangan baterai ion lithium untuk penyimpanan energi listrik yang lebih untuk digunakan oleh masyarakat dengan performa yang bagus dan bernilai lebih ekonomis. Sehingga ke depannya mampu tersedia produk-produk yang dapat dimanfaatkan dalam kehidupan sehari-hari.

3. Manfaat untuk Pemerintah

Dengan terus melakukan riset elektrolit dengan konduktivitas ion yang lebih cocok, diharapkan dapat menjadi daya saing untuk riset Negara dan meningkatkan jumlah penelitian yang akan terpublikasi dengan kualitas yang lebih baik.

4. Manfaat untuk Industri

Dengan adanya pengembangan pada setiap riset yang dilakukan, akan membantu industri untuk memproduksi dan menyalurkan produk-produk yang memiliki kemampuan atau performa terbaik untuk bisa bersaing pada produk-produk dunia atau internasional.



BAB II

TINJAUAN PUSTAKA

A. Energi Alam

Manusia dan segala yang ada di muka bumi ini, termasuk energi alam, merupakan mahakarya dari Sang Pencipta yang tiada duanya. Sayyid Qutub mengomentari ayat-ayat yang memaparkan bukti kuasa Allah swt dan keniscayaan Kiamat sebagaimana yang dikutip M.Quraish Shihab, adalah dengan adanya cara Al-Qur'an berdialog dengan manusia membuktikan sumber Al-Qur'an itu sendiri. Sumbernya adalah sumber kejadian alam semesta, yakni Allah swt. Cara pemaparan al-Qur'an adalah cara-Nya dalam mencipta alam raya ini dari materi alam yang paling sederhana hingga lahir bentuk yang paling kompleks (butuh penelitian ilmiah) serta ciptaan yang paling agung.

Energi panas yang dikonversi menjadi energi cahaya adalah satu diantara ribuan Ciptaan-Nya yang secara langsung dirasakan manfaatnya oleh umat manusia. Sebagaimana firman Allah swt. dalam QS Yasin/36: 80.

الَّذِي جَعَلَ لَكُم مِّنَ الشَّجَرِ الْأَخْضَرِ نَارًا فَإِذَا أَنْتُمْ مِّنْهُ تُوقِدُونَ ﴿٨٠﴾

Terjemahnya :

Yaitu Tuhan yang menjadikan untukmu api dari kayu yang hijau, Maka tiba-tiba kamu nyalakan (api) dari kayu itu. (Kementerian Agama RI, 2013)

Dalam Tafsir Al-Misbah Volume 11, dijelaskan bahwa ayat diatas mengangkat contoh tentang kuasa-Nya menciptakan sesuatu dari bahan yang bersubstansi berlawanan dengan substansi bahan ciptaan sesuatu itu. Yakni

mencipta api dari satu bahan yang potensinya memadamkannya, yakni air. Dalam buku lain juga tertulis, ada ilmuwan yang menjelaskan maksud ayat diatas lebih kurang sebagai berikut: *kekuatan surya dapat berpindah ke dalam tumbuh-tumbuhan melalui proses asimilasi sinar. Sel tumbuh-tumbuhan yang mengandung zat hijau daun (klorofil) mengisap karbondioksida dari udara. Sebagai akibat terjadinya interaksi antara gas karbondioksida dan air yang diserap oleh tumbuh-tumbuhan dari dalam tanah akan dihasilkan zat karbohidrat berkat bantuan sinar matahari.* Dari sana kemudian terbentuk kayu yang pada dasarnya terdiri atas komponen kimiawi yang mengandung karbon, hydrogen dan oksigen.

Selain itu, dalam tafsir AN-NUUR-4 menjelaskan bahwa, Dialah, Allah yang telah menjadikan pohon itu hijau dan indah, kemudian pohon itu dijadikan sebagai kayu api yang kering untuk menghidupkan api. Tuhan yang sanggup berbuat demikian itu tentu berkuasa pula mengerjakan apa yang dikehendaki-Nya dan tidak ada yang dapat menghalangi-Nya. Sebab, Tuhan yang menimbulkan api pada kayu yang hijau, tentu lebih berkuasa mengembalikan kayu yang telah kering itu menjadi hijau kembali. Ada yang mengatakan bahwa tafsir ayat ini adalah: *Tuhan yang berkuasa menjadikan api pada kayu yang masih hijau dan kayu yang masih hijau itu dapat kamu nyalakan.* Memang terdapat beberapa macam pohon yang apabila sedikit saja bergesekan, dapat menimbulkan api, padahal pohon itu masih hijau dan berair.

Hal yang disampaikan diatas merupakan suatu ketidakmungkinan yang telah diperlihatkan oleh Allah swt. kepada hamba-hambanya yang mengetahui.

Sebagaimana dalam tafsir Al Maragi menyebutkan bahwa Allah Yang Maha Kuasa mampu mengadakan api dari pohon yang hijau, sekalipun pohon tersebut memuat air. Dalam proses penciptaan tersebut, Allah memulai penciptaan pohon dari air sehingga menjadi hijau segar. Kemudian, Dia kembalikan pohon itu sampai menjadi kayu bakar kering yang digunakan untuk menyalakan api. Inilah bukti kekuasaan Allah yang mampu menyalakan api dari unsur air yang sifatnya berlawanan dengan pembakaran.

Hal tersebut juga terdapat dalam QS Waqi'ah/56: 71.

أَفَرَأَيْتُمُ النَّارَ الَّتِي تُورُونَ ﴿٧١﴾

Terjemahnya :

Maka Terangkanlah kepadaku tentang api yang kamu nyalakan (dengan menggosok-gosokkan kayu) (Kementerian Agama RI, 2013).

Juga Allah berfirman dalam QS Waqi'ah/56: 73.

نَحْنُ جَعَلْنَاهَا تَذْكَرًا وَمَتَاعًا لِلْمُقْوِينَ ﴿٧٣﴾

Terjemahnya :

Kami jadikan api itu untuk peringatan dan bahan yang berguna bagi musafir di padang pasir (Kementerian Agama RI, 2013).

Allah berfirman: *Maka apakah kamu melihat dengan mata kepala atau hati, keadaan yang sungguh menakjubkan? Terangkanlah kepada-Ku tentang api yang kamu nyalakan yang berasal dari kayu yang kamu gosok-gosokkan! Kamukah yang menjadikannya yakni api itu atau kayu itu memiliki potensi pembakaran atau Kamukah para pembuat-Nya? Kami menjadikannya untuk peringatan tentang siksa neraka yang apinya jauh lebih panas dan dahsyat dan*

juga agar bermanfaat bagi para musafir dipadang pasir, seperti untuk memasak, menjadi alat penerang, penghangat badan, untuk mengusir binatang buas dan lain-lain. Demikian juga orang-orang miskin dan kaya kapan dan dimanapun.

Sayyid Qutub sebagaimana yang dikutip dalam M. Quraish Shihab menyatakan ayat-ayat yang memaparkan bukti kuasa Allah swt dan keniscayaan Kiamat, adalah dengan adanya cara Al-Qur'an berdialog dengan manusia membuktikan sumber Al-Qur'an itu sendiri. Sumbernya adalah sumber kejadian alam semesta, yakni Allah swt. Cara pemaparan al-Qur'an adalah cara-Nya dalam mencipta alam raya ini dari materi alam yang paling sederhana hingga lahir bentuk yang paling lengkap serta ciptaan yang paling agung.

Energi menjadi sesuatu yang sangat penting dan sangat berguna untuk kehidupan manusia. Sesuatu yang menarik dari energi adalah kemampuan untuk mengubah suatu energi menjadi energi lain. Sebagaimana contoh diatas, bahwa dengan adanya energi gerak (adanya gesekan dari kedua kayu yang berbeda) menimbulkan panas. Energi panas kemudian menjadi api yang dapat menerangi (energi cahaya). Karena kebutuhan energi dan ketersediaannya dialam terkadang berbeda, maka dibuat sebuah skema penyimpan energi (penyimpan energi elektrokimia) (Huggings, 2009). Komponen tersebut menggunakan dua energi yang berbeda, yaitu energi listrik dan kimia, dikenal dengan sebutan baterai.

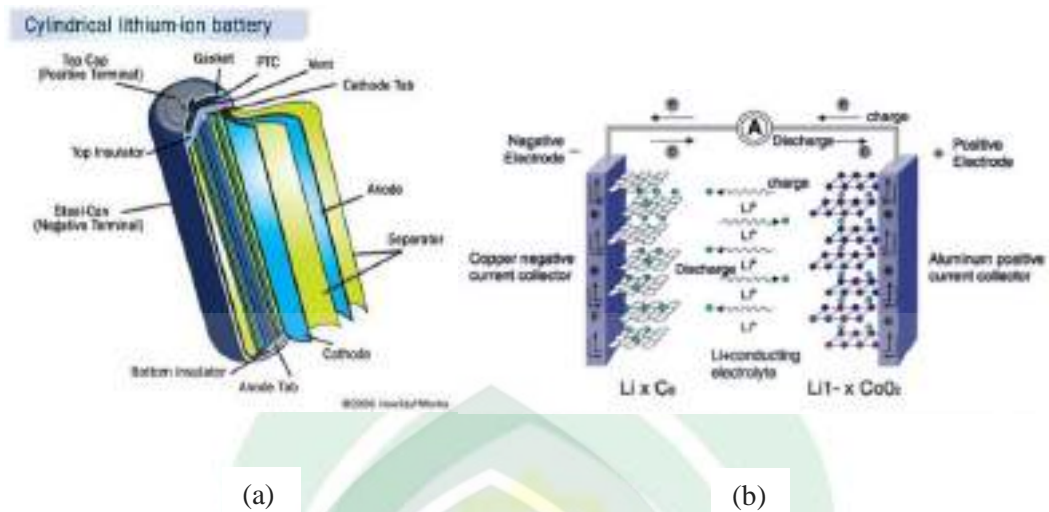
B. Baterai Ion Lithium

Secara teori, baterai merupakan perangkat penyimpan elektrokimia yang dapat mengubah energi kimia menjadi energi listrik. Proses perubahan energi tersebut melalui reaksi yang melibatkan transfer elektron dari suatu materi

ke materi lainnya melalui sebuah sirkuit listrik. Reaksi tersebut menghasilkan arus listrik dan beda potensial.

Terdapat 2 jenis baterai yang umum ditemukan, yaitu baterai primer (baterai sekali pakai//tidak dapat diisi ulang) dan baterai sekunder (baterai yang dapat diisi ulang) (Linden dan Reddy, 2004). Pengaplikasian baterai primer dapat ditemukan pada penggunaan baterai untuk *remote television*, jam dinding, jam tangan, senter ataupun radio/speaker. Sementara pemanfaatan baterai sekunder, dapat ditemukan pada penggunaan baterai *handphone*, laptop, mobil mainan (Tamiya), senter *charge*, dan lain-lain.

Pengembangan Penyimpan Energi Elektrokimia berkembang dengan sangat pesat. Diantaranya adalah dengan mengembangkan performa baterai ion Lithium (*Lithium Ion Battery / LIB*). Baterai ini awalnya dikembangkan di Jepang oleh Asahi Kasei Co. dan pertama dikomersilkan oleh Sony Co. (1991), diikuti oleh A & T Battery Co. (perusahaan gabungan Baterai Toshiba dan Asahi Kasei Co.) pada tahun 1992. *LIB* pun telah digunakan untuk barang elektronik portabel, terutama telepon seluler dan *notebook/computer* (Masaki, Ralph J. dan Akiya, 2009). Tak hanya itu, bahkan saat ini mulai pula dikembangkan pemanfaatan baterai ion lithium untuk kendaraan listrik, seperti motor listrik ataupun mobil listrik.



Gambar II.1. (a) komponen penyusun baterai ion lithium, (b) prinsip kerja/ perpindahan elektron pada sel baterai ion lithium.

(sumber: <http://wiryawangpblog.blogspot.com/>)

Secara umum, sel baterai tersusun oleh tiga komponen utama, yaitu: anoda, katoda dan elektrolit (lihat **gambar II.1.a**). Proses kerja baterai ion lithium, sama seperti baterai umumnya yaitu dengan mekanisme elektrokimia (lihat **gambar II.1.b**). Perpindahan ion dari reaktan A dan B terbentuk sebagai hasil mekanisme kimia yang terjadi (Huggings, 2009). Reaktan A dan B disebut Elektroda, yaitu dikenal dengan istilah Anoda dan Katoda. Disamping itu, untuk mencegah terjadinya arus pendek, maka elektroda tersebut dikelilingi oleh elektrolit (Linden dan Reddy, 2004). Dan untuk mengoptimalkan stabilitas elektrokimia baterai, elektrolit dibantu dengan elemen yang memiliki sifat keterbasahan baik, yaitu separator yang dapat mencegah terjadinya panas yang berlebih ataupun ledakan pada proses charge-discharge baterai ion lithium (Jullien, 2016).

1. Anoda

Anoda adalah elektroda negatif pada cell baterai, baik berupa logam maupun bahan penghantar listrik lain pada sel elektrokimia yang terpolarisasi jika arus listrik mengalir ke dalamnya. Alasan Lithium dijadikan sebagai bahan dasar pembuatan anoda yaitu karena lithium memiliki nilai potensial standar paling negatif yaitu -3,0 V, paling ringan (berat atom Li = 6,94 gr). Sehingga bila digunakan untuk pembuatan anoda maka dapat menghasilkan energi yang tinggi. Dengan menggunakan logam lithium pada anoda, maka dari 1 Kg logam lithium dapat menghasilkan kapasitas energi per 1 kg massa sebesar Coulomb/second atau Ampere. Dan apabila dikalikan dengan potensial standar lithium yaitu 3 volt, maka diperoleh kepadatan energi menjadi 11583 Wh/kg (Priyono *et al.*, 2016).

2. Katoda

Katoda adalah kutub elektroda positif cell baterai yang terpolarisasi jika kutubnya bermuatan positif. Karena energi baterai tergantung pada tegangan dan kapasitasnya, maka untuk mendapatkan energi baterai yang besar dan menghasilkan tegangan lebih dari 3,5 V digunakan bahan anoda dan katoda yang sama (Li). Semakin tinggi potensial dan kapastias bahan katoda, menjadikan tegangan bateraki semakin bagus (Masaki, dkk, 2009).

3. Separator

Separator merupakan bahan isolasi elektrik (Wigayati, Purawiardi dan Sabrina, 2017) dan membran berpori yang berfungsi untuk memastikan terjadinya aliran ion dan mencegah terjadinya kontak fisik antara anoda dan katoda yang dapat menyebabkan hubungan arus pendek (Jullien, 2016). Separator yang ideal

mempunyai nilai resistansi sebesar nol. Nilai resistansi rendah dapat diperoleh dengan nilai porositas yang tinggi (Arifin dan Zainuri, 2014). Bentuk ideal sebuah separator yaitu dengan pori-pori terdistribusi secara merata dan mempunyai struktur yang berliku. Sedangkan porositas dari separator ini harus memiliki jumlah yang tepat untuk proses pergerakan ion antar elektroda. Biasanya, sebuah separator baterai Li-ion memiliki porositas diatas 55% (Li *et al.*, 2011) dan memiliki titik leleh dibawah 140°C, ketika melebihi suhu tersebut maka separator tidak akan berfungsi dan menyebabkan terjadinya hubungan arus pendek (Masaki, Ralph J. dan Akiya, 2009).

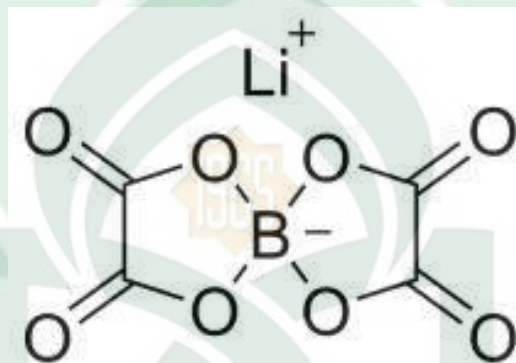
4. Elektrolit

Elektrolit adalah suatu zat yang larut atau terurai ke dalam bentuk ion-ion dan selanjutnya larutan menjadi konduktor elektrik, ion-ion merupakan atom-atom bermuatan elektrik. Bahan elektrolit memisahkan anoda dan katoda serta memainkan peran penting pada transmisi electron dan ion lithium pada saat pengisian dan pemakaian baterai. Pada baterai, elektrolit juga merupakan komponen utama yang menentukan kinerja baterai, keamanan dan kerapatan arus (Huggings, 2009).

5. *Lithium Bis(oxalate) Borate (LiBOB)*

Upaya pengembangan garam baru yang menjanjikan sebagai garam elektrolit baterai ion lithium adalah *Lithium bis(oksalato) borate* yang dikenal sebagai LiBOB. Garam Lithium baru *Lithium bis(oxalate) Borate* (LiBOB) diungkapkan pertama kali pada tahun 1999 oleh Lischka, Xu dan Angel (Lestariningsih, dkk, 2013). *Lithium bis(oxalate) Borate* (LiBOB) adalah salah

satu bentuk garam lithium yang memiliki performa bagus dibandingkan elektrolit lainnya. Hal tersebut karena LiBOB memiliki stabilitas termal yang terdekomposisi pada temperatur 303 °C, bersifat higroskopis, memiliki berat molekul 193,79 g/mol dengan Densitas 0,8-1,2 g/cm³, serta dapat larut pada campuran karbonat, *carbolic ester*, *glymes*, *ketones* dan *lactones* (Wigayati dan R. I. Purawiardi, 2015).



Gambar II.2. Struktur Kimia *lithium bis(oxalate)borate* (LiBOB)

Sumber: <https://medicalreagent.sell.ecer.com/>

LiBOB dapat dibuat dengan metoda *solid state reaction*, dimana bahan baku dicampurkan pada kondisi padat, kemudian dilakukan pemanasan di dalam furnace untuk proses kalsinasi dan sintering. Metode ini lebih sederhana, lebih murah dan ramah lingkungan dibandingkan mereaksikan dengan bahan organik. LiBOB yang dikombinasikan dengan *lithium tetrafluoroborate* (LiBF₄) akan menyebabkan *lithium oxalodifluoro borate* (LiODFP) terdekomposisi pada suhu sekitar 270 °C (Hong-ming *et al.*, 2018). Pada dasarnya LiODFP memiliki performa yang lebih bagus dibandingkan LiBOB pada suhu rendah, namun LiODFP mengandung *fluourine* yang berbahaya untuk kesehatan (Jullien, 2016). Sehingga LiBOB masih menjadi bahan elektrolit yang aman untuk digunakan.

Lithium bis(oxalate) borate (LiBOB) juga memiliki kekurangan, diantaranya adalah tingkat kelarutan yang rendah dalam pelarut yang memiliki konstanta dielektrik yang rendah. Sehingga konduktivitas listrik lebih rendah jika dilarutkan dalam karbonat (Jullien, 2016). Namun demikian, LiBOB mampu meningkatkan stabilitas baterai ion lithium pada tingkat muatan yang tinggi. Yaitu dengan mengkombinasikan LiBOB dengan lithium *bis(trifluoromethanesulfonyl) imide* (LiTFSI) sebagai agregat *dual-salt* elektrolit (Li *et al.*, 2018). Maka untuk mengoptimalkan performa LiBOB sebagai bahan elektrolit baterai ion lithium, dapat dilakukan dengan menambahkan agregat yang sesuai dengan kebutuhan pengembangannya.

Dalam proses pembuatan LiBOB, yang perlu diperhatikan adalah penentuan suhu pemanasan (*heat treatment*). Suhu sintering yang sesuai untuk material bahan dapat dilihat berdasarkan data DTA/TGA. Hal ini menjadi penting, karena akan mempengaruhi pembentukan fasa Kristal bahan. Penelitian sebelumnya mensintesis LiBOB pada suhu 120 °C dengan penahanan selama 4 jam dan pada suhu 240 °C dengan penahanan selama 7 jam (Wigayati *et al.*, 2017). Proses sintering fasa padat terbagi menjadi tiga proses, yaitu: proses awal yang ditandai dengan terbentuknya ikatan atomik, proses menengah ditandai dengan terjadinya desifikasi dan pertumbuhan partikel, dan proses akhir yang menandakan menurunnya laju desifikasi dan pertumbuhan partikel (Wigayati dan I. Purawiardi, 2015).

Untuk mengetahui tingkat keberhasilan sintesa LiBOB yang telah dipanaskan (sintering), maka perlu dilakukan perbandingan struktur Kristal antara

LiBOB yang disintesa dengan LiBOB komersil grade P.A. Pendeteksian kualitas kristal yang dihasilkan dapat diukur berdasarkan hasil uji *X-Ray Diffraction* (XRD) dengan berpatokan pada nilai parameter *Figure of Merit* (Wigayati dan I. Purawiardi, 2015). Nilai *Figure of Merit* dapat dihitung berdasarkan persamaan:

$$F_N = \frac{1}{|\Delta 2\theta|} \frac{N}{N_{\text{poss}}}$$

dimana F_N adalah *Figure of Merit* dengan satuan derajat timbal balik, N adalah jumlah garis difraksi observasi, dan N_{poss} adalah jumlah garis difraksi kalkulasi suatu fasa dalam hingga garis yang diamati, sementara $|\Delta 2\theta|$ adalah selisih absolut antara 2θ observasi dan 2θ kalkulasi (Cullity dan Stock, 2014).

C. Bahan Pembentuk LiBOB

1. *Lithium Oxide*

Unsur lithium untuk LiBOB diekstrak dari bahan *lithium oxide* dengan rumus kimia LiOH. Berdasarkan *Safety Data Sheet* World Headquarters, Hach Company, MSDS No: M00037, LiOH termasuk bahan kimia *inorganic base* berbentuk serbuk putih. LiOH memiliki titik lebur pada 471 °C atau 879,8 °F, dengan pH 0,1 N. Walau bahan ini tidak mudah terbakar, namun tetap berbahaya jika terkontaminasi dengan kulit apalagi mata.

2. *Boric Acid*

Berdasarkan Material Safety Datasheet SDS/MSDS dari cdhchemical.com CAS no. 10043-35-3, *Boric Acid* memiliki rumus kimia H_3BO_3 . Bahan ini berbentuk Kristal putih padat dan tidak berbau dan memiliki titik lebur pada 170,9 °C atau setara dengan 340 °F. Bahan ini tidak menyebabkan iritasi pada kulit, namun akan sangat mudah diserap oleh kulit yang terluka (terbuka).

3. Oxalic Acid Dihydrate

Berdasarkan *Safety Data Sheet* dari LabChem dengan Federal Register/Vol. 77, No. 58/March 26, 2012, *Oxalic Acid, Dihydrate* memiliki rumus kimia $\text{H}_2\text{C}_2\text{O}_4 \cdot 2\text{H}_2\text{O}$. bahan ini memiliki massa molekul 126,07 g/mol dengan titik lebur pada 101 °C dan terdekomposisi pada temperature 157 °C. $\text{H}_2\text{C}_2\text{O}_4 \cdot 2\text{H}_2\text{O}$ mudah larut dalam air, ethanol, eter maupun gliserol. Bahan ini dapat menyebabkan iritasi pada kulit yang ditandai dengan berubahnya warna kulit ataupun kuku, juga dapat menyebabkan iritasi pada mata dan menyebabkan korosi pada mata yang merusak jaringan mata.

4. Magnesium Chloride Hexahidrate

Berdasarkan Material *Safety Datasheet* SDS/MSDS dari cdhchemical.com CAS No 7791-18-6 *Magnesium Chloride Hexahydrate* memiliki rumus kimia $\text{MgCl}_2 \cdot 6\text{H}_2\text{O}$. bahan ini memiliki titik lebur pada 117 °C atau 242,6 °F dengan massa molekul 203,31 g/mol. $\text{MgCl}_2 \cdot 6\text{H}_2\text{O}$ berwarna putih keabu-abuan dan juga mudah larut dalam air. Bahan ini dapat menyebabkan iritasi apabila tersentuh pada mata dan kulit.

D. Metode Sintesis LiBOB

1. Metode Solid State

Metode *solid-state* atau dikenal dengan istilah reaksi padat-padat diawali dengan pencampuran bahan baku dengan molaritas tertentu hingga *homogen* atau bercampur dengan baik (Lestariningsih, Marty Wigayati dan Prihandoko, 2013). Menurut Bi-Tao Yu, kisaran suhu yang digunakan pada metode *solid state* yaitu

kisaran suhu 100°C-120°C untuk kalsinasi selama 4 jam dan kisaran suhu 240°C-280°C untuk sintering selama 6 jam (Yu *et al.*, 2007).

Ketika menggunakan metode *solid-state*, maka digunakan proses pemanasan yang tinggi dan berdurasi panjang. Namun demikian, metode *solid-state* menjadi metode sintesis yang sangat mudah dan tidak memerlukan biaya yang besar. Sementara untuk memperoleh baterai lithium yang bagus, kontak antarmuka antara kedua elektroda dan elektrolit *solid-state* harus ditingkatkan dengan mengencangkan koneksi melalui matriks polianionik kovalen (Masaki, Ralph J. dan Akiya, 2009).

2. Metode Sol-Gel

Metode sintesis berbasis larutan yaitu metode *sol-gel* yang menawarkan keuntungan dengan menghasilkan ukuran partikel yang optimum dan menjaga kemurnian fasa (Franger, dkk, 2003). Metode *sol-gel* yaitu metode sintesis menggunakan pelarut berupa akuades sehingga menghasilkan partikel dengan morfologi yang baik dan homogen (Kim, dkk, 2008). Dalam metode berbasis larutan, nilai pH berbasis prekursor mempunyai peranan penting pada morfologi dan distribusi ukuran partikel yang terbentuk. Nilai pH mempunyai dampak yang besar pada morfologi dan ukuran partikel karena pH dapat mempengaruhi daya larut prekursor dan rasio konfigurasi ion yang dapat larut dan mengendap. Faktor selanjutnya yang berperan dalam kemurnian fasa dan kristalinitas adalah temperature dan waktu pemanasan (Liu, dkk, 2009).

3. Metode Spray Pyrolysis

Metode Spray Pyrolysis merupakan metode yang dilakukan dengan memanfaatkan *ultrasonic atomizer* dari sebuah pre-kursor dengan melarutkan serbuk *titanium (Ti)* ke dalam *hydrogen peroxide* dan *ammonium hydroxide* (Sakka, 2004). Metode ini sangat efektif dilakukan untuk produksi partikel keramik halus dalam waktu singkat. Metode *spray pyrolysis* umumnya dilakukan dengan menggunakan system yang terdiri dari *droplet generator*, *a quartz reactor* dan *a powder collection* (Zhang *et al.*, 2012).

Dalam percobaan yang lebih rumit, misalnya untuk menghasilkan sejumlah besar tetesan menggunakan generator semprot ultrasonik dengan enam vibrator, tetesan tersebut melalui gas pembawa dibawa ke reaktor tubular suhu tinggi. Kemudian tetesan dan daya menguap, membusuk dan mengkristal dalam *quartz reactor* (Zhang *et al.*, 2012). Secara umum, metode ini lebih bagus dibanding metode *solid-state* yang masih tergolong konvensional, namun metode ini jarang digunakan karena membutuhkan biaya yang besar dan juga kendali reaksi tergolong sulit dilakukan.

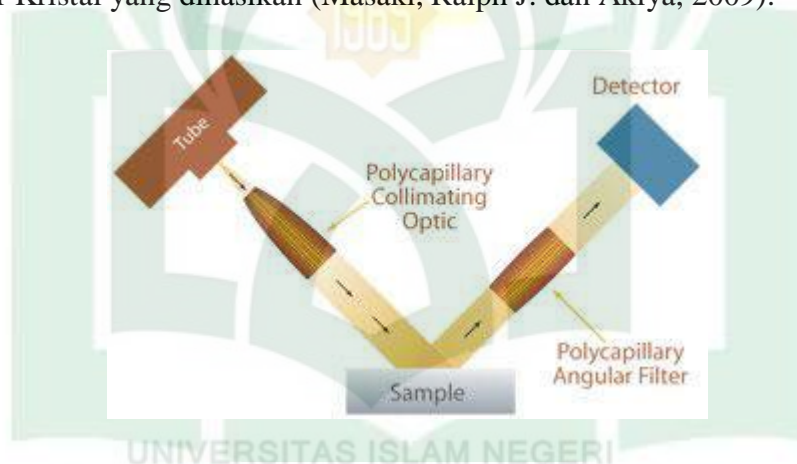
E. Analisa Struktur Unsur

1. X-Ray Diffraction (XRD)

X-Ray Diffraction (XRD) merupakan teknik yang sangat penting di bidang karakterisasi bahan untuk mendapatkan informasi pada skala atom, baik bahan-bahan kristal maupun nonkristalin (amorf) (Suryanarayana dan Norton, 1998). Penemuan dari x-ray difraksi oleh kristal pada tahun 1912 oleh Max von Laue dan

diaplikasikan langsung untuk penentuan struktur pada tahun 1913 oleh W. L. Bragg dan ayahnya W. H. Bragg.

Metode XRD dilakukan melalui proses pemurnian dan pengidentifikasian (Linden dan Reddy, 2004) yang dapat digunakan untuk menemukan lokasi dan jalur transport kation yang bergerak dalam anion dari struktur Kristal. Sehingga dapat diperoleh informasi mengenai rata-rata waktu padatan dengan intensitas difraksi. Hasilnya dapat dinyatakan dengan *electron density map* (Huggings, 2009). Metode ini juga digunakan untuk mengidentifikasi fasa Kristal dan parameter Kristal yang dihasilkan (Masaki, Ralph J. dan Akiya, 2009).



Gambar II. 3: Prinsip kerja XRD dengan parallel beam untuk teknik XRD serbuk

Proses kerja XRD dapat dilihat pada **gambar II.3**. Suatu diffractometer digunakan untuk mengaburkan pola difraksi tergantung pada jenis rangkaian yang digunakan untuk mengukur laju produksi pulsa di detector (Cullity dan Stock, 2014). Tingkat intensitas dapat diukur dalam dua cara berbeda:

- a) Sukses pulsa arus diubah menjadi arus stabil, yaitu diukur pada meter meter yang disebut meter, dikalibrasi dalam unit seperti jumlah (pulsa) per detik (c / s atau cps).

b) Pulsa saat ini dihitung secara elektronik dalam sirkuit yang disebut scaler dan tingkat penghitungan rata-rata diperoleh hanya dengan membagi jumlah pulsa dihitung dengan waktu yang dihabiskan dalam penghitungan (Cullity dan Stock, 2014).

Suatu analisa yang tidak dapat dipisahkan dari data hasil uji X-Ray Diffraction adalah analisa struktur kristal suatu bahan. Analisa ini merupakan suatu metode untuk analisa struktur ikatan kimia, struktur kristal maupun ukuran atom penyusun kristal tersebut (Glusker, Lewis dan Rossi, 1994). Suatu kristal selalu dibatasi oleh bidang datar dengan jumlah dan kedudukan tertentu yang memenuhi hukum geometri. Bidang tersebut dikenal dengan istilah bidang muka kristal. Yang mana bidang-bidang muka kristal tersebut, baik letak maupun arahnya ditentukan oleh arah perpotongan dengan sumbu-sumbu kristal (Alfredsson, 2004).

a) Fase pembentukan kristal

Secara umum, pembentukan kristal dapat terbentuk melalui 2 cara, yaitu Presipitasi dan Kristalisasi. Semakin lama proses kristalisasi berlangsung, maka ukuran kristal akan semakin besar. Beberapa fase pembentukan kristal yang umum terjadi diantaranya: 1) fase cair ke padat, dimana cairan atau lelehan dasar akan membeku atau memadat lalu membentuk kristal karena pengaruh perubahan suhu lingkungan; 2) fase gas ke padat, terbentuk dari hasil sublimasi gas-gas yang memadat karena perubahan lingkungan, kristal yang terbentuk berukuran kecil dan kadang berbentuk rangka (skeletal form); 3) fase padat ke padat,

menyebabkan perubahan struktur kristal karena pengaruh tekanan dan temperatur (deformasi), namun susunan unsur kimianya tetap (dikenal dengan rekristalisasi).

b) Sifat-sifat kristal

Menurut Steno, kristal mempunyai sifat dasar berupa 2 bidang muka kristal yang berimpit dan membentuk sudut yang besarnya tetap pada suatu kristal. Hal ini kemudian dikenal dengan Hukum Ketetapan Sudut Bidang Dua (120°) atau Hukum Steno.

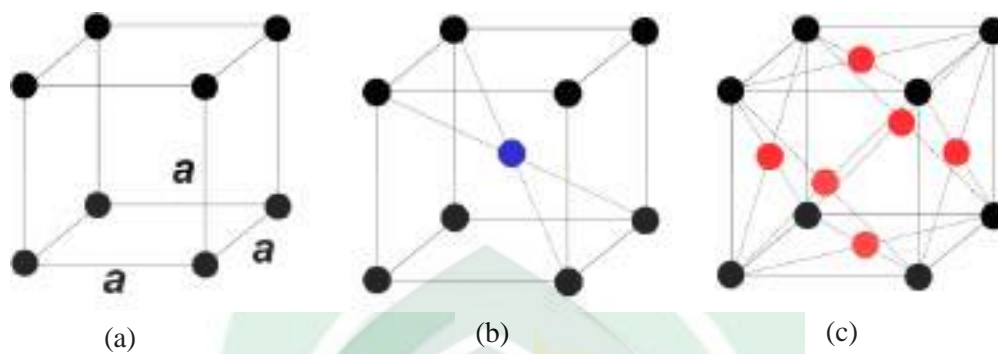
c) Sistem kristalografi

Pengelompokan sistem kristal didasarkan pada panjang, letak (posisi), jumlah dan nilai sumbu tegaknya. Pada umumnya, pengelompokan kristal didasarkan pada bentuk kristal yang dibedakan dari sifat-sifat simetrisnya (bidang dan sumbu simetri), terbagi menjadi 7 sistem, yaitu: Isometrik, Tetragonal, Hexagonal, Trigonal, Orthorombik, Monoklin dan Triklin (Suryanarayana dan Norton, 1998).

1) Sistem Isometrik

Sistem isometrik atau sistem kristal kubus/kubik, memiliki jumlah sumbu kristal sebanyak 3 dan saling tegak lurus, juga memiliki panjang yang sama untuk masing-masing sumbunya. Sistem kristal ini memiliki axial ratio yang sama, artinya memiliki perbandingan sumbu $a = b = c$ yang panjang sumbunya sama dengan sudut kristalografi $\alpha = \beta = \gamma = 90^\circ$. Sistem isometric dapat dibagi kedalam 3 bentuk, yaitu: a) kubus sederhana, terdapat satu atom pada semua sudut kubus; b) kubus BCC, terdapat satu atom pada pusat kubus dan satu atom pada pusat

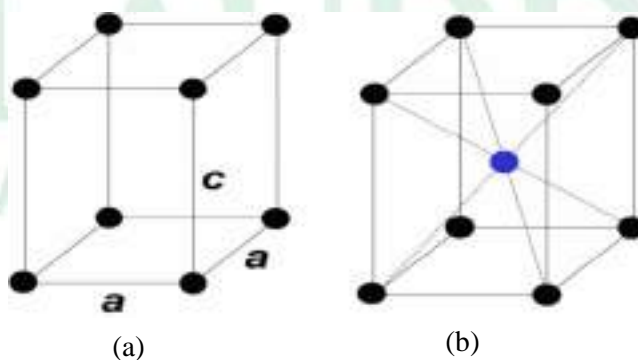
kubus; c) kubus FCC, terdapat masing-masing satu atom pada semua pojok kubus dan terdapat atom pada diagonal masing-masing sisi kubus.



Gambar II.4. (a) kubus sederhana, (b) Kubus BCC, (c) Kubus FCC.

2) Sistem Tetragonal

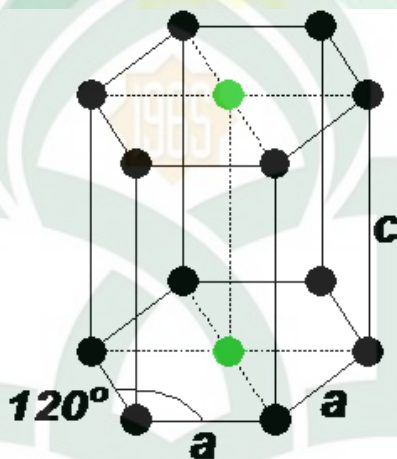
Sistem Tetragonal mempunyai 3 sumbu kristal yang masing-masing saling tegak lurus. Sumbu a dan b mempunyai satuan panjang sama. Sedangkan sumbu c berlainan, bisa lebih panjang atau lebih pendek, tapi pada umumnya lebih panjang. Sistem ini memiliki axial ratio (perbandingan sumbu) $a = b \neq c$, dengan sudut kristalografi $\alpha = \beta = \gamma = 90^\circ$. Pada sistem tetragonal ini memiliki 2 bentuk yaitu: a) sederhana, terdapat satu atom pada semua sudut (pojok) tetragonalnya dan b) berpusat badan, yaitu memiliki 1 atom pada pusat tetragonal dan atom lainnya berada pada pojok (sudut) tetragonal tersebut.



Gambar II.5. (a) sederhana, (b) berpusat badan

3) Sistem Hexagonal

Sistem hexagonal mempunyai 4 sumbu kristal, dimana salah satu sumbunya tegak lurus terhadap ketiga sumbu lainnya. Sistem kristal ini memiliki axial ratio (perbandingan sumbu) $a = b \neq c$, dengan sudut kristalografi $\alpha = \beta = 90^\circ$ dan $\gamma = 120^\circ$. Pada sistem hexagonal, semua atom berada pada sudut-sudut (pojok) hexagonal dan terdapat masing-masing atom berpusat muka pada dua sisi hexagonal.



Gambar II.6. Sistem Kristal Hexagonal

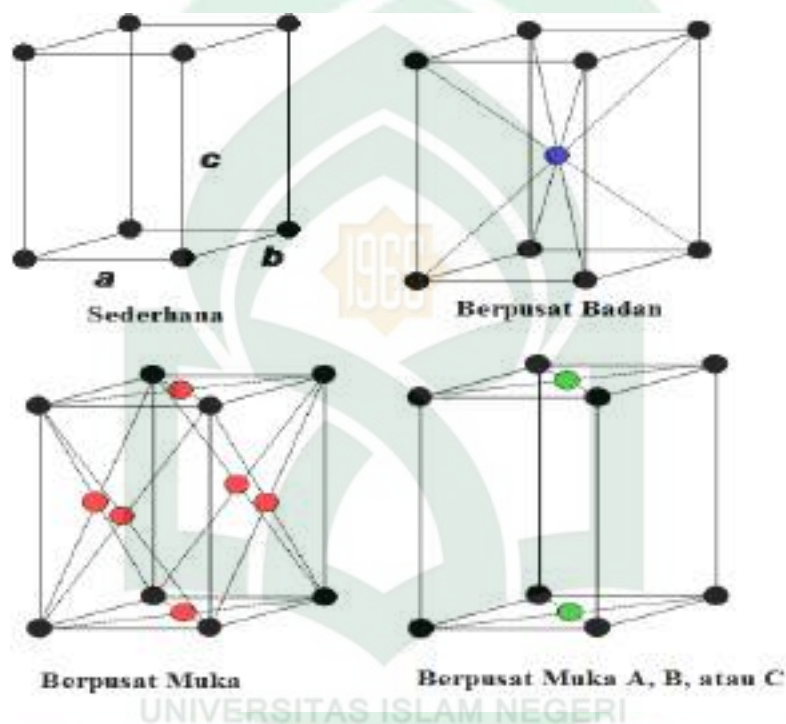
4) Sistem Trigonal

Sistem trigonal atau dikenal dengan nama lain Rhombohedral memiliki axial ratio (perbandingan sumbu) $a = b = c \neq d$, yang artinya panjang sumbu a sama dengan sumbu b dan sama dengan sumbu c, tapi tidak sama dengan sumbu d. Sistem ini memiliki sudut kristalografi $\alpha = \beta = 90^\circ$; $\gamma = 120^\circ$.

5) Sistem Orthorhombik

Sistem orthorhombik disebut juga sistem rhombis dan mempunyai 3 sumbu kristal yang saling tegak lurus dengan panjang sumbu yang berbeda.

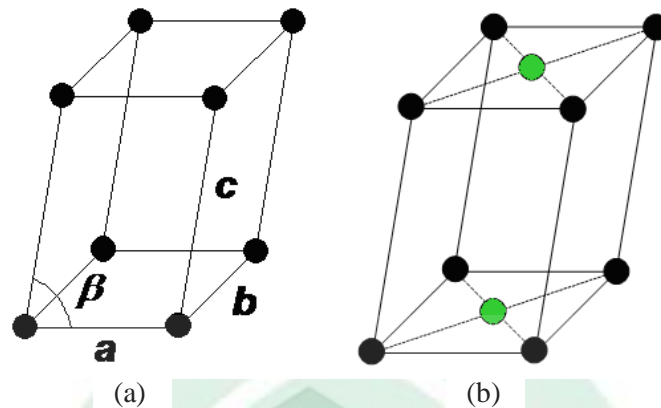
Sistem kristal ini memiliki axial ratio (perbandingan sumbu) $a \neq b \neq c$, yang artinya panjang sumbu-sumbunya tidak ada yang sama panjang dan juga memiliki sudut kristalografi $\alpha = \beta = \gamma = 90^\circ$. Sistem orthorhombik terdiri atas 4 bentuk, yaitu: 1) orthorhombik sederhana, 2) orthorhombik body center (berpusat badan), 3) orthorhombik berpusat muka dan 4) berpusat muka pada dua sisi ortorombik.



Gambar II.7: Sistem Kristal Orthorhombik

6) Sistem Monoklin

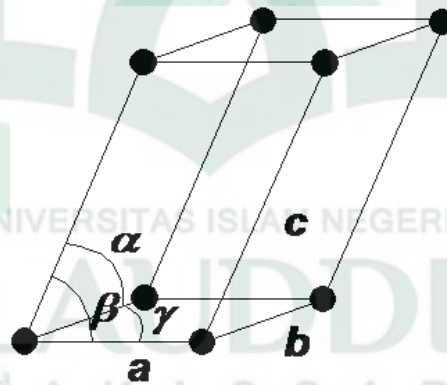
Sistem monoklin memiliki satu sumbu miring dari tiga sumbu yang lainnya. Sistem monoklin memiliki axial ratio (perbandingan sumbu) $a \neq b \neq c$, yang artinya panjang sumbu-sumbunya tidak ada yang sama panjang, dengan sudut kristalografi $\alpha = \beta = 90^\circ \neq \gamma$. Sistem kristal ini terdiri atas 2 bentuk, yaitu monoklin sederhana dan berpusat muka pada dua sisi monoklin.



Gambar II.8. (a) monoklin sederhana,
(b) monoklin berpusat badan

7) Sistem Triklin

Sistem triklin memiliki axial ratio (perbandingan sumbu) $a \neq b \neq c$, yang artinya panjang sumbu-sumbunya tidak ada yang sama panjang dan memiliki sudut kristalografi $\alpha = \beta \neq \gamma \neq 90^\circ$.

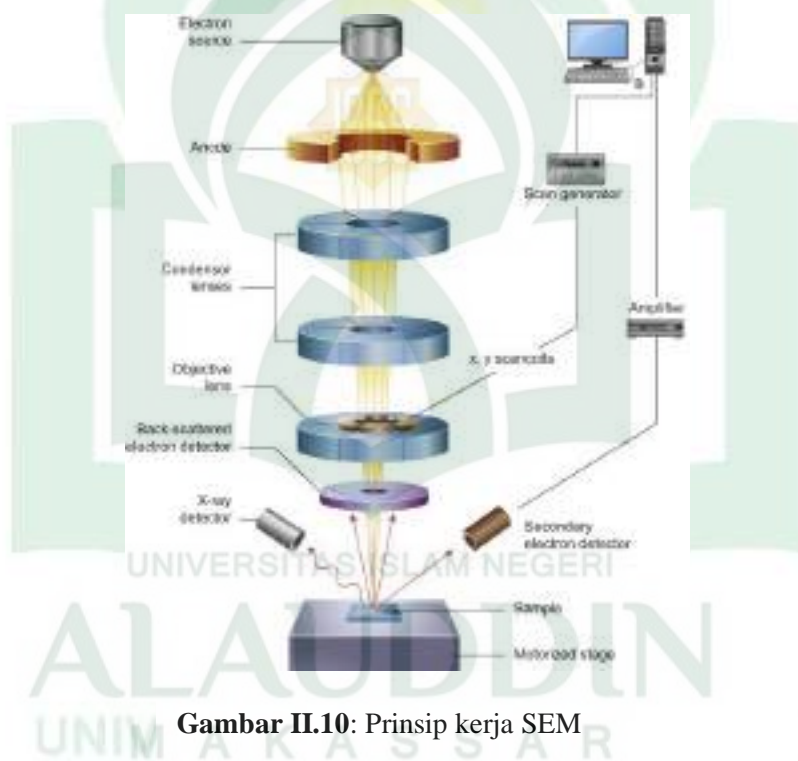


Gambar II.9. Sistem kristal Triklin

2. Scanning Electron Microscopy (SEM)

Scanning Electron Microscopy (SEM) merupakan salah satu instrument serbaguna untuk pemeriksaan dan analisis morfologi mikro dan karakterisasi komposisi kimia (Zhou *et al.*, 2005). Dengan adanya resolusi lateral yang tinggi, tingkat focus yang bagus dan dilengkapi dengan fasilitas microanalysis X-Ray,

sehingga SEM banyak digunakan untuk pengujian material science –termasuk material polimer- untuk melihat struktur mikroskopi dan perbedaan fasa yang muncul (Michler, 2008). Penerapan pengujian menggunakan SEM telah dilakukan pada banyak percobaan, baik untuk mengetahui morfologi bahan elektroda dan elektrolit (Choi *et al.*, 2007) maupun separator (Masaki, Ralph J. dan Akiya, 2009). Melalui pengujian SEM dapat diketahui persebaran unsur pada bahan/senyawa yang telah dibuat.

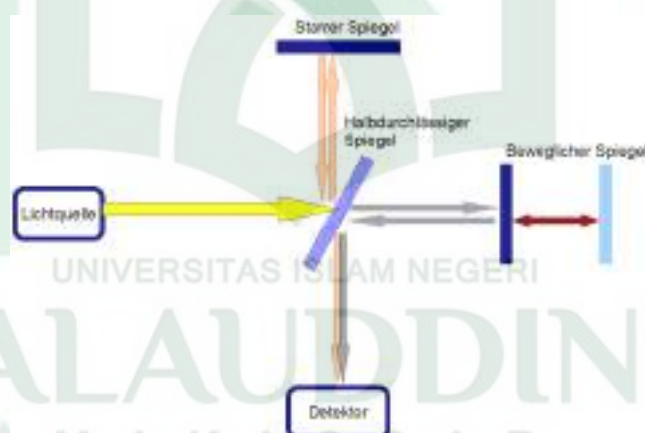


Scanning Electron Microscopy (SEM) juga dapat dikombinasikan dengan teknik analisis termal untuk mengetahui berbagai jenis bahan konstruksi organik maupun anorganik. Dengan analisa tersebut dapat diperoleh informasi berupa: karakterisasi, identifikasi senyawa, kinetika reaksi, mekanisme, sintesis senyawa, dan kontrol kualitas bahan baku (Ramachandran *et al.*, 2002). Prinsip kerja SEM

didasarkan pada eksperimen Knoll's dan ide von Ardenne's untuk sebuah probe transmisi mikroskop (Michler, 2008).

3. *Fourier Transform Infrared (FTIR)*

Fourier Transform InfraRed (FTIR) merupakan metode spektroskopi inframerah yang baik. Dalam proses kerjanya, radiasi inframerah dilewatkan melalui sampel. Beberapa radiasi inframerah diserap oleh sampel dan sebagian dilewatkan (ditransmisikan). Spektrum yang dihasilkan mewakili penyerapan dan transmisi molekuler, menciptakan sidik jari molekuler sampel (Nicolet, 2001). Arus instrumen *Infrared* yang digerakkan oleh komputer dan mudah digunakan membuatnya sangat mudah melakukan analisis spektra infra merah pada sampel (Derrick, Stulik dan Landry, 1999).



Gambar II.11: Prinsip kerja FTIR

Sumber: <https://wissen.science-and-fun.de/kurse/grundlagen-der-ir-spektroskopie/aufnahme-von-ir-spektren/ir-prakt2a/>

Berdasarkan pengujian FTIR, sinyal yang lebih realistis adalah gelombang yang tereksitasi berbentuk persegi panjang. Dalam prosesnya, gelombang akan mengenai sampel, kemudian sampel akan memberikan respon sehingga dapat memberikan informasi berupa sifat fisik dari sampel (Brunschwig *et al.*, 2014).

BAB III

METODE PENELITIAN

A. Waktu dan Tempat

Penelitian ini dilakukan pada bulan Agustus – November 2018, bertempat di Pusat Penelitian Fisika – Lembaga Ilmu Pengetahuan Indonesia (P2F – LIPI), Kawasan PUSPITEK, Serpong, Tangerang Selatan.

B. Alat dan Bahan

1. Alat Penelitian

Alat-alat yang digunakan dalam penelitian ini yaitu :

- a) *Cawang Plastik*, berfungsi sebagai tempat untuk menaruh sampel saat ditimbang
- b) *Spatula stainless*, berfungsi untuk mengambil bahan serbuk agar mudah ditakar.
- c) *Neraca digital AND OR-200*, berfungsi untuk menimbang bahan-bahan yang akan dijadikan sampel (campuran).
- d) *Mortar*, berfungsi untuk mengerus bahan secara merata dan halus.
- e) *Crucible*, berfungsi sebagai wadah tempat sampel dipanaskan yang memiliki titik leleh lebih dari 1000 °C.
- f) *Furnace*, berfungsi sebagai tempat pembakaran/sintering pada pembuatan sampel yang dilengkapi dengan logika listrik.

- g) *Dessicator Vacuum*, berfungsi sebagai tempat untuk menyimpan sampel dengan pengaturan suhu tertentu.
- h) *X-Ray Diffractometer (XRD)*, berfungsi untuk mengetahui struktur fasa yang terbentuk dari sampel.
- i) *Fourier Transform InfraRed (FTIR)*, berfungsi untuk mengetahui gugus fungsi yang terbentuk dari sampel uji
- j) *Scanning Electron Microscope (SEM)*, berfungsi untuk mengetahui struktur morfologi atau permukaan sampel.
- k) *Electrochemical Impedance Spectroscopy (EIS)*, berfungsi untuk mengetahui nilai konduktivitas listrik pada cell baterai.
- l) *Battery Cyclor System*, berfungsi untuk mengetahui struktur elektrokimia pada baterai.
- m) *Glove Box - Galvanostat VoltaLab PGZ 301*, berfungsi sebagai tempat menyimpan dan mereaksikan bahan yang berbahaya terhadap pernapasan manusia.
- n) *Hot Plate IKA C-MAG HS-4* dan *Magnet Stirrer*, berfungsi untuk proses pencampuran sampel (mixing) dengan suhu dan kecepatan yang ditentukan.
- o) *Pipet tetes*, berfungsi sebagai alat pemindah suatu larutan ke wadah lainnya.
- p) *Gelas Beaker*, berfungsi sebagai tempat pencampuran bahan dengan pelarut.
- q) *Crimping Machine MSK-110*, berfungsi untuk menekan dan merapatkan casing coin cell.

2. Bahan Penelitian

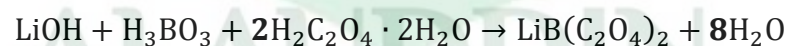
Bahan yang digunakan dalam penelitian ini yaitu :

- a) *Lithium Hidroxide* (LiOH)
- b) *Oxalic Acid* ($\text{H}_2\text{C}_2\text{O}_4 \cdot 2\text{H}_2\text{O}$)
- c) *Borid Acid* (H_3BO_3)
- d) *Magnesium Chloride Hexahydrate* ($\text{MgCl}_2 \cdot 6\text{H}_2\text{O}$)
- e) *Lithium Metalic*, sebagai bahan elektroda *coin cell* (setengah cell).
- f) *Casing coin cell*, sebagai bahan untuk *assembling coin cell*.

C. Prosedur Penelitian

1. Preparasi Sampel

Bahan baku yang digunakan untuk pembuatan LiBOB yaitu *Lithium Hidroxide* (LiOH), *Oxalic Acid* ($\text{H}_2\text{C}_2\text{O}_4 \cdot 2\text{H}_2\text{O}$) dan *Borid Acid* (H_3BO_3) (Yu *et al.*, 2007). Untuk menentukan komposisi masing-masing bahan, maka dilakukan berdasarkan perbandingan Stoikiometri (perbandingan molaritas). Sehingga reaksi kimia menjadi :



Sementara bahan alam yang menjadi impurity (karena ketersediaannya di Alam dan berdasarkan kandungan hasil ekstraksi) yaitu *Magnesium Chloride* (MgCl_2) yang ditemukan dalam kandungan bahan baku Lithium (Sulistiyono *et al.*, 2018). Dalam penelitian ini, bahan kimia yang digunakan adalah *Magnesium Chloride Hexahydrate* ($\text{MgCl}_2 \cdot 6\text{H}_2\text{O}$) bahan *Pure Analysis* Produk Merek, Jerman. Massa $\text{MgCl}_2 \cdot 6\text{H}_2\text{O}$ ditentukan berturut-turut dari 0%, 2,5%, 5% dan

7,5% dari massa LiOH yang digunakan. Sehingga massa masing-masing bahan baku pembuatan LiBOB sesuai pada tabel 1 (lampiran).



Gambar III.1. Penimbangan bahan guna untuk preparasi sampel

Bahan-bahan yang telah ditimbang menggunakan neraca digital, selanjutnya di gerus menggunakan mortar hingga bahan-bahan tersebut tercampur merata (homogen). Penggerusan dilakukan secara konstan dan pada ruang asam dengan lama penggerusan sekitar 30 - 60 menit, hingga sampel menjadi halus dan terlihat perubahan warna (putih).

2. Kalsinasi dan Sintering

Sampel yang telah tercampur secara homogen, selanjutnya dimasukkan ke dalam *Crucible* untuk kemudian dipanaskan di dalam *Furnace*. Temperatur ditentukan berdasarkan hasil DTA/TGA penelitian sebelumnya, yaitu untuk kalsinasi sampel diatur pada temperatur 120 °C dengan penahanan selama 4 jam, sementara untuk proses sintering diatur pada temperature 250 °C dengan penahanan selama 7 jam.

3. Pengujian Struktur Fasa dan Kristal

Untuk mengetahui struktur fasa dari sampel dilakukan pengujian menggunakan *X-Ray Diffractometer* (XRD). XRD yang digunakan adalah merek

Rigaku produk SmartLab. Serbuk sampel yang ada selanjutnya diletakkan secara merata ke dalam *spacing holder*. Setelah itu, sampel dan *spacing holder* dimasukkan ke dalam XRD yang menggunakan Slit BB (Bragg-Brentano focusing) dan slit dengan ketebalan nomor 10. Range fasa karakterisasi diatur pada rentang 10° - 90° . Setiap sampel membutuhkan waktu proses karakterisasi selama kurang lebih 47 menit.

4. Pengujian Morfologi

Sampel diletakkan diatas cawang stainless dengan melekatkannya menggunakan *Carbon Tape*. Cawang yang berisikan sampel dimasukkan ke dalam *Scanning Electron Microscope* (SEM). Alat SEM yang digunakan adalah produk HITACHI dengan seri SU3500. Untuk penampakan morfoigi sampel yaitu pada perbesaran 1000x, 2500x, 5000x dan 10000x.

5. Pengujian Gugus Fungsi

Untuk mengetahui gugus fungsi sampel dilakukan pengujian menggunakan *Fourier Transform InfraRed* (FTIR). Sampel LiBOB dicampurkan dengan *Kalium Bromida* (KBr) dengan perbandingan 1:20, kemudian diletakkan ke dalam *sample holder* untuk membuat pelet (transparan).

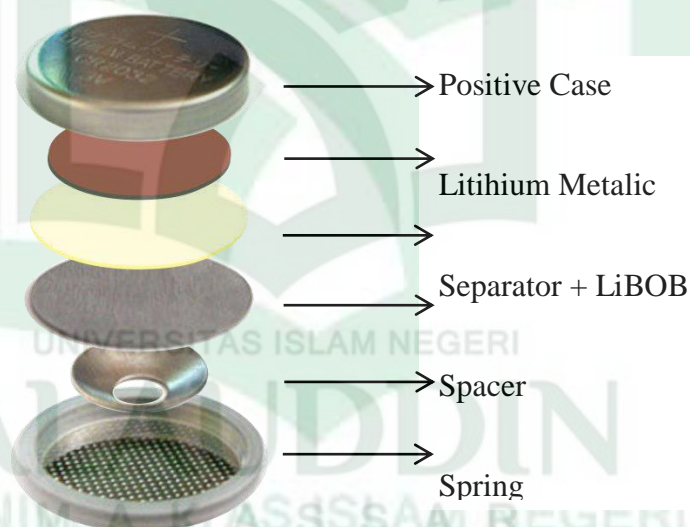
6. Pembuatan Elektolit Cair

LiBOB dalam bentuk serbuk dilarutkan dalam pelarut *Ethylen Carbonate* (EC) dan *Ethyl Methyl Carbonate* (EMC). Perbandingan komposisi pelarut EC:EMC adalah 3:7 volume (v/v). Kemudian pelarut EC:EMC diaduk (*stirrer*) menggunakan *Hot Plate* dengan kecepatan 280 rpm pada temperatur 50°C .

Sementara untuk komposisi LiBOB banding pelarut yaitu 1:1 (v/v) yang diaduk pada kecepatan 280 rpm dan temperatur 40 °C.

7. Pembuatan Coin Cell

Komponen penyusun *coil cell* didasarkan pada eksperimen oleh Faisal Chowdury, dkk., yaitu terdiri dari bahan Lithium/Polimer Elektrolit/*Spaces Stainless* (Chowdhury et al., 2017). Sehingga pada penelitian ini dibuat koin setengah *cell* dengan susunan Lithium Metalik/Separator + LiBOB + impuritas/*Spaces Stainless* (lihat **gambar III.2.**). Komponen tersebut kemudian dimasukkan dalam *casing body cell battery* dan dirapatkan dengan tekanan tertentu menggunakan *Crimping Machine MSK-110*.



Gambar III.2 : Susunan Komponen *Coin Cell*

D. Diagram Alir Penelitian

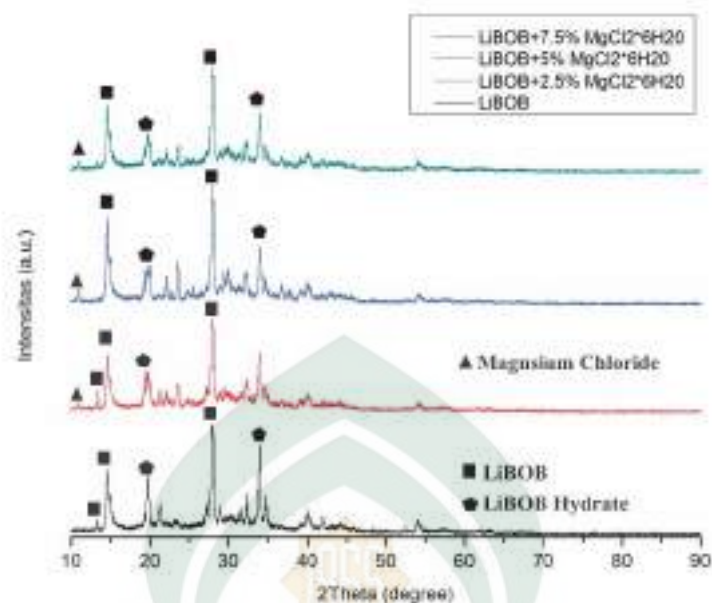
BAB IV

HASIL DAN PEMBAHASAN

A. Analisa X-Ray Diffraction (XRD)

Sampel yang telah diberi perlakuan heat treatment pada suhu 120°C dan 250°C, kemudian dilakukan pengujian X-Ray Diffraction (XRD) untuk mengidentifikasi fasa yang terbentuk pada sampel. Prinsip kerja XRD yaitu dengan menembakkan sinar-X pada sampel dengan sudut tertentu, sehingga sinar yang mengenai sampel akan membentuk pola difraksi sesuai dengan atom-atom penyusun sampel. Identifikasi fasa dilakukan dengan menggunakan XRD merek Rigaku produk dari SmartLab, menggunakan software analisa PDXL dengan sumber cahaya Cu-K α , dan menggunakan scan range 10° - 90°. Pengujian yang dilakukan pada penelitian ini yaitu menembakkan sinar-X pada sampel LiBOB. Sampel LiBOB dibedakan menjadi 4 yaitu: LiBOB + 0% MgCl $_2$ •6H $_2$ O, LiBOB + 2,5% MgCl $_2$ •6H $_2$ O, LiBOB + 5% MgCl $_2$ •6H $_2$ O dan LiBOB + 7,5% MgCl $_2$ •6H $_2$ O.

Proses identifikasi fasa yang diduga sebagai struktur LiBOB secara kualitatif dilakukan menggunakan software Highscore dengan pencocokan posisi-posisi puncak yang terukur dengan database dalam bentuk PDF. Pada gambar 4.1 dapat diamati bahwa hasil sintesis material aktif garam elektrolit LiBOB/MgCl $_2$ telah berhasil dilakukan. Keempat pola difraksi tersebut menunjukkan terbentuknya fasa LiBOB berdasarkan database [PDF 00-062-0917] dan LiBOB Hidrate berdasarkan database [PDF 01-073-9447].



Grafik IV.1: Diagram fasa sampel hasil karakterisasi XRD

Keterangan dari grafik pola difraksi pada **gambar IV.1** dijelaskan menggunakan Tabel 1 – Tabel 4 pada saat 2 theta terhadap fasa yang terbentuk dan nilai bidang hkl pada lembaran elektrolit komposit.

Tabel IV.1: Data *X-Ray Diffraction* (XRD) untuk sampel komposit LiBOB dengan 0% MgCl_2

No	2θ	d(Å)	Fasa	Hkl	PDF Card No
1	13.367	6.619	LiBOB	011	00-062-0917
2	14.586	6.068	LiBOB	011	00-062-0917
3	19.859	4.467	LiBOB Hydrate	021	01-073-9447
4	27.959	3.278	LiBOB	022	00-062-0917
5	33.887	2.643	LiBOB Hydrate	250	01-073-9447

Tabel IV.2: Data *X-Ray Diffraction* untuk sampel komposit LiBOB dengan 2,5% MgCl_2

No	2θ	d(Å)	Fasa	Hkl	PDF Card No
1	11.04	8.01	LiMgCl	001	00-033-0823

2	13.456	6.575	LiBOB	011	00-062-0917
3	14.634	6.048	LiBOB	011	00-062-0917
4	19.834	4.473	LiBOB Hydrate	021	01-073-9447
5	27.958	3.188	LiBOB	022	00-062-0917
6	33.880	2.643	LiBOB Hydrate	250	01-073-9447

Tabel IV.3: Data *X-Ray Diffraction* untuk sampel komposit LiBOB dengan 5% $MgCl_2$

No	2 θ	d(\AA)	Fasa	Hkl	PDF Card No
1	11.01	8.027	LiMgCl	001	00-033-0823
2	14.641	6.045	LiBOB	011	00-062-0917
3	19.300	4.595	LiBOB Hydrate	021	01-073-9447
4	19.806	4.479	LiBOB Hydrate	021	01-073-9447
5	28.011	3.182	LiBOB	022	00-062-0917
6	33.929	2.640	LiBOB Hydrate	250	01-073-9447

Tabel IV.4: Data *X-Ray Diffraction* untuk sampel komposit elektrolit PVdF-LiBOB dengan bahan aditif $MgCl_2$ 7,5%.

No	2 θ	d(\AA)	Fasa	Hkl	PDF Card No
1	11.07	7.989	LiMgCl	001	00-033-0823
2	14.610	6.058	LiBOB	011	00-062-0917
3	19.897	4.458	LiBOB Hydrate	021	01-073-9447
4	27.982	3.186	LiBOB	022	00-062-0917
5	33.927	2.640	LiBOB Hydrate	250	01-073-9447

Dari grafik dan data elektrolit komposit di atas diketahui dengan penambahan massa $MgCl_2$ akan terjadi perubahan intensitas puncak difraksi karena logam $MgCl_2$ bersifat konduktif. Dari keempat sampel yang telah diuji menggunakan XRD, sampel pertama terlihat pada sudut 2-theta 13.367° . Pada sampel B - sampel D terlihat pada sudut 2-theta $11.01^\circ - 33.927^\circ$ intensitas

puncak difraksi semakin meningkat karena penambahan MgCl_2 serta munculnya fasa baru *lithium magnesium chloride* (LiMgCl) dengan intensitas yang tidak terlalu besar. Berdasarkan pola difraksi grafik IV.1., diamati bahwa fasa yang terbentuk dengan penambahan MgCl_2 memiliki fasa yang sama dengan fasa LiBOB yang dikarakterisasi oleh Wigayati (2015). Penambahan MgCl_2 tidak mempengaruhi struktur olivine LiBOB, namun menyebabkan terjadinya pergeseran posisi puncak difraksi ke arah kanan. Perubahan puncak (peak) pada masing-masing sampel dikarenakan adanya penambahan MgCl_2 yang menyatu dengan bahan lain yang ditangkap oleh detektor XRD.

Pada sampel A (0% MgCl_2), fasa LiBOB terdeteksi dengan ditemukannya nilai *three strongest line* $d = 6.619 \text{ \AA}$, $d = 6.068 \text{ \AA}$ dan $d = 3.278 \text{ \AA}$ yang cocok dengan standar database LiBOB pada nomor PDF 00-062-0917. Sementara fasa LiBOB Hidrate terdeteksi dengan ditemukannya nilai *three strongest line* $d = 4.467 \text{ \AA}$ dan $d = 2.643 \text{ \AA}$ yang cocok dengan standar database LiBOB Hydrate pada nomor PDF 01-073-9447.

Pada sampel B (2,5% MgCl_2), fasa LiBOB terdeteksi dengan ditemukannya nilai *three strongest line* $d = 6.575 \text{ \AA}$, $d = 6.048 \text{ \AA}$ dan $d = 3.188 \text{ \AA}$ yang cocok dengan standar database LiBOB pada nomor PDF 00-062-0917. Sementara fasa LiBOB Hidrate terdeteksi dengan ditemukannya nilai *three strongest line* $d = 4.473 \text{ \AA}$ dan $d = 2.643 \text{ \AA}$ yang cocok dengan standar database LiBOB Hydrate pada nomor PDF 01-073-9447. Pada sampel terdeteksi fasa MgCl dengan ditemukannya nilai *three strongest line* $d = 8.01 \text{ \AA}$ yang cocok dengan standar database *lithium magnesium chloride* pada nomor PDF 00-036-0690.

Pada sampel C (5% MgCl_2), fasa LiMgCl terdeteksi dengan ditemukannya nilai *three strongest line* $d = 8.027 \text{ \AA}$ yang cocok dengan standar database *magnesium chloride* pada nomor PDF 00-036-0690. Fasa LiBOB terdeteksi dengan ditemukannya nilai *three strongest line* $d = 6.045 \text{ \AA}$ dan $d = 3.182 \text{ \AA}$ yang cocok dengan standar database LiBOB pada nomor PDF 00-062-0917. Sementara fasa LiBOB Hidrate terdeteksi dengan ditemukannya nilai *three strongest line* $d = 4.595 \text{ \AA}$, $d = 4.479 \text{ \AA}$ dan $d = 2.640 \text{ \AA}$ yang cocok dengan standar database LiBOB Hydrate pada nomor PDF 01-073-9447.

Pada sampel D (7,5% MgCl_2), fasa LiMgCl terdeteksi dengan ditemukannya nilai *three strongest line* $d = 7.989 \text{ \AA}$ yang cocok dengan standar database *magnesium chloride* pada nomor PDF 00-036-0690. Fasa LiBOB terdeteksi dengan ditemukannya nilai *three strongest line* $d = 6.058 \text{ \AA}$ dan $d = 3.186 \text{ \AA}$ yang cocok dengan standar database LiBOB pada nomor PDF 00-062-0917. Sementara fasa LiBOB Hidrate terdeteksi dengan ditemukannya nilai *three strongest line* $d = 4.458 \text{ \AA}$ dan $d = 2.640 \text{ \AA}$ yang cocok dengan standar database LiBOB Hydrate pada nomor PDF 01-073-9447.

Dengan penambahan massa MgCl_2 yang semakin besar, sehingga perubahan intensitas semakin besar dan menghasilkan fasa-fasa yang memiliki ukuran kristalit yang teridentifikasi seperti pada Tabel 5 – Tabel 8 berikut;;

Tabel IV.5: Fasa yang terbentuk dan ukuran kristalinitnya pada sampel A

No	2θ	I (cps deg)	Ukuran Kristalit (Å)
1	13.367	44	13
2	14.586	838	17
3	19.859	250	357

4	27.959	945	363
5	33.887	632	496

Tabel IV.6: Fasa yang terbentuk dan ukuran kristalitnya pada sampel B (MgCl_2 2,5%).

No	2θ	I (cps deg)	Ukuran Kristalit (Å)
1	11.04	45	73
2	13.456	65	303
3	14.634	427	354
4	19.834	497	523
5	27.958	888	531
6	33.880	567	632

Tabel IV.7: Fasa yang terbentuk dan ukuran kristalitnya pada sampel C (MgCl_2 5%).

No	2θ	I (cps deg)	Ukuran Kristalit (Å)
1	11.01	88	73
2	14.641	759	303
3	19.300	92	522
4	19.806	292	523
5	28.011	829	531
6	33.929	464	632

Tabel IV.8: Fasa yang terbentuk dan ukuran kristalitnya pada sampel D (MgCl_2 7,5%).

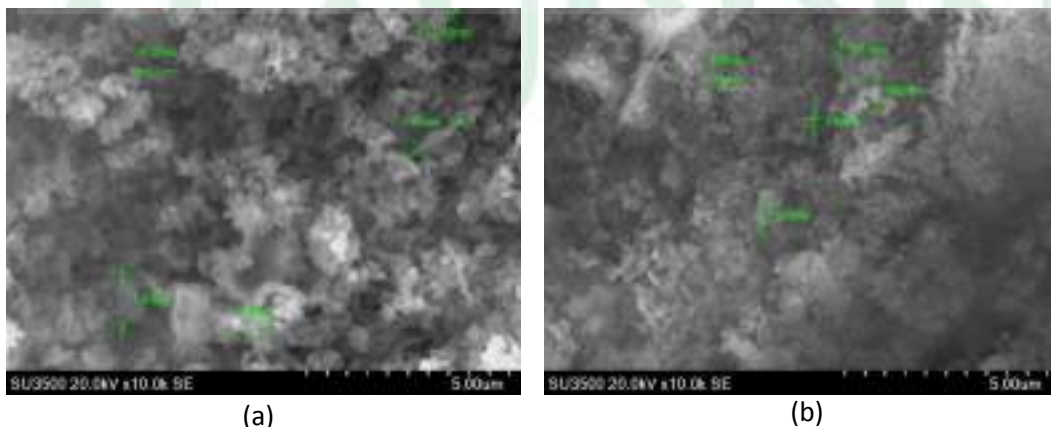
No	2θ	I (cps deg)	Ukuran Kristalit
1	11.07	82	73
2	14.610	778	303
3	19.897	346	522
4	27.982	1011	531
5	33.927	608	632

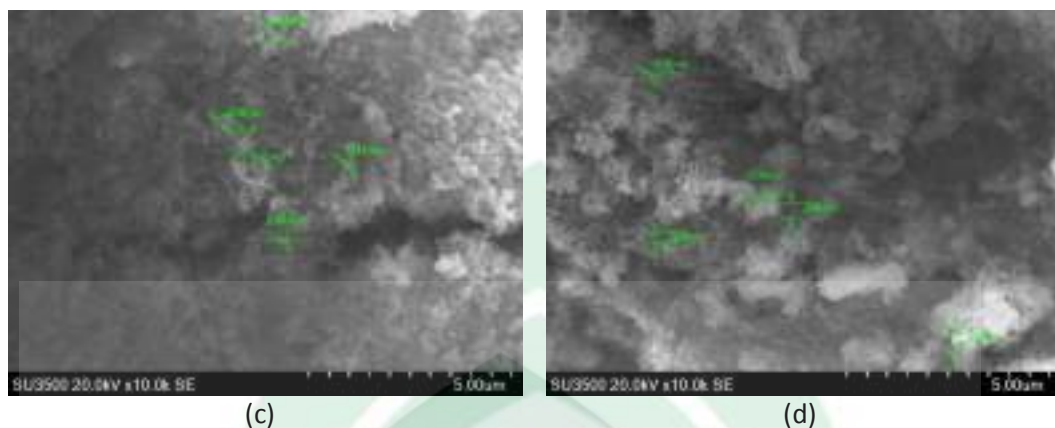
Perubahan puncak (peak) pada sampel 2 – sampel 4 dikarenakan adanya penambahan $MgCl_2$ yang meningkatkan intensitas sinar-x yang ditangkap oleh detektor XRD. Puncak-puncak yang terbentuk dari masing-masing sampel mengidentifikasi fasa-fasa yang terkandung pada sampel. Kaitan dari perubahan intensitas sinar-x terjadi akibat penambahan $MgCl_2$ yaitu semakin besar penambahan $MgCl_2$ maka semakin besar intensitas sinar-x tersebut. Dan juga semakin kecil ukuran Kristal pada sampel menandakan tingkat ke kristalan material yang terkandung semakin tinggi dan rapat.

Hasil identifikasi menggunakan software Highscore juga terdeteksi fasa LiBOB dan LiBOB Hydrate dengan sistem kristal *orthorhombic*. Dari hasil identifikasi tersebut diperoleh nilai sudut kristalografi $\alpha = \beta = \gamma = 90^\circ$. untuk fasa LiBOB memiliki *space group* 62: Pnma, sementara untuk fasa LiBOB Hydrate memiliki *space group* 61 : Pbca (Wigayati dan R. I. Purawardi, 2015).

B. Analisa Scanning Electron Microscope

Pengamatan morfologi dan distribusi partikel pada permukaan lembaran sampel dilakukan karakterisasi *Scanning Electron Microscopy* (SEM). Pengambilan gambar dilakukan dengan perbesaran 1000x – 10.000x perbesaran. Hasil karakterisasi morfologi komposit LiBOB/ $MgCl_2$ sebagai berikut:





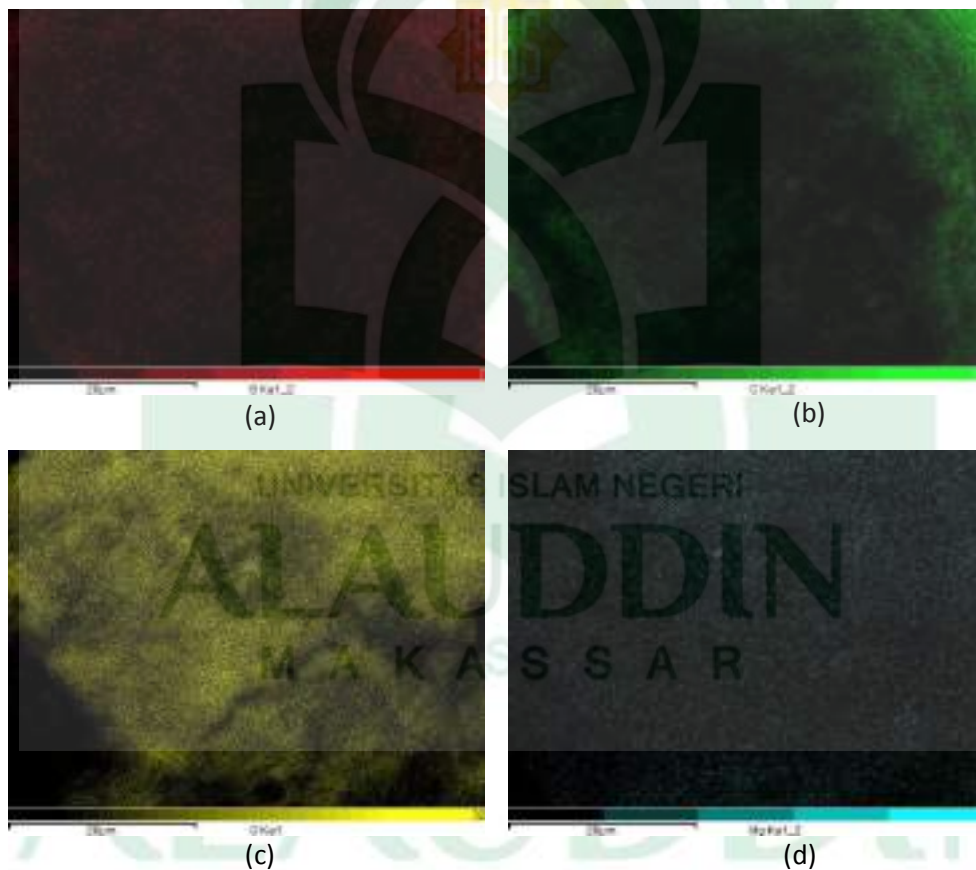
Gambar IV.1: Struktur morfologi LiBOB/MgCl₂ dengan perbesaran 10.000x, (a) 0% MgCl₂, (b) 2,5% MgCl₂, (c) 5% MgCl₂ dan (d) 7,5% MgCl₂, dilengkapi dengan panjang rata-rata ukuran partikel LiBOB.

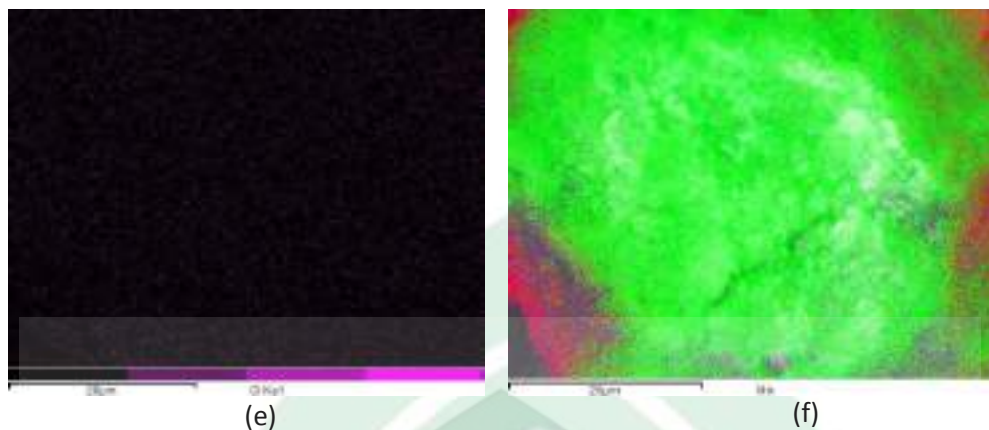
Pada **gambar IV.1** dengan perbesaran 10000 kali dapat diamati ukuran butir yang beraturan dan poros-poros yang dimiliki pada struktur LiBOB pada umumnya.. Pada gambar IV.1(a) komposit LiBOB memiliki ukuran butir yang tidak homogen namun tetap tersebar merata. Sedangkan, pada gambar (b) sampai (d) untuk sampel LiBOB dengan variasi penambahan MgCl₂ memiliki ukuran butir yang lebih kecil dibandingkan sampel A. Namun demikian, pada sampel B,C dan D tidak terbentuk banyak poros yang penampakan permukaannya. . Selain itu, juga ada beberapa spot yang terjadi aglomerasi dikarenakan magnesium (Mg) yang bersifat konduktif. Butir-butir yang beraglomerasi dapat mengakibatkan menurunnya kapasitas baterai.

Gambar diatas juga menunjukkan penampakan pori pada sampel LiBOB/MgCl. Sampel A terlihat banyak pori yang muncul dibandingkan sampel B, C dan D yang penyebaran partikelnya lebih rapat, sehingga pori yang muncul semakin kecil. Walau demikian, pada sampel C terlihat celah yang cukup lebar dibandingkan sampel lainnya. Dengan mengecilnya diameter pori ini

menunjukkan jumlah pori dari setiap perbandingan semakin banyak dan kerapatan pori juga semakin tinggi. Kerapatan pori tinggi maka menunjukkan jumlah pori yang terbentuk banyak dengan surface area yang luas (Arifin dan Zainuri, 2014).

Untuk mengetahui persebaran bahan pada setiap sampel, dilakukan pengujian SEM-EDX. Pengujian memberikan informasi mengenai banyak komposisi bahan tiap sampel yang ditinjau dari struktur permukaan atau morfologinya.





Gambar IV.2: Hasil analisa SEM-EDX sampel LiBOB dengan 2,5% MgCl_2 (a) persebaran Boron, (b) persebaran Carbon, (c) persebaran Oksigen, (d) persebaran Magnesium, (e) persebaran Clorin dan (f) penampakan gabungan persebaran seluruh bahan.

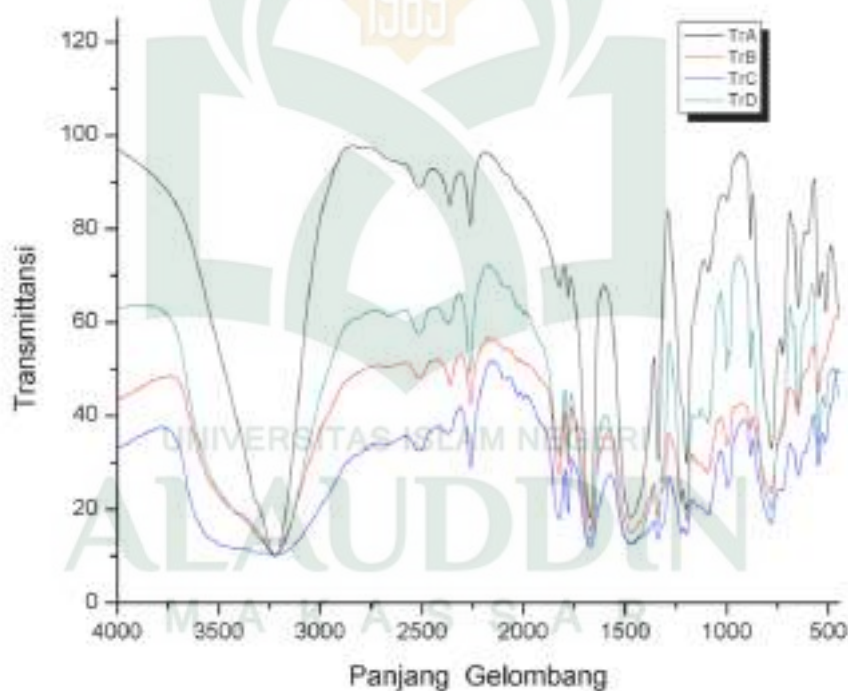
Pada gambar IV.2 diatas, dapat dilihat persebaran Boron (B), Magnesium (Mg) dan Clorin (Cl) tersebar merata pada penampakan permukaan sampel. Sedangkan partikel Carbon (C) dan oksigen (O) terjadi penggumpalan pada beberapa titik tertentu. Hal ini juga terjadi pada sampel C dan D yang masing-masing dengan penambahan 5% dan 7,5% MgCl_2 . Adanya aglomerasi pada sampel, dapat menyebabkan difusi ion yang dapat menurunkan kaspitas baterai ion lithium.

Jika dibandingkan dengan pengaruh penyebaran *magnesium* dan *chlorin*, terlihat bahwa Mg dan Cl mampu tersebar dengan baik secara merata dan berhasil untuk bercampur dengan unsur LiBOB pada umumnya. Dengan persebaran merata unsur *magnesium* ini menyebabkan difusi ion lithium pada LiBOB/ MgCl_2 akan lebih cepat, sehingga mampu untuk meningkatkan kapasitas baterai lithium yang dihasilkan.

C. Analisa *Fourier Transform Infrared* (FTIR)

Pada penelitian ini, juga dilakukan analisa *Fourier Transform Infrared* (FTIR) untuk mengidentifikasi ikatan gugus fungsi dalam suatu senyawa LiBOB/MgCl₂. Instrument yang digunakan untuk mengidentifikasi jenis ikatan kimia dan struktur polimer yang terkandung pada komposit LiBOB/MgCl₂ adalah *Thermoscientific* type Nicolet iS-10.

Perbandingan spectrum inframerah komposit LiBOB/MgCl₂ dapat dilihat pada gambar IV.3 berikut.



Gambar IV.3: Grafik hasil pengujian kualitatif spectrum inframerah

Spektrum infrared pada Gambar diatas menunjukkan perbandingan dari LiBOB tanpa penambahan MgCl₂ dan LiBOB dengan penambahan MgCl₂. Ikatan gugus fungsi LiBOB dan LiBOB/MgCl₂ terdapat pada bilangan gelombang 1821, 1781, 1675, 1337, 1197, 1093, 783, 650 dan 511 cm⁻¹

Tabel IV.9: Puncak Spektrum gugus fungsi senyawa LiBOB/MgCl₂

Bilangan Gelombang (cm ⁻¹)				Gugus Fungsi
LiBOB-A	LiBOB-B	LiBOB-C	LiBOB-D	
3219.91	3217.04	3229.05	3218.71	O-H
2514.28	2509.48	2520.13	2515.70	
2361.09	2360.07	2259.60	2261.03	
2261.46	2259.48			
1819.96	1821.98	1821.14	1821.71	C=O; osilasi fasa
1781.47	1781.34	1781.13	1781.73	C=O; osilasi keluar fasa
1675.28; 1473.92	1673.77; 1471.22	1671.58; 1479.96	1674.32; 1472.39	C-O-O; regangan asimetris
1335.39	1336.91	1337.12	1337.03	C-O-B-O-C; regangan
1196.66	1196.93	1197.09	1196.69	C-O-C; regangan asimetris
884.09	1093.19; 998.64	1090.78; 997.98; 882.37	1090.53; 998.41; 883.35	O-B-O; regangan asimetris dan simetris
777.77	783.08	781.85	782.10	C-O-O; merusak bentuk
648.35; 546.62	650.86; 538.56	648.15; 548.04	649.02	B-O; merusak bentuk
511.30; 447.65			446.85	BO ₄ ; obligasi

Berdasarkan hasil identifikasi dengan menggunakan Tabel *Hanawalt*, puncak-puncak indek *Miller* dan menggabungkannya dengan metode *doctor blade technique* menunjukkan adanya fasa LIBOB hidrat berdasar ICDD 01-073-9447 dan LIBOB berdasar ICDD00-056- 0139 yang tunggal maupun berimpit. Pada tabel diatas terlihat bahwa pengaruh penambahan MgCl₂ secara umum meningkatkan jumlah fasa LIBOB maupun LIBOB hidrat yang terbentuk. Disamping itu juga mempengaruhi besarnya density maupun lattice parameter walaupun tidak terlalu signifikan. Hasil dari analisa XRD ini juga dikonfirmasi dengan analisa spektrum FTIR untuk mengetahui gugus fungsi pembentuk senyawa LIBOB.

Pada bilangan gelombang 1196 cm^{-1} terlihat intensitas semakin kecil dikarenakan penambahan konsentrasi massa MgCl_2 pada LiBOB. Puncak bilangan gelombang 1196 cm^{-1} tersebut menunjukkan adanya regangan asimetris gugus fungsi C—O—O dari LiBOB. Hal yang sama juga terdapat pada puncak bilangan gelombang 1335.39 cm^{-1} , 1336.91 cm^{-1} , 1337.12 cm^{-1} dan 1337.03 cm^{-1} yang sama-sama menunjukkan adanya regangan C—O—B—O—C. Regangan asimetris dan simetris O—B—O, sampel C dan D memperlihatkan 3 fasa, sementara sampel B menunjukkan 2 fasa dan sampel A hanya menunjukkan 1 fasa yang terbentuk. Selain itu, pada sampel LiBOB tanpa penambahan MgCl_2 dan LiBOB dengan penambahan 7,5% MgCl_2 menunjukkan fasa struktur gugus fungsi obligasi BO_4 , yang tidak muncul pada LiBOB dengan penambahan 2,5% dan 5% MgCl_2 .



BAB V

PENUTUP

A. Kesimpulan

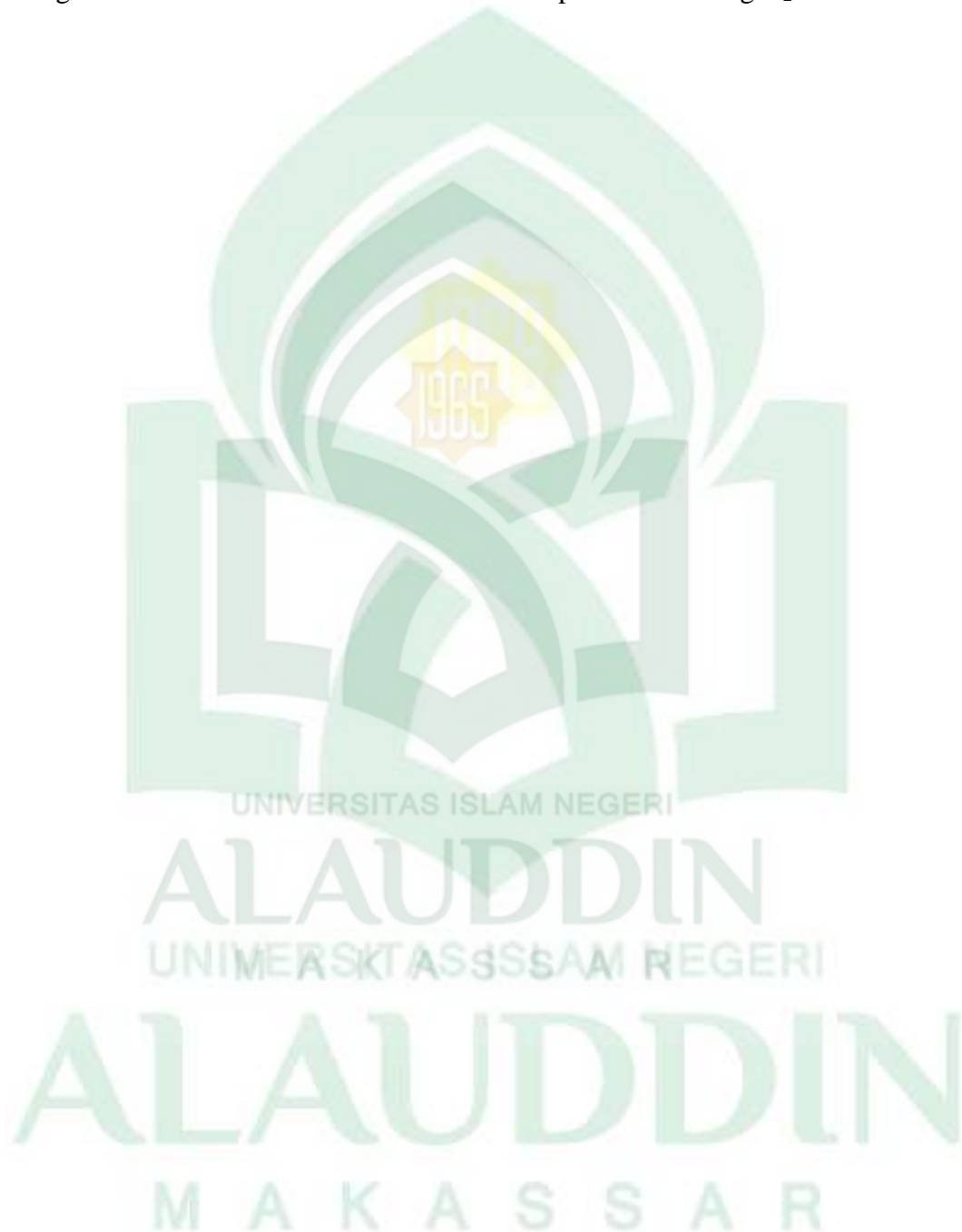
Berdasarkan hasil penelitian yang telah dilakukan, maka diperoleh kesimpulan sebagai berikut:

1. Diafrogram hasil analisa XRD menunjukkan terbentuknya fasa LiBOB dan LiBOB Hydrate. Sementara pada sampel B, C dan D menunjukkan munculnya fasa LiMgCl sebagai bahan impuritas yang ditambahkan pada LiBOB. Struktur Kristal yang terbentuk yaitu system kristal orthorhombik berdasarkan database PDF (00-062-0917) dan PDF (01-073-9447).
2. Morfologi permukaan LiBOB/MgCl₂ memperlihatkan penyebaran yang merata bahan Mg dan Cl. Sementara itu, ada penggumpalan didaerah tertentu pada bahan B, C dan O. Secara umum, dapat dilihat bentuk partikel LiBOB yaitu berbentuk panjang-bulat, dengan bentuk sedikit silinder.
3. Gugus Fungsi LiBOB terbentuk pada range antara 780°-1800°. Pada hasil menunjukkan terjadinya fasa obligasi dan perusak bentuk LiBOB pada suhu tertentu. Selain itu, menunjukkan fasa munculnya Hydrogen. Namun, secara umum, tidak terlihat perubahan gugus fungsi dengan penambahan MgCl₂.

B. Saran

Penelitian dengan penambahan MgCl₂ masih baru dilakukan, sehingga untuk mendapatkan data yang lebih baik untuk performa elektrolit komposit

LiBOB/MgCl₂ perlu untuk dilakukan uji konduktivitas ionic, konduktivitas listrik dan difusi ionic maupun linier siklik voltammetric. Selain itu, juga perlu mengetahui karakteristik elektrokimia dari komposit LiBOB.MgCl₂.



DAFTAR PUSTAKA

- Alfredsson, V. 2004. *Mesoporous crystals and related nano-structured materials*. Diedit oleh O. Terasaki. Amsterdam: Elsevier. Tersedia pada: http://www.fos.su.se/mcrm2004/Program_Workshop.doc.
- Arifin, D. E. S. dan Zainuri, M. 2014. "Karakterisasi Sifat Separator Komposit PVDF/poli(dimetilsiloksan) Dengan Metode Pencampuran Membran (Blending Membrane)," *Jurnal Sains dan Seni Pomits*, 3(2), hal. 36–40.
- Al-Mahali, Imam Jalaluddin dan Imam Jalaluddin As-Suyuti. 2000. *Tafsir Jalalain*. Bandung : Sinar Baru Algensindo
- Brunschwig, B. S. *et al.* 2014. *Fourier Transformation of an IR Interferogram*. Instrumental Analysis Laboratory.
- Choi, N. *et al.* 2007. "Surface Layer Formed on Silicon Thin-Film Electrode in Lithium Bis(oxalato) Borate-Based Electrolyte," *Journal of Power Sources*, 172, hal. 404–409. doi: 10.1016/j.jpowsour.2007.07.058.
- Cullity, B. R. dan Stock, S. R. 2014. *Pearson New International Edition: Elements of X-Ray Diffraction*. Third. Edinburgh: Pearson Education Limited.
- Derrick, M. R., Stulik, D. dan Landry, J. M. 1999. *Infrared Spectroscopy in Conservation Science: Scientific Tools for Conservation*. Diedit oleh T. Ball. Los Angels: The Getty Conservation Institute.
- Glusker, J. P. ., Lewis, M. dan Rossi, M. 1994. "Crystal Structure Analysis for Chemists and Biologists," *VCH Publishers*, hal. 837. doi: 10.1021/ed072pA73.9.
- Hong-ming, Z. *et al.* 2018. "Synthesis of Lithium Difluoro(oxalate)borate (LiODFB), Phase Diagram and Ions Coordination of LiODFB in Dimethyl Carbonate," *Journal Cent. South Univ.*, 25, hal. 550–560.
- Huggings, R. A. 2009. *Advanced Batteries: Material Science Aspects*. Stanford University: Springer.
- Indonesia, M. P. R. 2011. *Permenperind_No.16_2011.pdf*. Indonesia.
- Jullien, C. 2016. "Electrolytes and Separator for Lithium Batteries," in *Lithium Batteries*. Switzerland: Springer, hal. 431–460. doi: 10.1007/978-3-319-19108-9.
- Lestariningsih, T., Marty Wigayati, E. dan Prihandoko, B. 2013. "Proses Pembentukan Senyawa $\text{LiB}(\text{C}_2\text{O}_4)_2$ dengan Variasi Suhu Sintering,"

TELAAH Jurnal Ilmu Pengetahuan dan Teknologi, 31(1), hal. 39–44.

- Li, H. *et al.* 2011. “Gel polymer electrolytes based on active PVDF separator for lithium ion battery . I: Preparation and property of PVDF / poly (dimethylsiloxane) blending membrane,” *Journal of Membrane Science*. Elsevier B.V., 379(1–2), hal. 397–402. doi: 10.1016/j.memsci.2011.06.008.
- Li, X. *et al.* 2018. “Effects of Imide–Orthoborate Dual-Salt Mixtures in Organic Carbonate Electrolytes on the Stability of Lithium Metal Batteries,” *ACS Applied Materials & Interfaces*, 10, hal. 2469–2479. doi: 10.1021/acsami.7b15117.
- Linden, D. dan Reddy, T. B. 2004. *Handbook of batteries*, McGraw-Hill. New York: McGraw-Hill. doi: 10.1016/0378-7753(86)80059-3.
- Masaki, Y., Ralph J., B. dan Akiya, K. 2009. *Lithium-Ion Batteries, Science and Technologies*. Japan: Springer.
- Michler, G. H. 2008. “Scanning Electron Microscopy (SEM),” in *Electron Microscopy of Polymers*. Berlin, Heidelberg: Springer Laboratory, hal. 87–120.
- Mohr, S. H., Mudd, G. M. dan Giurco, D. 2012. “Lithium Resources and Production: Critical Assessment and Global Projections,” *Minerals*, 2, hal. 65–84. doi: 10.3390/min2010065.
- Mustafa, Ahmad. 1993. *Terjemah Tafsir Al Maraghi*. Semarang : Tiga Putra.
- Nicolet, T. 2001. “Introduction to Fourier Transform Infrared Spectrometry,” *Thermo Nicolet*. USA: Thermo Nicolet Corporation, hal. 1–8.
- Park, M. *et al.* 2010. “A review of conduction phenomena in Li-ion batteries,” *Journal of Power Sources*. Elsevier B.V., xxx, hal. 1–26. doi: 10.1016/j.jpowsour.2010.06.060.
- Priyono, S. *et al.* 2016. “Ketebalan Anoda Li₄Ti₅O₁₂ dan Studi Pengaruh Ketebalan Elektroda terhadap Performa Elektrokimia Baterai Ion Lithium,” *Jurnal Sains Materi Indonesia*, 17(4), hal. 146–152.
- Ramachandran, V. S. *et al.* 2002. *Handbook of Thermal Analysis of Construction Material*. New York: William Andrew Publishing.
- Sakka, S. 2004. *Handbook of Sol-Gel Science and Technology: Processing, Characterization and Applications*. Diedit oleh H. Kozuka. Osaka: Kluwer Academic Publisher.
- Shihab, M. Quraish. 2002. *Tafsir Al Misbah*. Jakarta: Lentera Hati.

- Sulistiyono, E. *et al.* 2018. "Study of Lithium Extraction from Brine Water, Bledug Kuwu, Indonesia by The Precipitation Series of Oxalic Acid and Carbonate Sodium," in *Proceedings of the International Seminar on Metallurgy and Materials (ISMM2017)*, hal. 020007-1-020007-6. doi: 10.1063/1.5038289.
- Sumarno, Ratnawati dan Nugroho, A. 2012. "Recovery Garam Lithium dari Air Asin (Brine) dengan Metoda Presipitasi," *Teknik*, 33(2), hal. 66–70.
- Suryanarayana, C. dan Norton, M. G. 1998. *X-Ray Diffraction: A Practical Approach*. New York: Springer Science+Business Media, LLC.
- Wigayati, E. M. *et al.* 2017. "Synthesis of LiBOB Fine Powder to Increase Solubility," *Makara Journal Technology*, 21(1), hal. 26–32. doi: 10.7454/mst.v21i1.3076.
- Wigayati, E. M. dan Purawiardi, I. 2015. "Sintesis LiBOB dan Analisa Struktur Kristalnya," *Majalah Metalurgi*, V, hal. 81–88.
- Wigayati, E. M., Purawiardi, I. dan Sabrina, Q. 2017. "Karakterisasi Morfologi Permukaan pada Polimer PVdf-LiBOB-ZrO₂ dan Potensinya untuk Elektrolit Baterai Lithium," *Jurnal Kimia dan Kemasan*, 39(2), hal. 47–54. doi: 10.24817/jkk.v39i2.3306.
- Wigayati, E. M. dan Purawiardi, R. I. 2015. "Analisis Pengaruh Mechanical Milling menggunakan Planetary Ball Milling terhadap Struktur Kristal dan Struktur Mikro Senyawa LiBOB," *Jurnal Sains Materi Indonesia*, 16(3), hal. 126–132. Tersedia pada: <http://jusami.batan.go.id>.
- Yu, B. *et al.* 2007. "Kinetic study on solid state reaction for synthesis of LiBOB," *Journal of Power Sources*, 174, hal. 1012–1014. doi: 10.1016/j.jpowsour.2007.06.167.
- Zhang, Y. *et al.* 2012. "Advances in new cathode material LiFePO₄ for lithium-ion batteries," *Synthetic Metals*. Elsevier B.V., 162(13–14), hal. 1315–1326. doi: 10.1016/j.synthmet.2012.04.025.
- Zhou, W. *et al.* 2005. "Fundamentals of Scanning Electron Microscopy," in *Scanning Electron Microscopy*, hal. 1–40.



LAMPIRAN 1

ALAT dan BAHAN

UNIVERSITAS ISLAM NEGERI

ALAUDDIN

UNIVERSITAS ISLAM NEGERI

ALAUDDIN

M A K A S S A R

ALAT



Crucible



Cawang Plastik



Mortar



Spatula



Neraca Digital



Dessicator Vacum



Tungku Pembakaran



Glove Box



Alat Uji FTIR



Alat Uji XRD



Alat Uji SEM

BAHAN dan Proses Pembuatan LiBOBPenimbangan $\text{MgCl}_2 \cdot 6\text{H}_2\text{O}$ Penimbangan $\text{H}_2\text{C}_2\text{O}_4 \cdot 2\text{H}_2\text{O}$ 

Penimbangan LiOH

Penimbangan H_3BO_3



Pencampuran Bahan

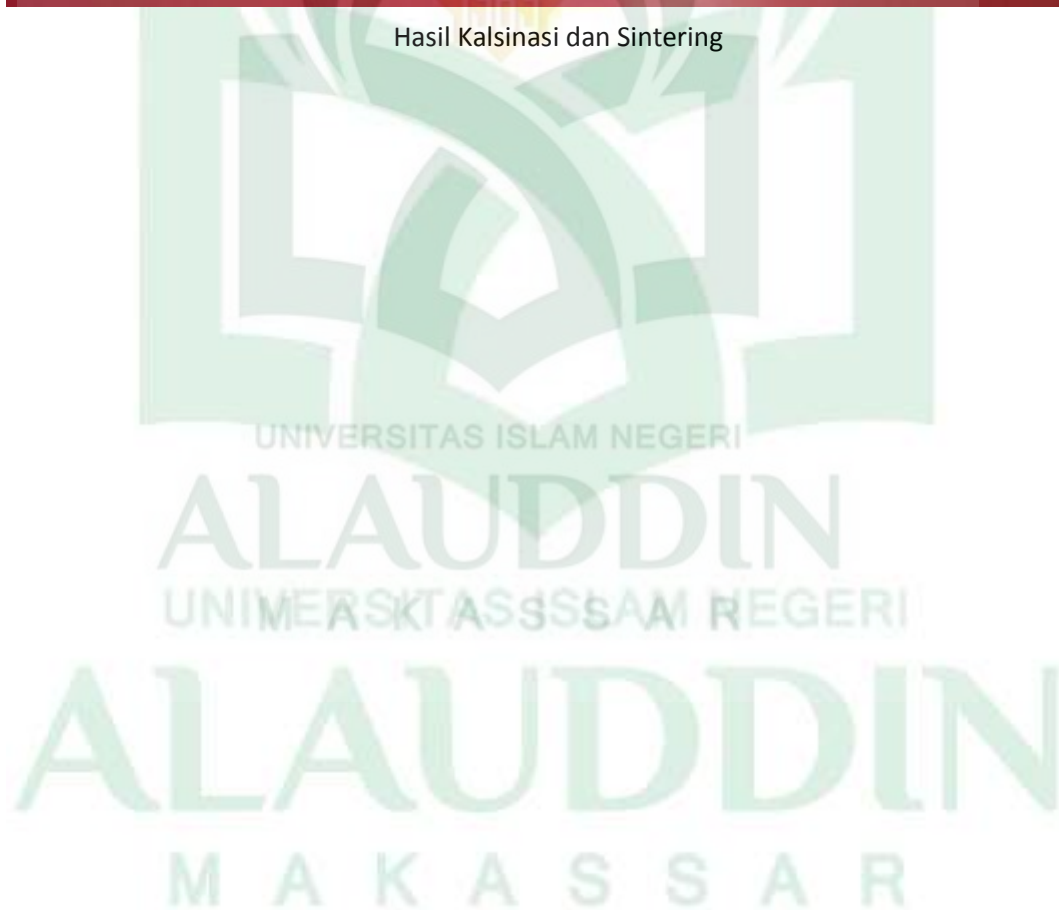


Kalsinasi dan Sintering

M A K A S S A R



Hasil Kalsinasi dan Sintering





LAMPIRAN 2

**PERHITUNGAN DAN
KOMPOSISI BAHAN**

UNIVERSITAS ISLAM NEGERI

ALAUDDIN

UNIVERSITAS ISLAM NEGERI

ALAUDDIN

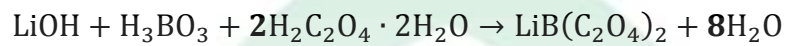
M A K A S S A R

Penghitungan Stokiometri LiBOB

g) *Lithium Hidroxide* (LiOH)

h) *Oxalic Acid* ($\text{H}_2\text{C}_2\text{O}_4 \cdot 2\text{H}_2\text{O}$)

i) *Borid Acid* (H_3BO_3)



Li = 1

B = 1

C = 4

H = 16

O = 16

Li = 1

B = 1

C = 4

H = 16

O = 16

Penghitungan Massa Bahan

Tabel 1: Komposisi Bahan Baku LiBOB

No.	Nama Bahan	Massa Bahan (gr)			
		Sampel A	Sampel B	Sampel C	Sampel D
1	LiOH	1,2439	1,2128	1,1818	1,1507
2	H_3BO_3	3,1906	3,1906	3,1906	3,1906
3	$\text{H}_2\text{C}_2\text{O}_4 \cdot 2\text{H}_2\text{O}$	13,0092	13,0092	13,0092	13,0092
4	$\text{MgCl}_2 \cdot 6\text{H}_2\text{O}$	0	0,0311	0,0621	0,0932



LAMPIRAN 3

**HASIL UJI
X-RAY DIFFRACTION
(XRD)**

UNIVERSITAS ISLAM NEGERI

ALAUDDIN

UNIVERSITAS ISLAM NEGERI

ALAUDDIN

M A K A S S A R

HASIL UJI XRD

Sampel A

No.	2-theta (deg)	d (ang.)	Height (cps)	FWHM (deg)	Int. I (cps deg)	Size (ang.)
1	13.367(5)	6.619(2)	191(28)	0.190(14)	44(3)	441(33)
2	14.586(3)	6.0680(11)	1182(69)	0.420(10)	838(11)	199(5)
3	14.946(6)	5.923(2)	274(33)	0.10(2)	45(7)	871(194)
4	19.65(10)	4.51(2)	212(29)	0.55(5)	137(34)	154(15)
5	19.859(13)	4.467(3)	905(60)	0.235(12)	250(34)	359(18)
6	21.250(19)	4.178(4)	386(39)	0.323(19)	181(6)	262(16)
7	23.45(2)	3.791(4)	84(18)	0.65(8)	73(7)	131(16)
8	27.178(5)	3.2785(6)	343(37)	0.175(13)	82(4)	488(38)
9	27.959(5)	3.1887(6)	2102(92)	0.328(5)	945(8)	261(4)
10	29.023(19)	3.074(2)	316(36)	0.214(15)	80(5)	401(28)
11	30.30(3)	2.947(3)	98(20)	0.92(7)	123(7)	93(7)
12	31.548(6)	2.8336(6)	263(32)	0.201(16)	72(4)	429(34)
13	32.344(11)	2.7657(9)	600(49)	0.226(8)	149(5)	383(13)
14	33.887(2)	2.64316(18)	1957(88)	0.194(5)	632(6)	446(11)
15	34.810(12)	2.5752(8)	710(53)	0.199(16)	220(5)	437(35)
16	36.89(3)	2.4343(16)	52(14)	0.54(14)	57(6)	162(43)
17	39.36(7)	2.288(4)	91(19)	0.8(2)	100(19)	105(27)
18	39.95(3)	2.2547(15)	290(34)	0.32(4)	122(16)	275(34)
19	40.34(2)	2.2340(11)	141(24)	0.25(5)	46(11)	352(75)
20	42.00(3)	2.1494(13)	220(30)	0.235(19)	58(4)	379(30)
21	44.10(5)	2.052(2)	93(19)	0.58(10)	111(6)	155(27)
22	52.55(3)	1.7400(9)	92(19)	0.22(3)	22(3)	426(61)
23	54.069(14)	1.6947(4)	262(32)	0.31(2)	130(4)	297(23)
24	57.17(7)	1.6099(17)	67(16)	0.42(13)	53(4)	227(72)
25	61.83(3)	1.4993(6)	39(13)	0.38(10)	19(3)	256(70)
26	63.16(3)	1.4709(6)	41(13)	0.59(10)	31(4)	164(28)
27	65.912(16)	1.4160(3)	37(12)	0.09(6)	6.0(17)	1090(753)

No.	2-theta (deg)	Phase name	Chemical formula	Rel. int. I Rel. height (a.u.)	
				4,69	9,06
1	13.367(5)	Unknown	Unknown	4,69	9,06
2	14.586(3)	Unknown	Unknown	88,70	56,23
3	14.946(6)	Unknown	Unknown	4,71	13,04
4	19.65(10)	Unknown	Unknown	14,51	10,10
5	19.859(13)	Unknown	Unknown	26,47	43,04
6	21.250(19)	Unknown	Unknown	19,13	18,37
7	23.45(2)	Unknown	Unknown	7,73	3,98
8	27.178(5)	Unknown	Unknown	8,72	16,34
9	27.959(5)	Unknown	Unknown	100,00	100,00
10	29.023(19)	Unknown	Unknown	8,45	15,06

No.	2-theta (deg)	Phase name	Chemical formula	Rel. int. I	Rel. height
				(a.u.)	
11	30.30(3)	Unknown	Unknown	13,06	4,64
12	31.548(6)	Unknown	Unknown	7,66	12,49
13	32.344(11)	Unknown	Unknown	15,77	28,56
14	33.887(2)	Unknown	Unknown	66,84	93,12
15	34.810(12)	Unknown	Unknown	23,30	33,80
16	36.89(3)	Unknown	Unknown	6,05	2,49
17	39.36(7)	Unknown	Unknown	10,62	4,34
18	39.95(3)	Unknown	Unknown	12,88	13,80
19	40.34(2)	Unknown	Unknown	4,90	6,73
20	42.00(3)	Unknown	Unknown	6,12	10,47
21	44.10(5)	Unknown	Unknown	11,77	4,42
22	52.55(3)	Unknown	Unknown	2,36	4,38
23	54.069(14)	Unknown	Unknown	13,77	12,48
24	57.17(7)	Unknown	Unknown	5,59	3,16
25	61.83(3)	Unknown	Unknown	2,03	1,87
26	63.16(3)	Unknown	Unknown	3,33	1,94
27	65.912(16)	Unknown	Unknown	0,63	1,76



HASIL UJI XRD

Sampel B

No.	2-theta (deg)	d (ang.)	Height (cps)	FWHM (deg)	Int. I (cps deg)	Size (ang.)
1	11.04(3)	8.01(2)	111(21)	0.31(3)	45(3)	269(26)
2	13.456(4)	6.575(2)	346(37)	0.139(8)	65(2)	602(33)
3	14.634(7)	6.048(3)	865(59)	0.326(10)	427(7)	256(8)
4	14.999(14)	5.902(6)	277(33)	0.71(2)	267(7)	118(4)
5	19.356(3)	4.5820(8)	619(50)	0.134(8)	118(5)	626(37)
6	19.834(11)	4.473(2)	657(51)	0.535(15)	497(9)	157(4)
7	21.308(6)	4.1664(12)	304(35)	0.24(3)	122(5)	350(37)
8	22.058(12)	4.026(2)	220(30)	0.145(16)	44(4)	582(64)
9	22.25(4)	3.992(7)	130(23)	1.63(10)	299(13)	52(3)
10	23.634(7)	3.7614(11)	464(43)	0.332(13)	218(7)	255(10)
11	24.770(15)	3.591(2)	128(23)	0.44(4)	79(5)	193(17)
12	25.469(15)	3.494(2)	100(20)	0.30(4)	43(4)	282(38)
13	26.91(11)	3.310(14)	112(21)	3.82(17)	719(21)	22.4(10)
14	27.167(9)	3.2798(11)	224(30)	0.25(3)	82(7)	341(37)
15	27.958(6)	3.1887(7)	1838(86)	0.330(7)	888(10)	259(5)
16	29.00(3)	3.077(3)	155(25)	0.28(3)	52(4)	311(37)
17	29.51(2)	3.025(2)	193(28)	0.19(3)	44(4)	463(76)
18	30.14(3)	2.963(3)	245(31)	1.81(7)	651(19)	47.4(19)
19	31.525(16)	2.8357(14)	165(26)	0.49(5)	118(12)	177(19)
20	32.292(9)	2.7700(8)	483(44)	0.429(17)	304(9)	201(8)
21	33.72(8)	2.656(6)	125(22)	2.36(14)	459(17)	37(2)
22	33.880(9)	2.6437(7)	998(63)	0.343(14)	567(11)	253(11)
23	34.815(8)	2.5748(6)	354(38)	0.26(2)	151(8)	337(30)
24	36.897(9)	2.4342(6)	139(24)	0.23(6)	54(8)	378(104)
25	37.548(6)	2.3934(4)	140(24)	0.01(2)	4.1(13)	6268(9156)
26	37.73(3)	2.3825(17)	47(14)	0.56(14)	44(10)	155(39)
27	39.11(2)	2.3013(13)	121(22)	0.71(9)	111(11)	125(15)
28	39.998(12)	2.2523(6)	214(29)	0.63(4)	176(13)	139(8)
29	41.999(7)	2.1495(3)	160(25)	0.10(2)	33(4)	902(194)
30	43.93(4)	2.059(2)	113(21)	1.60(13)	384(13)	56(5)
31	44.774(6)	2.0225(2)	93(19)	0.030(14)	5.9(19)	3021(1470)
32	52.57(2)	1.7395(7)	40(13)	0.19(7)	8(3)	489(172)
33	54.10(4)	1.6939(12)	129(23)	0.56(4)	88(5)	167(11)
34	57.18(6)	1.6097(15)	39(12)	1.35(15)	74(7)	70(8)

No.	2-theta (deg)	Phase name	Chemical formula	Rel. int. I	Rel. height
				(a.u.)	
1	11.04(3)	Unknown	Unknown	5,09	6,02
2	13.456(4)	Unknown	Unknown	7,37	18,80
3	14.634(7)	Unknown	Unknown	48,08	47,06

No.	2-theta (deg)	Phase name	Chemical formula	Rel. int. I	Rel. height
				(a.u.)	
4	14.999(14)	Unknown	Unknown	30,08	15,05
5	19.356(3)	Unknown	Unknown	13,25	33,69
6	19.834(11)	Unknown	Unknown	55,94	35,72
7	21.308(6)	Unknown	Unknown	13,74	16,54
8	22.058(12)	Unknown	Unknown	4,92	11,98
9	22.25(4)	Unknown	Unknown	33,63	7,07
10	23.634(7)	Unknown	Unknown	24,51	25,25
11	24.770(15)	Unknown	Unknown	8,92	6,94
12	25.469(15)	Unknown	Unknown	4,81	5,45
13	26.91(11)	Unknown	Unknown	80,99	6,10
14	27.167(9)	Unknown	Unknown	9,28	12,21
15	27.958(6)	Unknown	Unknown	100,00	100,00
16	29.00(3)	Unknown	Unknown	5,87	8,43
17	29.51(2)	Unknown	Unknown	4,92	10,52
18	30.14(3)	Unknown	Unknown	73,26	13,32
19	31.525(16)	Unknown	Unknown	13,28	8,97
20	32.292(9)	Unknown	Unknown	34,21	26,28
21	33.72(8)	Unknown	Unknown	51,70	6,81
22	33.880(9)	Unknown	Unknown	63,89	54,28
23	34.815(8)	Unknown	Unknown	16,99	19,24
24	36.897(9)	Unknown	Unknown	6,14	7,57
25	37.548(6)	Unknown	Unknown	0,46	7,63
26	37.73(3)	Unknown	Unknown	5,01	2,53
27	39.11(2)	Unknown	Unknown	12,54	6,60
28	39.998(12)	Unknown	Unknown	19,84	11,65
29	41.999(7)	Unknown	Unknown	3,77	8,68
30	43.93(4)	Unknown	Unknown	43,27	6,16
31	44.774(6)	Unknown	Unknown	0,66	5,06
32	52.57(2)	Unknown	Unknown	0,91	2,16
33	54.10(4)	Unknown	Unknown	9,91	7,02
34	57.18(6)	Unknown	Unknown	8,29	2,10

M A K A S S A R

HASIL UJI XRD

Sampel C

No.	2-theta (deg)	d (ang.)	Height (cps)	FWHM (deg)	Int. I (cps deg)	Size (ang.)
1	11.01(2)	8.027(16)	212(29)	0.31(2)	88(4)	267(20)
2	14.641(5)	6.045(2)	1488(77)	0.330(13)	759(53)	253(10)
3	14.91(6)	5.94(2)	207(29)	0.70(5)	223(50)	119(9)
4	19.300(5)	4.5952(11)	471(43)	0.164(9)	92(4)	513(27)
5	19.806(14)	4.479(3)	560(47)	0.437(17)	292(10)	193(8)
6	20.049(6)	4.4253(13)	375(39)	0.113(14)	51(8)	748(95)
7	21.11(5)	4.206(11)	79(18)	0.31(5)	31(4)	273(46)
8	22.013(10)	4.0347(18)	452(43)	0.195(15)	145(5)	432(33)
9	22.750(10)	3.9055(17)	120(22)	0.10(3)	15(3)	853(232)
10	23.669(5)	3.7559(8)	682(52)	0.258(6)	187(4)	329(7)
11	24.916(11)	3.5708(15)	167(26)	0.32(2)	64(3)	268(19)
12	25.526(8)	3.4868(11)	211(29)	0.249(16)	63(3)	342(22)
13	26.45(2)	3.367(3)	86(19)	0.49(5)	50(6)	175(20)
14	27.54(7)	3.236(7)	251(32)	0.75(7)	227(37)	113(11)
15	28.011(6)	3.1828(7)	2178(93)	0.317(11)	829(40)	270(9)
16	28.974(16)	3.0792(16)	166(26)	0.25(3)	52(5)	346(48)
17	29.459(10)	3.0296(11)	425(41)	0.223(17)	121(6)	385(29)
18	29.949(17)	2.9811(16)	415(41)	0.350(18)	185(10)	245(13)
19	31.03(5)	2.880(4)	175(26)	3.17(8)	773(16)	27.2(7)
20	31.467(11)	2.8407(10)	127(23)	0.28(4)	39(4)	304(46)
21	32.133(4)	2.7834(3)	466(43)	0.398(12)	202(8)	217(7)
22	32.764(8)	2.7311(7)	147(24)	0.18(2)	29(3)	474(65)
23	33.929(8)	2.6400(6)	1057(65)	0.291(12)	464(17)	298(13)
24	34.282(9)	2.6136(6)	314(35)	0.16(3)	77(12)	535(88)
25	34.829(8)	2.5738(6)	376(39)	0.261(18)	148(7)	333(23)
26	35.84(3)	2.504(2)	89(19)	0.88(12)	119(13)	99(14)
27	36.811(11)	2.4397(7)	299(35)	0.29(2)	129(5)	306(21)
28	37.474(5)	2.3980(3)	208(29)	0.109(19)	40(5)	806(142)
29	37.864(6)	2.3742(4)	214(29)	0.16(3)	61(5)	542(99)
30	39.15(3)	2.2990(15)	187(27)	0.68(5)	224(13)	129(10)
31	39.947(15)	2.2551(8)	306(35)	0.37(3)	199(12)	239(19)
32	41.22(5)	2.188(3)	27(10)	0.27(18)	13(5)	330(221)
33	41.920(7)	2.1534(4)	155(25)	0.119(19)	33(4)	744(118)
34	43.18(3)	2.0936(12)	114(21)	1.62(10)	326(9)	55(3)
35	54.104(11)	1.6937(3)	143(24)	0.54(4)	113(5)	173(14)
36	57.19(7)	1.6095(19)	62(16)	0.73(13)	93(5)	129(24)
37	61.46(7)	1.5074(16)	25(10)	2.0(2)	59(7)	47(5)

No.	2-theta (deg)	Phase name	Chemical formula	Rel. int. I	Rel. height
				(a.u.)	
1	11.01(2)	Unknown	Unknown	10,59	9,75

No.	2-theta (deg)	Phase name	Chemical formula	Rel. int. I	Rel. height
				(a.u.)	
2	14.641(5)	Unknown	Unknown	91,51	68,34
3	14.91(6)	Unknown	Unknown	26,95	9,48
4	19.300(5)	Unknown	Unknown	11,14	21,61
5	19.806(14)	Unknown	Unknown	35,26	25,70
6	20.049(6)	Unknown	Unknown	6,10	17,22
7	21.11(5)	Unknown	Unknown	3,69	3,61
8	22.013(10)	Unknown	Unknown	17,45	20,74
9	22.750(10)	Unknown	Unknown	1,82	5,49
10	23.669(5)	Unknown	Unknown	22,56	31,32
11	24.916(11)	Unknown	Unknown	7,71	7,69
12	25.526(8)	Unknown	Unknown	7,59	9,67
13	26.45(2)	Unknown	Unknown	6,05	3,94
14	27.54(7)	Unknown	Unknown	27,36	11,51
15	28.011(6)	Unknown	Unknown	100,00	100,00
16	28.974(16)	Unknown	Unknown	6,33	7,62
17	29.459(10)	Unknown	Unknown	14,61	19,53
18	29.949(17)	Unknown	Unknown	22,37	19,04
19	31.03(5)	Unknown	Unknown	93,24	8,02
20	31.467(11)	Unknown	Unknown	4,75	5,85
21	32.133(4)	Unknown	Unknown	24,35	21,38
22	32.764(8)	Unknown	Unknown	3,53	6,76
23	33.929(8)	Unknown	Unknown	56,01	48,51
24	34.282(9)	Unknown	Unknown	9,28	14,40
25	34.829(8)	Unknown	Unknown	17,85	17,24
26	35.84(3)	Unknown	Unknown	14,31	4,10
27	36.811(11)	Unknown	Unknown	15,56	13,74
28	37.474(5)	Unknown	Unknown	4,84	9,54
29	37.864(6)	Unknown	Unknown	7,42	9,82
30	39.15(3)	Unknown	Unknown	26,98	8,56
31	39.947(15)	Unknown	Unknown	24,01	14,03
32	41.22(5)	Unknown	Unknown	1,53	1,22
33	41.920(7)	Unknown	Unknown	3,95	7,11
34	43.18(3)	Unknown	Unknown	39,37	5,22
35	54.104(11)	Unknown	Unknown	13,60	6,56
36	57.19(7)	Unknown	Unknown	11,22	2,84
37	61.46(7)	Unknown	Unknown	7,07	1,17

HASIL UJI XRD

Sampel D

No.	2-theta (deg)	d (ang.)	Height (cps)	FWHM (deg)	Int. I (cps deg)	Size (ang.)
1	11.07(3)	7.989(19)	134(23)	0.38(4)	82(4)	219(23)
2	13.46(3)	6.574(14)	93(19)	0.17(2)	17(3)	479(64)
3	14.610(8)	6.058(3)	1201(69)	0.421(11)	778(11)	199(5)
4	14.970(5)	5.9132(19)	329(36)	0.107(17)	54(6)	783(121)
5	19.369(6)	4.5791(14)	311(35)	0.161(15)	71(6)	522(48)
6	19.897(4)	4.4587(9)	683(52)	0.359(14)	346(10)	235(9)
7	21.25(3)	4.179(5)	83(18)	0.37(6)	43(5)	230(38)
8	22.073(13)	4.024(2)	214(29)	0.26(2)	80(6)	321(24)
9	22.77(2)	3.903(4)	90(19)	0.10(5)	17(3)	875(461)
10	23.716(11)	3.7487(18)	382(39)	0.270(9)	111(4)	314(10)
11	24.81(5)	3.585(7)	78(18)	0.47(8)	61(8)	182(31)
12	25.49(2)	3.492(3)	95(19)	0.13(5)	20(5)	678(264)
13	27.157(14)	3.2809(17)	140(24)	0.30(4)	64(8)	283(42)
14	27.982(5)	3.1860(6)	2091(91)	0.317(7)	1011(10)	269(6)
15	28.971(10)	3.0795(10)	176(27)	0.13(3)	30(4)	677(141)
16	29.524(6)	3.0231(6)	190(28)	0.086(19)	20(3)	996(224)
17	30.00(3)	2.977(3)	301(35)	1.57(5)	720(18)	54.7(19)
18	31.470(13)	2.8405(11)	190(28)	0.45(4)	131(10)	190(18)
19	32.303(9)	2.7691(8)	458(43)	0.465(18)	325(9)	186(7)
20	33.927(10)	2.6401(7)	1003(63)	0.33(2)	608(15)	262(16)
21	34.853(10)	2.5721(7)	361(38)	0.32(3)	212(14)	270(24)
22	36.76(4)	2.443(3)	130(23)	0.84(8)	232(9)	104(10)
23	39.17(2)	2.2982(14)	123(22)	0.60(9)	110(15)	146(21)
24	40.021(11)	2.2511(6)	240(31)	0.70(4)	249(17)	126(8)
25	42.046(18)	2.1472(9)	147(24)	0.24(4)	56(4)	365(54)
26	43.69(7)	2.070(3)	80(18)	2.86(9)	245(10)	31.3(10)
27	45.94(9)	1.974(4)	18(9)	1.1(5)	38(9)	81(38)
28	52.50(9)	1.742(3)	42(13)	0.22(12)	12(3)	427(227)
29	54.08(4)	1.6945(11)	130(23)	0.56(4)	91(5)	166(11)
30	57.23(8)	1.608(2)	40(13)	1.36(12)	79(7)	70(6)

No.	2-theta (deg)	Phase name	Chemical formula	Rel. int. I	Rel. height
				(a.u.)	
1	11.07(3)	Unknown	Unknown	8,06	6,39
2	13.46(3)	Unknown	Unknown	1,71	4,45
3	14.610(8)	Unknown	Unknown	76,89	57,43
4	14.970(5)	Unknown	Unknown	5,35	15,75
5	19.369(6)	Unknown	Unknown	6,99	14,86
6	19.897(4)	Unknown	Unknown	34,24	32,69

No.	2-theta (deg)	Phase name	Chemical formula	Rel. int. I	Rel. height
				(a.u.)	
7	21.25(3)	Unknown	Unknown	4,29	3,96
8	22.073(13)	Unknown	Unknown	7,94	10,21
9	22.77(2)	Unknown	Unknown	1,72	4,30
10	23.716(11)	Unknown	Unknown	10,99	18,29
11	24.81(5)	Unknown	Unknown	5,99	3,73
12	25.49(2)	Unknown	Unknown	1,95	4,53
13	27.157(14)	Unknown	Unknown	6,35	6,69
14	27.982(5)	Unknown	Unknown	100,00	100,00
15	28.971(10)	Unknown	Unknown	2,95	8,42
16	29.524(6)	Unknown	Unknown	2,02	9,11
17	30.00(3)	Unknown	Unknown	71,20	14,39
18	31.470(13)	Unknown	Unknown	12,94	9,07
19	32.303(9)	Unknown	Unknown	32,13	21,92
20	33.927(10)	Unknown	Unknown	60,09	47,99
21	34.853(10)	Unknown	Unknown	20,98	17,27
22	36.76(4)	Unknown	Unknown	22,97	6,20
23	39.17(2)	Unknown	Unknown	10,85	5,89
24	40.021(11)	Unknown	Unknown	24,65	11,47
25	42.046(18)	Unknown	Unknown	5,53	7,03
26	43.69(7)	Unknown	Unknown	24,21	3,85
27	45.94(9)	Unknown	Unknown	3,80	0,87
28	52.50(9)	Unknown	Unknown	1,17	2,02
29	54.08(4)	Unknown	Unknown	9,00	6,24
30	57.23(8)	Unknown	Unknown	7,82	1,92



LAMPIRAN 4

**HASIL UJI
SCANNING ELECTRON MICROSCOPE
(SEM)**

UNIVERSITAS ISLAM NEGERI

ALAUDDIN

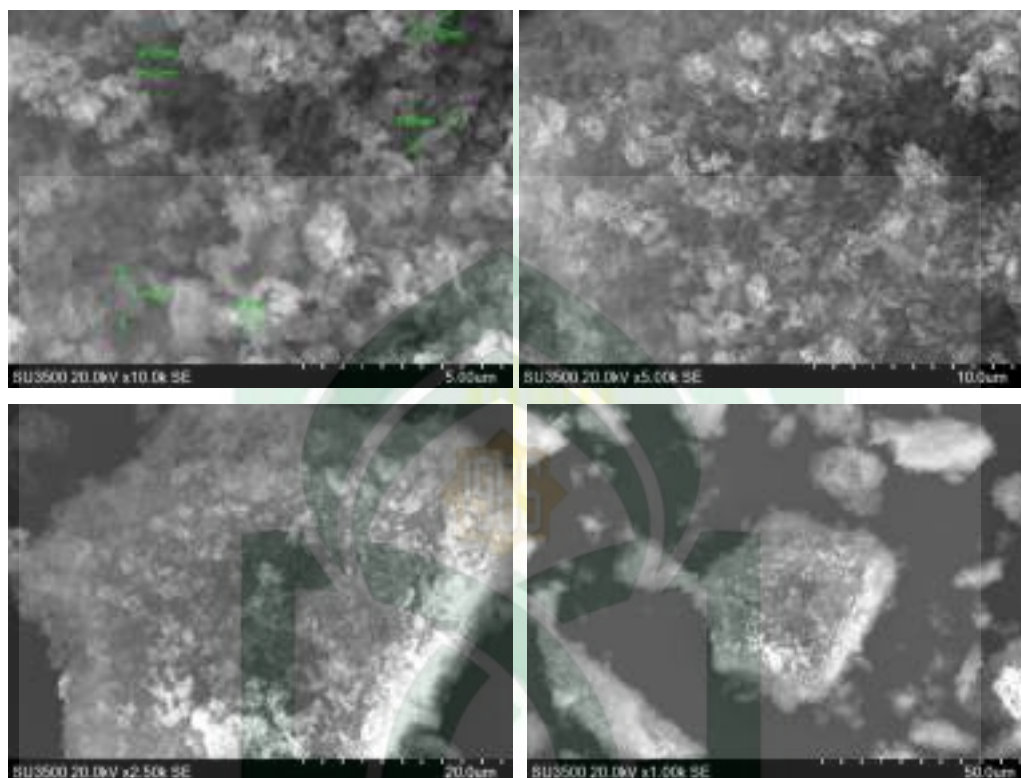
UNIVERSITAS ISLAM NEGERI

ALAUDDIN

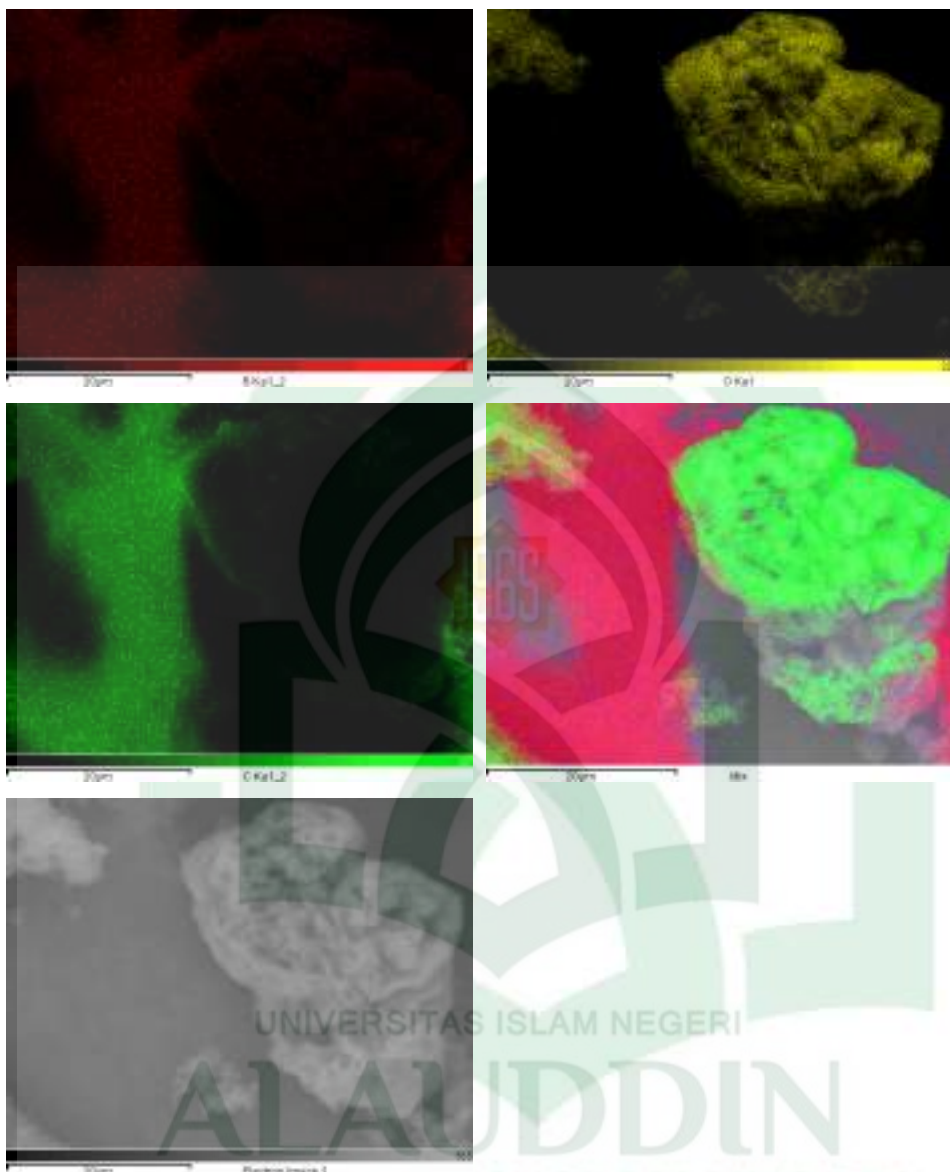
M A K A S S A R

HASIL ANALISIS sem-EDX

1. SEM IMAGES LIBOB A

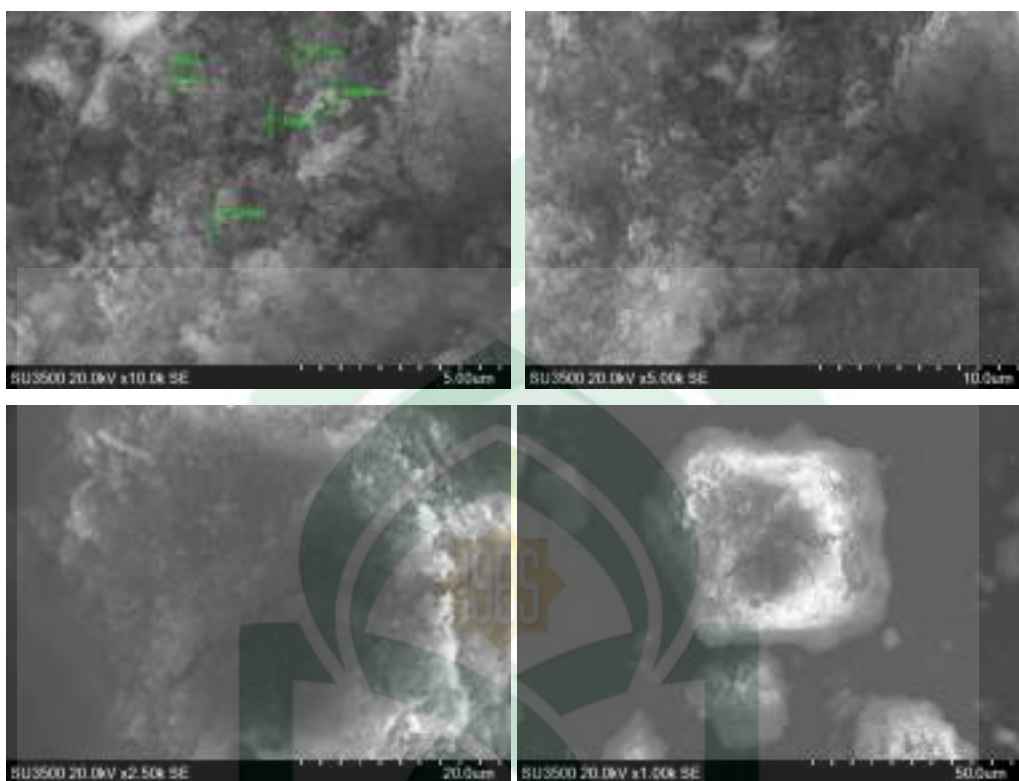


EDX LIBOB A

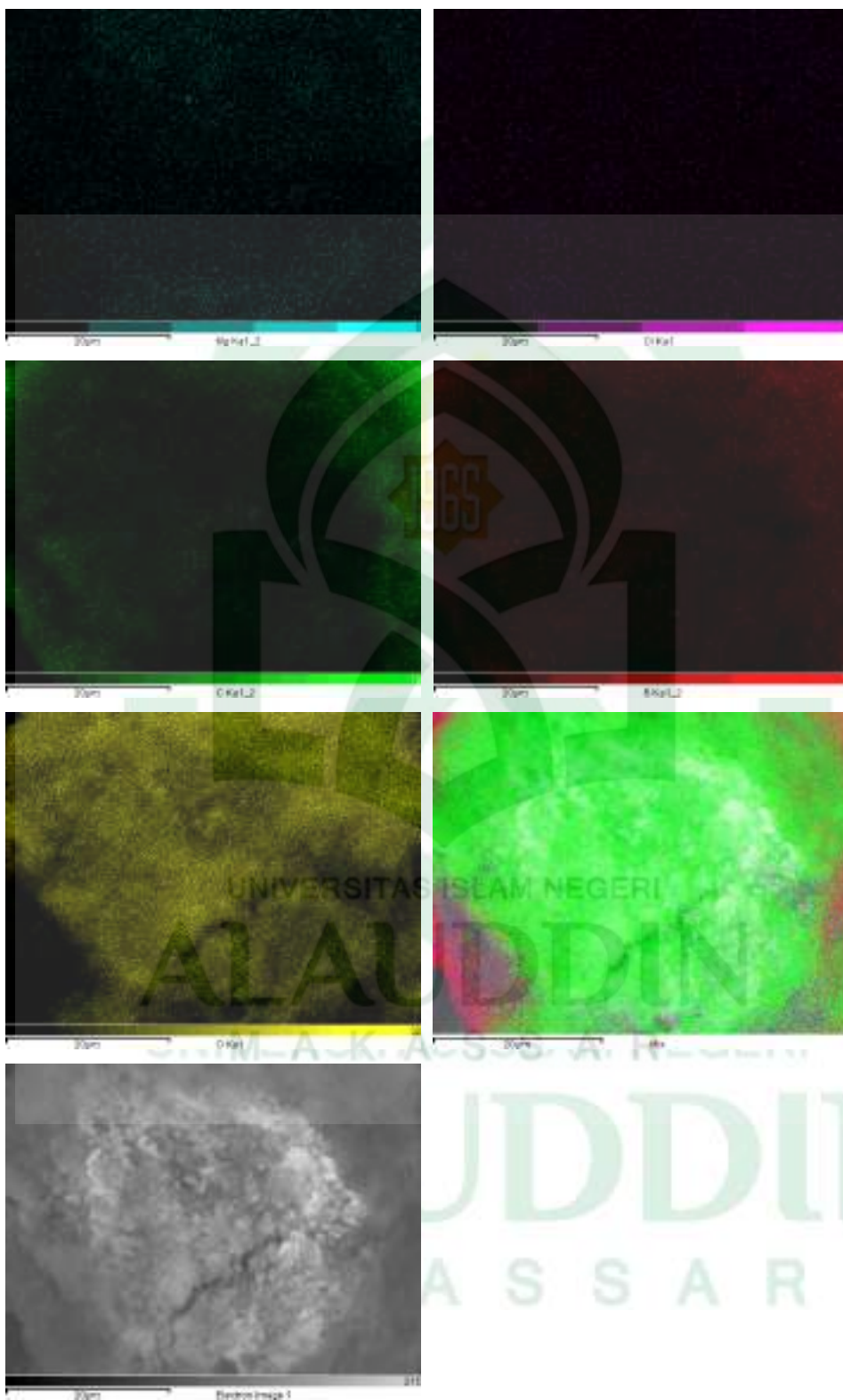


UNIVERSITAS ISLAM NEGERI
ALAUDDIN
UNIVERSITAS SAM RANGGAI
ALAUDDIN
MAKASSAR

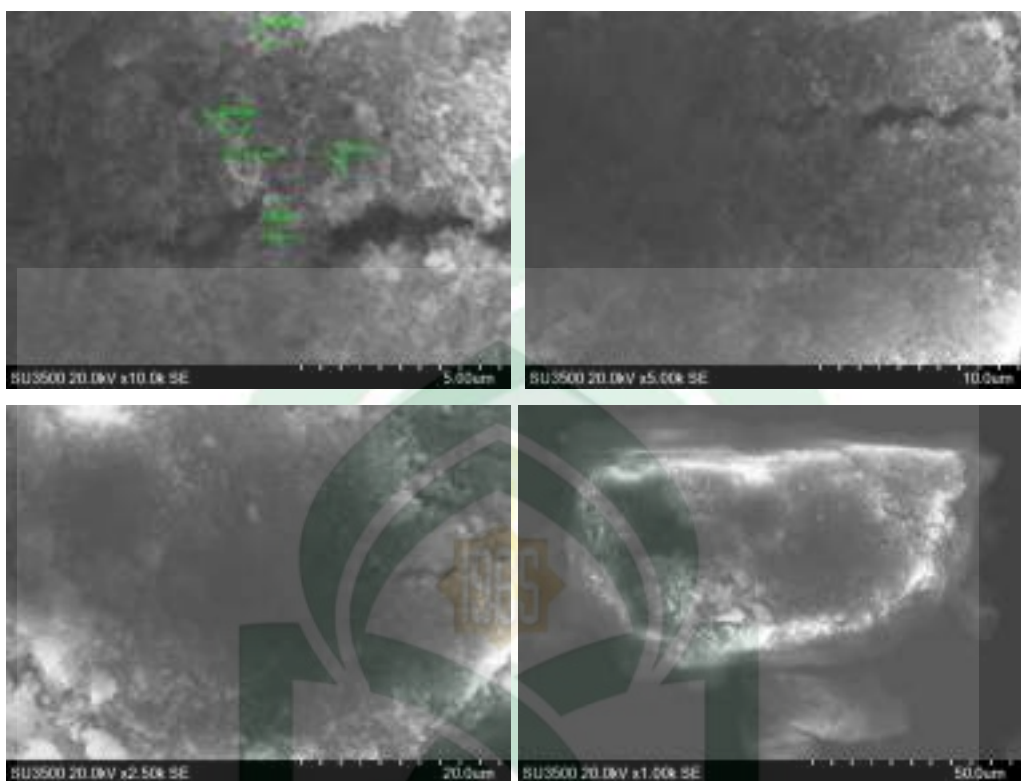
2. SEM LIBOB B



EDX LiBOB B



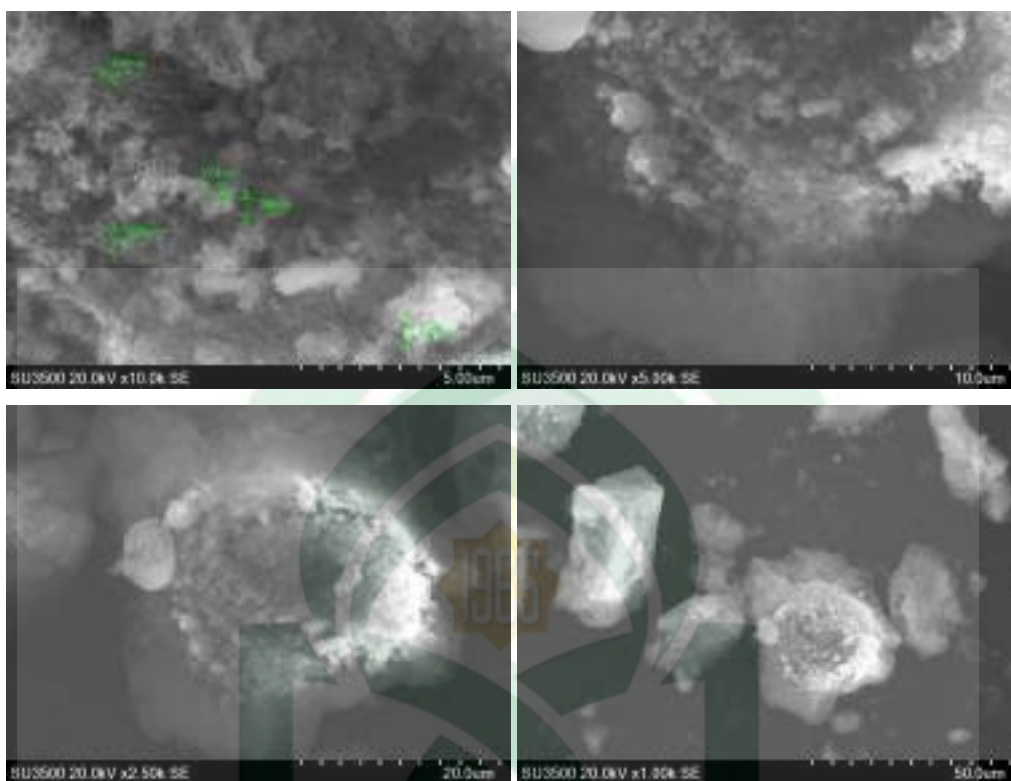
3. SEM LIBOB C



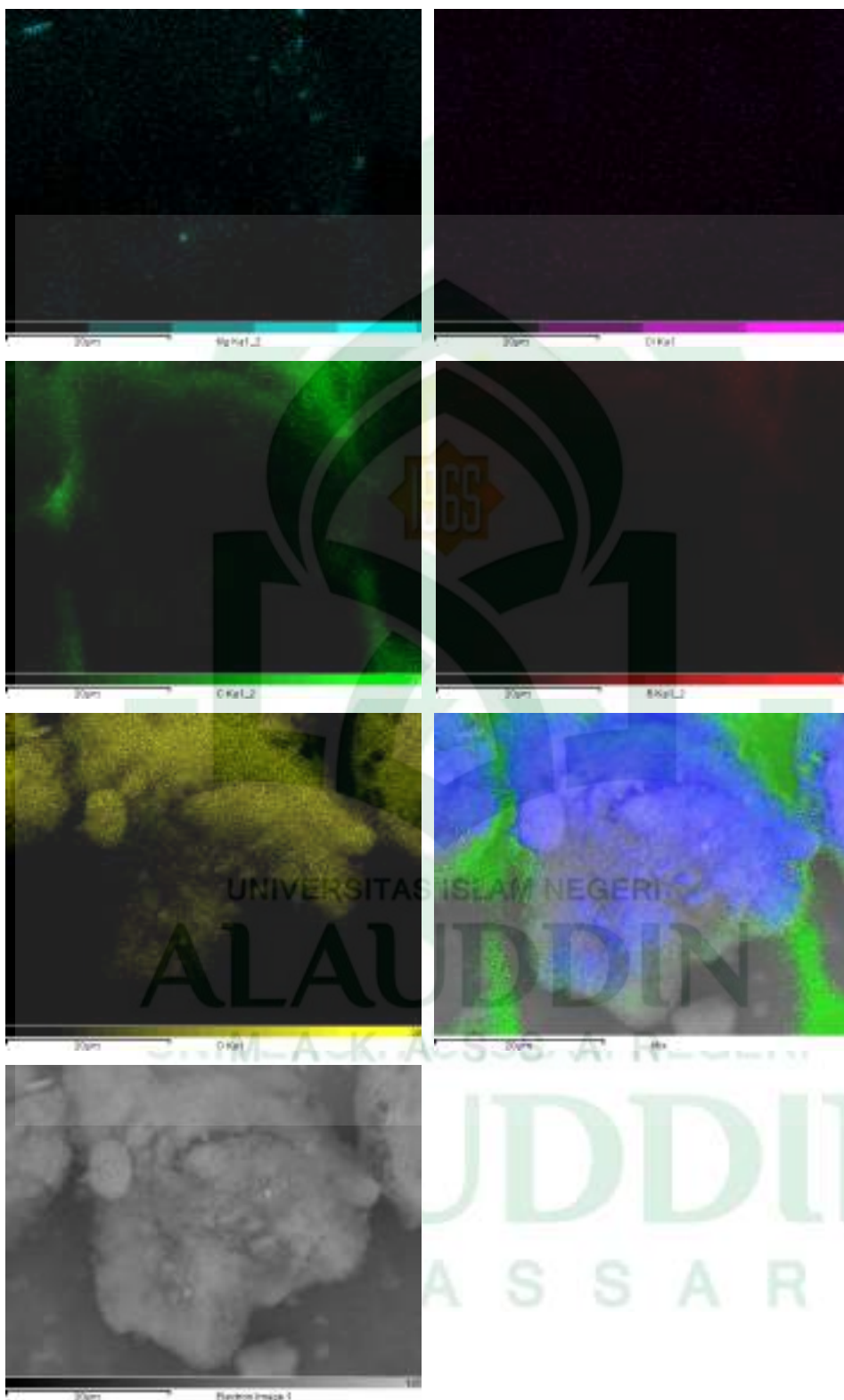
EDX LIBOB C



4. SEM LIBOB D



EDX LiBOB D





LAMPIRAN 5

**HASIL UJI
FOURIER TRANSFORM INFRARED
(FTIR)**

UNIVERSITAS ISLAM NEGERI

ALAUDDIN

UNIVERSITAS ISLAM NEGERI

ALAUDDIN

M A K A S S A R

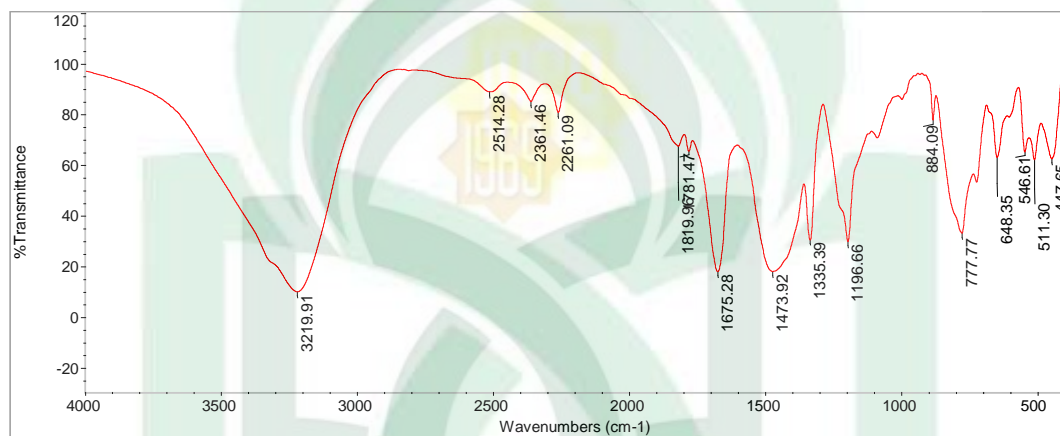
Hasil Uji FTIR

sampel A

Kondisi Pengukuran/Parameter Pengujian

Spektrum : Infra Red
 Rentang Pengukuran : 4000 – 400 cm^{-1}
 Absolute threshold : 93.649
 Sensitivitas : 50

Spektrum Hasil Pengujian



Rincian Puncak Karakterisasi

Position: 447.65	Intensity: 62.490
Position: 511.30	Intensity: 62.099
Position: 546.61	Intensity: 65.206
Position: 648.35	Intensity: 63.097
Position: 777.77	Intensity: 33.125
Position: 884.09	Intensity: 77.770
Position: 1196.66	Intensity: 29.938
Position: 1335.39	Intensity: 30.397
Position: 1473.92	Intensity: 18.015
Position: 1675.28	Intensity: 18.021
Position: 1781.47	Intensity: 65.431
Position: 1819.96	Intensity: 67.484
Position: 2261.09	Intensity: 80.796
Position: 2361.46	Intensity: 85.140
Position: 2514.28	Intensity: 88.957
Position: 3219.91	Intensity: 10.000

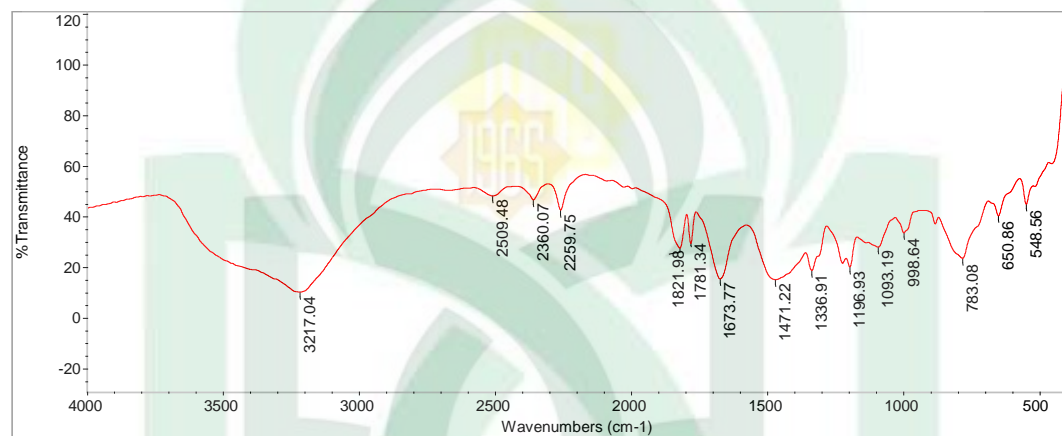
Hasil Uji FTIR

sampel B

Kondisi Pengukuran/Parameter Pengujian

Spektrum : Infra Red
 Rentang Pengukuran : 4000 – 400 cm^{-1}
 Absolute threshold : 54.969
 Sensitivitas : 50

Spektrum Hasil Pengujian



Rincian Puncak Karakterisasi

Position: 548.56	Intensity: 44.869
Position: 650.86	Intensity: 40.301
Position: 783.08	Intensity: 23.506
Position: 998.64	Intensity: 33.523
Position: 1093.19	Intensity: 27.864
Position: 1196.93	Intensity: 20.068
Position: 1336.91	Intensity: 18.686
Position: 1471.22	Intensity: 15.060
Position: 1673.77	Intensity: 15.372
Position: 1781.34	Intensity: 29.284
Position: 1821.98	Intensity: 27.457
Position: 2259.75	Intensity: 42.511
Position: 2360.07	Intensity: 46.531
Position: 2509.48	Intensity: 48.098
Position: 3217.04	Intensity: 10.065

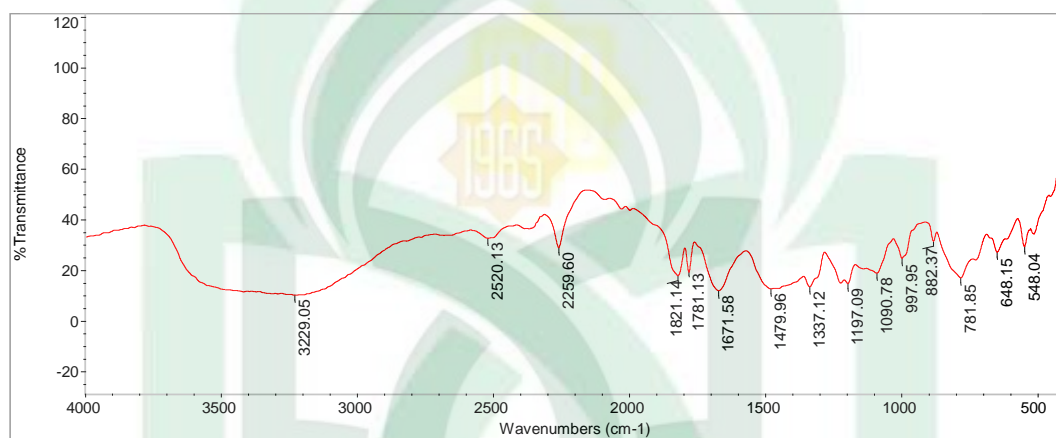
Hasil Uji FTIR

sampel C

Kondisi Pengukuran/Parameter Pengujian

Spektrum : Infra Red
 Rentang Pengukuran : 4000 – 400 cm^{-1}
 Absolute threshold : 55.004
 Sensitivitas : 50

Spektrum Hasil Pengujian



Rincian Puncak Karakterisasi

Position:	548.04	Intensity:	29.250
Position:	648.15	Intensity:	27.095
Position:	781.85	Intensity:	16.898
Position:	882.37	Intensity:	31.398
Position:	997.95	Intensity:	24.665
Position:	1090.78	Intensity:	18.731
Position:	1197.09	Intensity:	14.659
Position:	1337.12	Intensity:	13.423
Position:	1479.96	Intensity:	12.573
Position:	1671.58	Intensity:	11.871
Position:	1781.13	Intensity:	19.250
Position:	1821.14	Intensity:	17.801
Position:	2259.60	Intensity:	28.913
Position:	2520.13	Intensity:	32.547
Position:	3229.05	Intensity:	10.007

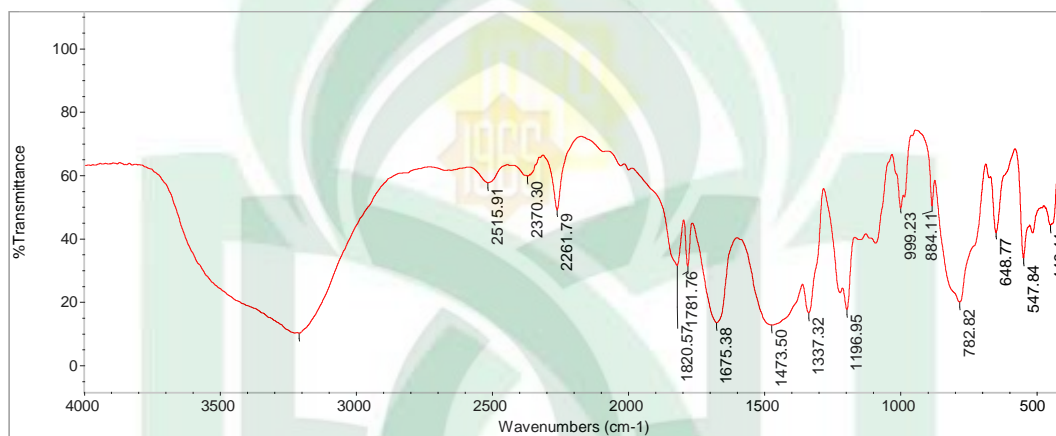
Hasil Uji FTIR

sampel D

Kondisi Pengukuran/Parameter Pengujian

Spektrum : Infra Red
 Rentang Pengukuran : 4000 – 400 cm^{-1}
 Absolute threshold : 90.083
 Sensitivitas : 50

Spektrum Hasil Pengujian



Rincian Puncak Karakterisasi

Position:	449.11	Intensity:	44.260
Position:	547.84	Intensity:	33.835
Position:	648.77	Intensity:	41.881
Position:	782.82	Intensity:	19.942
Position:	884.11	Intensity:	50.272
Position:	999.23	Intensity:	49.554
Position:	1196.95	Intensity:	17.561
Position:	1337.32	Intensity:	16.519
Position:	1473.50	Intensity:	12.615
Position:	1675.38	Intensity:	13.424
Position:	1781.76	Intensity:	31.227
Position:	1820.57	Intensity:	31.445
Position:	2261.79	Intensity:	48.979
Position:	2370.30	Intensity:	59.729
Position:	2515.91	Intensity:	57.585
Position:	3209.26	Intensity:	10.058

SURAT PERSETUJUAN SEMINAR HASIL

Kepada
Yth. Ketua Jurusan Fisika
Fakultas Sains dan Teknologi
UIN Alauddin Makassar

Assalamualaikum wr. Wb.

Setelah membaca, meneliti, memberikan petunjuk dan mengoreksi serta mengadakan perbaikan seperlunya, maka kami selaku pembimbing berpendapat bahwa proposal skripsi saudara :

Nama : Arwin Darwis
NIM : 60400114016
Judul Proposal : Pembuatan dan Karakterisasi Komposit LiBOB/MgCl₂ dengan Metode *Solid State Reaction*


Sudah dapat diajukan kepada Jurusan Fisika Fak. Sains dan Teknologi untuk diseminarkan. Atas perhatiannya, kami ucapkan terima kasih.

Gowa, November 2018

Dosen Pembimbing I


Iswadi, S.Pd., M.Sc.
NIP. 19830310 200604 1 002

Dosen Pembimbing II


Sahara, S.Sc., M.Sc., Ph.D
NIP. 19810921 200604 2 003

UNIVERSITAS ISLAM NEGERI
ALAUDDIN
MAKASSAR

KEPUTUSAN DEKAN FAKULTAS SAINS & TEKNOLOGI
UIN ALAUDDIN MAKASSAR
NOMOR : 3223 TAHUN 2018

TENTANG

PANITIA UJIAN KUALIFIKASI HASIL PENELITIAN DALAM PENYUSUNAN SKRIPSI MAHASISWA
SAINS & TEKNOLOGI UIN ALAUDDIN MAKASSAR

DEKAN FAKULTAS SAINS & TEKNOLOGI UIN ALAUDDIN MAKASSAR

Membaca : Surat Permohonan ARWIN DARWIS, NIM 60400114016, tertanggal 08 November 2018, untuk melaksanakan seminar Hasil.

Menimbang : Bahwa untuk pelaksanaan dan kelancaran seminar draft/hasil, perlu dibentuk panitia seminar Hasil dan penyusunan skripsi

Mengingat : 1. Undang-Undang No. 20 Tahun 2003 tentang Sistem Pendidikan Nasional;
2. Undang-Undang Nomor 17 Tahun 2003 tentang Keuangan Negara;
3. Undang-Undang Nomor 12 Tahun 2012 tentang Pendidikan Tinggi;
4. Peraturan Menteri Agama RI No.1 Tahun 2012 tentang Perubahan ketiga atas Peraturan Menteri Agama Nomor 2 Tahun 2006 tentang Mekanisme Pelaksanaan Pembayaran atas Beban Anggaran Pendapatan dan Belanja Negara di Lingkungan Kementerian Agama;
5. Peraturan Menteri Agama RI Nomor 3 Tahun 2018 tentang Organisasi dan Tata Kerja UIN Alauddin Makassar;
6. Peraturan Menteri Agama RI, Nomor 20 Tahun 2014 dan Peraturan Menteri Agama Nomor 8 Tahun 2016 tentang Statuta UIN Alauddin Makassar;
7. Keputusan Menteri Agama Nomor 289 Tahun 1993 dan Nomor 202 B Tahun 1998 tentang Pemberian Kuasa dan Pendelegasian Wewenang Menandatangani Surat Keputusan;
8. Keputusan Menteri Keuangan No.330/05/2008 tentang penetapan UIN Alauddin Makassar pada Dep.Agama sebagai Instansi Pemerintah yang Menerapkan Pengelolaan Badan Layanan Umum (BLU);
9. Keputusan Rektor UIN Alauddin No.200 tahun 2016 tentang Pedoman Edukasi UIN Alauddin Makassar;

MEMUTUSKAN

Menetapkan Pertama : Membentuk Dewan Penguji Seminar Hasil, Jurusan Fisika Fakultas Sains dan Teknologi UIN Alauddin Makassar dengan komposisi :

Ketua : Ihsan, S.Pd., M.Si.
Sekretaris : Hernawati, S.Pd., M.Pfils.
Pembimbing 1 : Iswadi, S.Pd., M.Si.
Pembimbing 2 : Sahara, S.Si., M.Sc., Ph.D.
Penguji 1 : Muh.Said L, S.Si., M.Pd.
Penguji 2 : Dr.H.Muh.Sadik Sabry, M.Ag.
Pelaksana : Arlestya Susanti, S.Km.

Kedua : 1. Panitia bertugas melaksanakan seminar draft/hasil, memberi bimbingan, petunjuk-petunjuk, perbaikan mengenai materi, metode, bahasa dan kemampuan menguasai masalah penyusunan skripsi
2. Biaya pelaksanaan seminar draft penelitian dibebankan kepada anggaran Fakultas Sains dan Teknologi UIN Alauddin Makassar
3. Apabila dikemudian hari ternyata terdapat kekeliruan dalam surat keputusan ini akan diubah dan diperbaiki sebagaimana mestinya

Surat Keputusan ini disampaikan kepada yang bersangkutan untuk diketahui dan dilaksanakan dengan penuh tanggungjawab.

Ditetapkan di : Makassar
Pada tanggal : 08 November 2018

Dekan



Prof. Dr. H. Arifuddin, M.Ag.
NIP. 19691205 19933 1 001



KEPUTUSAN DEKAN FAKULTAS SAINS & TEKNOLOGI
UIN ALAUDDIN MAKASSAR
NOMOR : 3265 TAHUN 2018
TENTANG

PANITIA UJIAN KOMPREHENSIF
JURUSAN FISIKA FAKULTAS SAINS DAN TEKNOLOGI
DEKAN FAKULTAS SAINS & TEKNOLOGI UIN ALAUDDIN MAKASSAR

- Membaca : Surat permohonan Ujian Komprehensif : ARWIN DARWIS, NIM: 60400114016
Menimbang : Bahwa untuk pelaksanaar. dan kelancaran ujian komprehensif perlu dibentuk panitia ujian
Mengingat : 1. Undang-Undang No. 20 Tahun 2003 tentang Sistem Pendidikan Nasional;
2. Undang-Undang Nomor 17 Tahun 2003 tentang Keuangan Negara;
3. Undang-Undang Nomor 12 Tahun 2012 tentang Pendidikan Tinggi;
4. Peraturan Menteri Agama RI No.1 Tahun 2012 tentang Perubahan ketiga atas Peraturan Menteri Agama Nomor 2 Tahun 2006 tentang Mekanisme Pelaksanaan Pembayaran atas Beban Anggaran Pendapatan dan Belanja Negara di Lingkungan Kementerian Agama;
5. Peraturan Menteri Agama RI Nomor 3 Tahun 2018 tentang Organisasi dan Tata Kerja UIN Alauddin Makassar;
6. Peraturan Menteri Agama RI. Nomor 20 Tahun 2014 jo Peraturan Menteri Agama Nomor 8 Tahun 2016 tentang Statuta UIN Alauddin Makassar;
7. Keputusan Menteri Agama Nomor: 269 Tahun 1993 jo Nomor: 202 B Tahun 1998 tentang Pemberian Kuasa dan Pendelegasian Wewenang Menandatangani Surat Keputusan;
8. Keputusan Menteri Keuangan No.330/05/2008 tentang penetapan UIN Alauddin Makassar pada Dep.Agama sebagai Instansi Pemerintah yang Menerapkan Pengelolaan Badan Layanan Umum (BLU);
9. Keputusan Rektor UIN Alauddin No.200 tahun 2016 tentang Pedoman Edukasi UIN Alauddin Makassar;

MEMUTUSKAN

- Menetapkan : 1. Membentuk Panitia Ujian Komprehensif, Jurusan Fisika Fakultas Sains dan Teknologi UIN Alauddin Makassar dengan komposisi:
- Ketua : Dr.Hj.Wasilah,S.T., M.T.
Sekertaris : Nurman Najib,S.Ag., M.M.
Penguji 1 : Dr.Muh.Sadik Sabry,M.Ag.
Penguji 2 : Iswadi, S.Pd.,M.Si.
Penguji 3 : Sahara, S.Si., M.Sc., Ph.D.
Pelaksana : Agusdin, S.Sos.
2. Panitia bertugas menyiapkan perlengkapan administrasi dan melaksanakan ujian
3. Biaya pelaksanaan ujian dibebankan kepada anggaran Fakultas Sains dan Teknonologi UIN Alauddin Makassar.
4. Tugas Panitia dianggap selesai setelah seluruh rangkaian kegiatan ujian berakhir.
5. Apabila dikemudian hari ternyata terdapat kekeliruan dalam surat keputusan ini akan diubah dan diperbaiki sebagaimana mestinya.

Surat keputusan ini disampaikan kepada yang bersangkutan untuk diketahui dan dilaksanakan dengan penuh rasa tanggung jawab.

Ditetapkan di : Makassar

Pada tanggal : 9-Nov-18



SURAT PERSETUJUAN SEMINAR MUNAQASYAH

Kepada

Yth. Ketua Jurusan Fisika
Fakultas Sains dan Teknologi
UIN Alauddin Makassar

Assalamualaikum wr. Wb.

Setelah membaca, meneliti, memberikan petunjuk dan mengoreksi serta mengadakan perbaikan seperlunya, maka kami selaku pembimbing berpendapat bahwa proposal skripsi saudara :


Nama : Arwin Darwis
NIM : 60400114016
Judul Proposal : Pembuatan dan Karakterisasi Komposit LiBOB/MgCl₂ dengan Metode *Solid State Reaction*


Sudah dapat diajukan kepada Jurusan Fisika Fak. Sains dan Teknologi untuk diseminarkan. Atas perhatiannya, kami ucapkan terima kasih.

Gowa, 14 November 2018

Dosen Pembimbing I

Dosen Pembimbing II


Iswadi, S.Pd., M.Si.
NIP. 19830310 200604 1 002


Sahara, S.Si., M.Sc., Ph.D
NIP. 19810927 200604 2 003

UNIVERSITAS ISLAM NEGERI
ALAUDDIN
MAKASSAR



ALAUDDIN

KEPUTUSAN DEKAN FAKULTAS SAINS & TEKNOLOGI
UIN ALAUDDIN MAKASSAR
NOMOR :3394 TAHUN 2018

TENTANG

PANITIA UJIAN MUNAQASYAH
JURUSAN FISIKA FAKULTAS SAINS & TEKNOLOGI

DEKAN FAKULTAS SAINS & TEKNOLOGI UIN ALAUDDIN MAKASSAR

Membaca : Surat permohonan : ARWIN DARWIS
NIM : 60400114016
Tanggal : 16 November 2018
Mahasiswa Jurusan : FISIKA

Menimbang : Untuk Ujian Skripsi/ Munaqasyah yang berjudul " Pembuatan dan Karakterisasi Komposit LIBOS/ MgCl2 dengan Metode Solid State Reaction"

1. Bahwa saudara tersebut diatas telah memenuhi persyaratan Ujian Skripsi/ Munaqasyah
2. Bahwa untuk pelaksanaan dan kelancaran ujian/ Munaqasyah perlu dibentuk panitia ujian.

Mengingat : 1. Undang-Undang No. 20 Tahun 2003 tentang Sistem Pendidikan Nasional;
2. Undang-Undang Nomor 17 Tahun 2003 tentang Keuangan Negara;
3. Undang-Undang Nomor 12 Tahun 2012 tentang Pendidikan Tinggi;
4. Peraturan Menteri Agama RI No.1 Tahun 2012 tentang Perubahan ketiga atas Peraturan Menteri Agama Nomor 2 Tahun 2006 tentang Mekanisme Pelaksanaan Pembayaran atas Beban Anggaran Pendapatan dan Belanja Negara di Lingkungan Kementerian Agama;
5. Peraturan Menteri Agama RI Nomor 3 Tahun 2018 tentang Organisasi dan Tata Kerja UIN Alauddin Makassar;
6. Peraturan Menteri Agama RI, Nomor 20 Tahun 2014 jo Peraturan Menteri Agama Nomor 8 Tahun 2016 tentang Statuta UIN Alauddin Makassar;
7. Keputusan Menteri Agama Nomor 289 Tahun 1993 jo Nomor 202 B Tahun 1998 tentang Pemberian Kuasa dan Pendelegasian Wewenang Menandatangani Surat Keputusan
8. Keputusan Menteri Keuangan No.330/05/2008 tentang penetapan UIN Alauddin Makassar pada Dep.Agama sebagai instansi Pemerintah yang Menerapkan Pengelolaan Badan Layanan Umum (BLU)
9. Keputusan Rektor UIN Alauddin No.200 tahun 2016 tentang Pedoman Edukasi UIN Alauddin Makassar

MEMUTUSKAN

Menetapkan : 1. Membentuk Dewan Penguji Skripsi/ Munaqasyah Fakultas Sains dan Teknologi UIN Alauddin Makassar dengan komposisi:

Ketua : Dr.Wasilah, S.T., M.T.
Sekertaris : Ihsan, S.Pd., M.Si.
Pembimbing 1 : Iswadi, S.Pd., M.Si.
Pembimbing 2 : Sahara, S.Si., M.Sc., Ph.D.
Penguj 1 : Muh.Said L, S.Si., M.Pd.
Penguj 2 : Dr.H.Muh.Sadik Sabry, M.Ag.
Pelaksana : Rara

2. Panitia bertugas melaksanakan ujian Skripsi/Munaqasyah bagi saudara yang namanya tersebut diatas.
3. Biaya pelaksanaan ujian dibebankan kepada anggaran Fakultas Sains & Teknologi UIN Alauddin Makassar.
4. Apabila dikemudian hari ternyata terdapat kekeliruan dalam surat keputusan ini akan diubah dan diperbaiki sebagaimana na mestinya.

Keputusan ini disampaikan kepada yang bersangkutan untuk diketahui dan dilaksanakan dengan penuh rasa tanggung jawab

Ditetapkan di Makassar
pada tanggal, 16 November 2018
Dekan



Prof. Dr. h. Arifuddin, M. Ag.
NIP. 19691205 199303 1 001